

2ex

ECOLE NATIONALE POLYTECHNIQUE

DEPARTEMENT: GENIE CIVIL



PROJET DE FIN D'ETUDES

S U J E T

**PONT A POUTRES
MULTIPLES EN BETON
PRECONTRAIT**

6 PLANCHES

Proposé par :
S.F.R.O.A

Etudié par :
D.BELHADJI
A.DJELLOULI

Dirigé par :
M. BRANCI

PROMOTION : juin 86

REMERCIEMENTS

المدرسة الوطنية المتعددة التخصصات
المكتبة — BIBLIOTHEQUE
Ecole Nationale Polytechnique

Nous attendions depuis longtemps et avec impatience cette occasion solennelle d'exprimer avec une pensée émue notre profonde gratitude envers tous ceux qui nous ont guidés jusqu'ici.

Recevez, M^{rs} BRANCI, l'expression de notre vive reconnaissance pour nous avoir guidé et conseillé tout au long de ce présent travail.

Nous remercions, M^{rs} BENKRADIDJA ABDELKRIM pour son aide précieuse.

M^{rs} HENNION, HADJ-TAHAR ainsi que vous tous les responsables de la S.E.R.O.A. Veuillez recevoir nos sincères remerciements.

DEDICACES

المدرسة الوطنية المتعددة التقنيات
BIBLIOTHEQUE — المكتبة
Ecole Nationale Polytechnique

Je dédie ce modeste travail :

A ma mère

A mon père

A mes Soeurs et Frères particulièrement à mon petit Frère Redouane

A tous mes amis

Djamel

Je dédie ce modeste travail :

A ma mère

A mon père

A mes Frères et Soeurs

A ma tante Leïla

A ma famille

A mes amis (ES) particulièrement Djamel

Ali

SOMMAIRE.

A) Introduction

- I/ Présentation de l'ouvrage
- II/ Caractéristiques des matériaux

B) Etude du tablier

- I/ caractéristiques géométriques des sections
- II/ Effort dans les poutres
- III/ Distribution des efforts dans les poutres
- IV/ Etude du patelage
- V/ Etude de la précontrainte des poutres
- VI Pentes et chutes de tension
- VII Vérification des contraintes
- VIII Vérification à la rupture
- IX Vérification d'about

C) Etude de l'infrastructure

- I/ Dimensionnement des appareils d'appui
- II/ Répartition des efforts horizontaux
- III/ vérification des appareils d'appui
- IV Etude de la pile
- V Etude de la culée
- VI Fondation

PRESENTATION

caractéristiques et utilité du pont

L'ouvrage d'art, objet de notre projet de fin d'étude est un pont biais à poutres droites multiples en béton précontraint. Il sera construit sur la rocade est d'Alger (Zone II suivant RPA 81), ce pont traversera l'autoroute.

La largeur totale du tablier est de 13,75 m. La longueur du pont d'axe en axe de culées est de 120 m.

Structure du pont:

L'étude de l'avant-projet a donné les caractéristiques suivantes:

Le tablier:

Le tablier est constitué par:

Le patelage: Formé par un hourdis de 20 cm recouvert d'une chape d'étanchéité de 2 cm et d'un revêtement d'asphalte encobé de 8 cm d'épaisseur.

Le hourdis présente un ripage transversal de 5%

La poutraison: supporte le patelage, est composée de 9 poutres principales en béton précontraint. L'entreaxe des poutres est de 1,45 m.

Les appuis:

Ainsi sont désignées les piles et les culées dont suit une description.

La culée: Élément essentiel dont le mur frontal et les murs en retour sont des voiles en béton armé sur une semelle de fondation rectangulaire. Cette dernière est fondée sur 2 files de 4 pieux.

Les piles: Appuis intermédiaires entre les deux culées, comportant un chevet en béton armé supporté par 1 fût rectangulaire sur une semelle fondée sur 2 files de 4 pieux.

Les appareils d'appui: plaques en élastomère frettées du type GUMBA, fixées sur des dés en béton armé (bossages prismatiques).

Les fondations:

Les services du laboratoire de mécanique des sols (L.T.P.O) ont suggéré des fondations profondes du type "pieux forés" de 1,20 m de diamètre.

CARACTERISTIQUES DES MATERIAUX

1.1 Béton : Le béton utilisé dans la construction de l'ouvrage sera conforme aux règles CC BA 68

- Ciment C p A 395
- Dosage du béton 400 kg/m³
- Contrôle strict
- Diamètre des plus gros granulats $c_g = 25 \text{ mm}$



Contraintes admissible de compression :

D'après l'article 94 du CC BA 68

$$\bar{\sigma}_b = \alpha \beta \gamma \delta \varepsilon \sigma'_{28} \quad \text{avec} \quad \sigma'_{28} = 300 \text{ bars}$$

α = coefficient qui dépend de la classe du ciment ($\alpha=1$ ciment de classe 250/325)

β = coefficient qui tient compte de la nature du contrôle ($\beta=1$ contrôle strict)

γ = coefficient dépendant de l'épaisseur relative des éléments et des dimensions des granulats ($\gamma = 1, \frac{h_m}{4c_g} > 1$; h_m épaisseur de la pièce)

δ = dépend du type de sollicitations

$$\delta = \begin{cases} 0,3 & \text{en compression simple} \\ 0,6 & \text{en flexion simple} \end{cases}$$

ε = dépend de la forme de la section et de la nature de la sollicitation

$$\varepsilon = \begin{cases} 1 & \text{en flexion simple pour les sections rectangulaires} \\ 1 & \text{en compression simple} \end{cases}$$

pour les autres cas : $0,5 \leq \varepsilon \leq 1$

Nous avons donc :

- En compression simple : $\bar{\sigma}_{bn} = 1 \times 1 \times 1 \times 0,3 \times 1 \times 300 = 90 \text{ bars}$

- En flexion simple : $\bar{\sigma}_b = 1 \times 1 \times 1 \times 0,6 \times 1 \times 300 = 180 \text{ bars}$

Contrainte de référence en traction

$$\bar{\sigma}_s = \alpha \beta \gamma \theta \sigma'_{28} \quad \text{avec} \quad \theta = 0,018 + \frac{2,1}{\sigma'_{28}} = 0,0255, \quad \bar{\sigma}_b = 7,5 \text{ bars}$$

1.2 Aciers :

Contraintes de traction admissible : $\bar{\sigma}_a = \rho_a \sigma_{en}$

σ_{en} : Contrainte d'élasticité nominale

ρ_a : $\frac{2}{3}$ pour les sollicitations du 1^{er} genre

Aciers utilisés : FeE40 HA

Tableau récapitulatif des contraintes de l'acier

Diamètre		$\phi \leq 20 \text{ mm}$	$\phi > 20 \text{ mm}$
σ_{en}	[kg/cm ²]	4200	4000
	[bars]	4120	3920
σ_a	[kg/cm ²]	2800	2667
	[bars]	2746	2613

contrainte de traction imposée par la condition de fissuration :

Dans le cas où la fissuration sera nuisible à la sécurité de l'ouvrage, les contraintes admissibles dans l'acier seront limitées et la contrainte dans les aciers sera limitée par la plus grande des 2 valeurs suivantes :

$$\sigma_1 = \frac{k \cdot \sigma}{1 + 10 \omega \rho} \quad , \quad \sigma_2 = 2,4 \sqrt{k \frac{\rho}{\sigma} \bar{\sigma}_b}$$

ϕ = diamètre nominal de la plus grosse des barres tendues [en mm]

k = coefficient dépendant de l'importance de la fissuration

$\bar{\sigma}_b$ = contrainte de référence du béton en traction en bars

ρ = coefficient de fissuration, $\rho = 1,6$ pour les aciers HA

$\omega \rho = \frac{A}{B_f}$ pourcentage de fissuration ; A = section totale des barres tendues
 B_f = section d'encubage de ces barres

Contrainte admissible de traction pour les armatures d'âme :

Pour utiliser les armatures d'âmes droites il faut que satisfaisent à la condition suivante :

$$\begin{cases} \sigma_b \leq 0,5 \bar{\sigma}_b & \text{si } \sigma'_b \leq \bar{\sigma}'_b \\ \sigma_b \leq \left(4,5 - \frac{\sigma'_b}{\bar{\sigma}'_b}\right) \cdot \bar{\sigma}_b & \text{si } \bar{\sigma}'_b < \sigma'_b < 2 \bar{\sigma}'_b \end{cases}$$

Une fois ces exigences satisfaites on aura :

$$\bar{\sigma}_{at} = \rho_{at} \sigma_{en} \quad \text{avec} \quad \rho_{at} = \begin{cases} \max \left\{ \left(1 - \frac{\sigma_b}{0,5 \bar{\sigma}_b}\right) ; \frac{2}{3} \right\} & \text{s'il n'y a pas de reprise de} \\ \frac{2}{3} & \text{bétonnage} \\ \text{sinon} \end{cases}$$

Contrainte d'adhérence admissible :

$$\bar{\sigma}_{ad} = \begin{cases} 2 \psi_d \bar{\sigma}_b & \text{pour les poutres} \\ 2,5 \psi_d \bar{\sigma}_b & \text{pour des dalles et hourdis} \end{cases}$$

où ψ_d = coefficient de scellement droit ($\psi = 1,5$ pour les H.A) et la contrainte admissible d'adhérence pour les ancrages :

$$\bar{\sigma}_{ad} = 1,25 \psi^2 \bar{\sigma}_b$$

Principe :

Le béton est un matériau qui possède une forte résistance à la compression et faible à la traction, c'est pour cela qu'on y remédie en mettant des aciers dans la partie tendue le béton existant dans cette partie ne sert qu'à enrober les aciers donc son premier inconvénient, c'est son poids qui n'est pas négligeable, la formation de fissures dans cette zone est inévitable et ce qui présente un préjudice à l'ouvrage surtout pour ceux ayant une partie appréciable.

Pour pallier à ces inconvénients, les ingénieurs ont élaborés une technique permettant d'utiliser à plein la résistance du béton en le comprimant à l'avance par le jeu de forces internes, de façon telle que la variation de contrainte qui faisait naître des tractions ne provoque qu'une décompression du matériau, et ce qui permet de construire des ouvrages d'assez grandes portées et tout en évitant au maximum la fissuration et aussi allège les constructions donc en liant la sécurité à l'économie.

Leur réalisation demande une main d'œuvre qualifiée et des matériaux d'assez bonne qualité.

Précontrainte par post-tension :

le principe de la précontrainte par post-tension est d'étendre les armatures en prenant appui sur la pièce à précontraindre. Pendant sa mise en tension, l'armature s'allonge tandis que le béton, comprimé, présente un léger raccourcissement; pour permettre le mouvement relatif, il est nécessaire de ménager dans le béton des conduites, généralement formés par des gaines métalliques de sections circulaires, disposées et réglées dans les coffrages avant bétonnage.

Béton utilisé en béton précontraint :

- résistance nominale - Compression : $\sigma'_n = \sigma'_{28} = 400 \text{ kg/cm}^2$
 - Traction : $\sigma_n = \sigma_{28} = 7 + 0,06 \sigma'_{28} = 31 \text{ kg/cm}^2$

les dispositions de l'IP 1 concernant les contraintes sont :

- Compression : $\bar{\sigma}' = \begin{cases} 0,42 \sigma'_n = 168 \text{ kg/cm}^2 & \text{en service} \\ 0,55 \sigma'_n = 220 \text{ kg/cm}^2 & \text{en construction} \end{cases}$
 - Traction

Module de déformation :

- Sous charge de courte durée : $E_i = 21000 \sqrt{\sigma'_n} = 420000 \text{ kg/cm}^2$
 - Sous charge de longue durée : $E_v = \frac{1}{3} E_i = 140000 \text{ kg/cm}^2$

Armatures :

les câbles utilisés sont du type 7T15 III TBR DYWIDAG, l'ancrage est du type actif actif

les caractéristiques des câbles utilisés sont données ci-après

module d'élasticité	$E_a = 2.10^6 \text{ kg/cm}^2$
Contrainte de rupture garantie	$R_g = 18500 \text{ kg/cm}^2$
Contrainte caractéristique de déformation garantie	$T_g = 14800 \text{ kg/cm}^2$
Section utile d'un câble	$\omega = 9,73 \text{ cm}^2$
Diamètre intérieur de la gaine	$\phi_i = 6,0 \text{ cm}$
Diamètre extérieur de la gaine	$\phi_e = 6,6 \text{ cm}$
Coefficient de frottement câble-gaine	$\mu = 0,0017$
Perte de tension relative par mètre	$f = 0,23$
Perte par blocage d'ancrage	$g = 9 \text{ mm}$
Rayon de courbure minimum du câble	$R_{\min} = 500 \text{ cm}$
Relaxation à 1000 heures	$f_{1000} = 0,03$
Relaxation à 3000 heures	$f_{3000} = 0,035$

CARACTERISTIQUES GEOMETRIQUES DES SECTIONS

Dimensionnement des poutres

Les conditions de dimensionnement à respecter pour la hauteur et l'épaisseur des poutres en béton précontraint ayant une portée dépassant vingt mètres sont les suivantes :

$$\frac{L}{20} - 0,2 \leq h_t \leq \frac{L}{20} + 0,5 \quad [m]$$

Dans notre cas $L = 32 \text{ m} \Rightarrow 1,4 \text{ m} \leq h_t \leq 2,1 \text{ m}$

Epaisseur de l'âme :

$$e \geq \frac{h_t}{10} + 9 \quad [cm]$$

Les moules métalliques existant au sein de la société et servant à la réalisation de ces poutres sont en harmonie avec les conditions sous-citées.

Pour cela les dimensions des moules métalliques sont :

hauteur totale : $h_t = 1,50 \text{ m}$

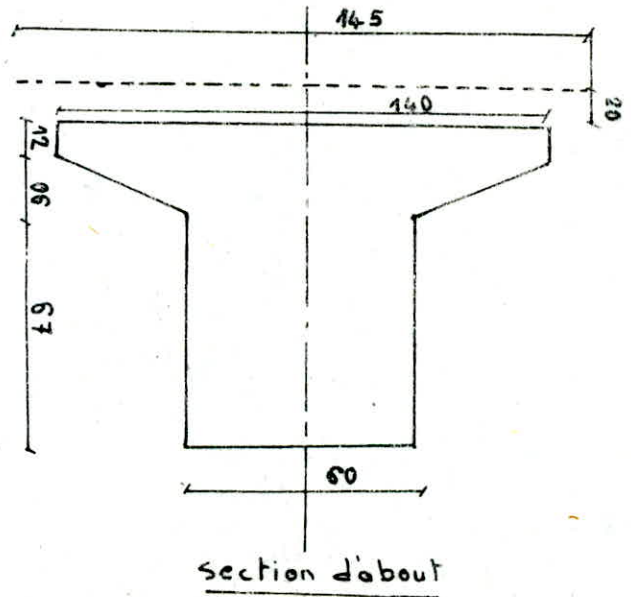
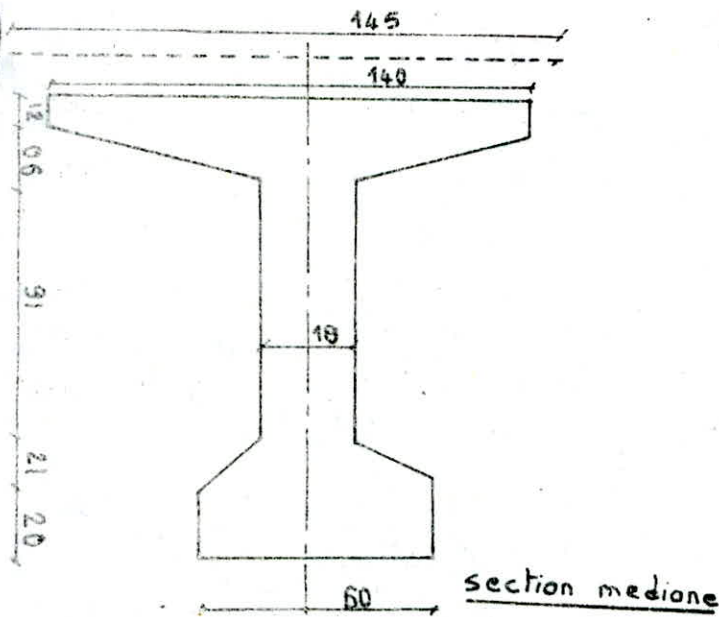
largeur de la table : $b = 1,40 \text{ m}$

Epaisseur de l'âme :

en travée : $e = 18 \text{ cm}$

à l'about : $e = 60 \text{ cm}$

largeur du talon : $b' = 60 \text{ cm}$



Caractéristiques des sections

On suppose l'axe (D) passant par la fibre inférieure de la section considérée, et en appliquant les relations classiques des moments d'inertie et de moment statique on aura :

Poutre seule		
Section	Médiane	About
B (cm ²)	5811	6930
S _Δ (cm ³)	483399	358392
I _Δ (cm ⁴)	57839605,5	23282630
V _s (cm)	66,82	33,3
V _i (cm)	83,18	51,7
I _G (cm ⁴)	17630476,68	11353916,9
i ² (cm ²)	3033,98	1638,37

poutre + dalle		
Section	Médiane	About
B (cm ²)	8711	9830
S _Δ (cm ³)	947399	662892
I _Δ (cm ⁴)	132176272,2	55351796,7
V _s (cm)	61,24	37,56
E _G (cm ⁴)	29137156,9	10646360,2
V _i (cm)	108,76	67,44
i ² (cm ²)	3344,87	1083

Les deux tableaux ainsi que l'ont été calculés en ayant subdivisé chaque section (sans et avec dalle) en section géométriques simples (rectangle et triangle) et pour chacune d'elles on applique les relations suivantes et on fait la somme :

Pour un rectangle dont la largeur b coïncide avec l'axe (Δ) on a :

$$I_{\Delta} = \frac{bh^3}{3} \quad S_{\Delta} = \frac{bh^2}{2} \quad \text{d'où } I_{\Delta} = S_{\Delta} \times Z' \quad \text{avec } Z' = \frac{2}{3}h$$

Pour les autres rectangles on applique le théorème suivant :

$$I_{\Delta} = I_0 + B_0 \times Z^2 \quad \text{avec } I_0 = \text{moment d'inertie / c.d.g du triangle ou rectangle}$$

$B_0 = \text{aire de la section considérée}$

$Z = \text{Distance entre le c.d.g de la section considérée}$

Position du centre de gravité à l'axe (Δ)

$$V_i = \frac{S_{\Delta}}{B} \quad V_s = ht - V_i$$

$$I_G = I_{\Delta} - S_{\Delta} V_i \quad i^2 = \frac{I_G}{B}$$

Les caractéristiques des sections sont déduites de ceux des sections brutes en considérant que les trous des armatures ne participent pas à la résistance, le mortier injecté à l'intérieur ne participe pas à la résistance. Ces caractéristiques sont calculées quand le nombre de rebte sera connu.

CALCUL DES EFFORTS

On étudie une seule travée (travée intermédiaire) dont la portée est $L = 31,96 \text{ m}$

1/ Calcul des efforts1.1 Sous charges permanentes G

Poutre : $g [15 \times 0,581 + 2 (2 \times 1,083 + \frac{0,58 + 1,083}{2} \times 1)] = 360 \text{ t}$

Dalle : $13,75 \times 0,2 \times 31,96 = 238,976$

Trottoir + corniche : $[2 \times 0,12 \times 0,2 + 0,85 \times 0,06] \times 2,5 \times 31,96 + 1 = 9,6 \text{ t}$

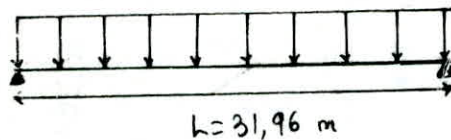
Revêtement : $0,06 \times 13,75 \times 2,2 \times 31,96 = 63,089 \text{ t}$

Eplanche et béton de protection : $0,04 \times 10,25 \times 2,2 \times 31,96 = 7,84 \text{ t}$

garde-corps : $0,1 \times 31,96 = 3,196 \text{ t}$

$$G = 360 + 238,976 + 9,6 + 63,089 + 7,84 + 3,196 = 714,33 \text{ t}$$

$$q = \frac{G}{L} = \frac{714}{31,96} = 20,55 \text{ t/m}$$

Schéma Statique

$$q = 20,55 \text{ t/m}$$

A une distance x : $M_0(x) = q \frac{x}{2} (L - x)$

$$T(x) = q \left(\frac{L}{2} - x \right)$$

Section	0	$\frac{L}{8}$	$\frac{L}{4}$	$\frac{3L}{4}$	"S"	$\frac{L}{2}$
M_0 [T.m]	0	1147,9	1967,87	2459,83	2610,82	2623,83
T [T]	328,39	249,29	164,19	82,09	23,12	0

1.2 Sous surcharge A(l)

Caractéristiques du pont :

- Largeur routable $l_r = l_s = 10,25 \text{ m}$

- Nombre de voies $N = E \left(\frac{l_r}{3} \right) = 3 \text{ voies}$

- Largeur de la voie $l_v = \frac{l_r}{3} = 3,42 \text{ m}$

- Classe du pont : $l_r > 7 \text{ m} \Rightarrow$ Pont de 1^{ère} classe conformément au C.P.C du Ministère des travaux publics (Fascicule 61 titre II)

$A(l)$ est donné par :

$$A(l) = 230 + \frac{36000}{L+12}$$

$A(l)$ exprimé en kg/m^2

L : Donnée par l' L.I

$$L = 31,96 \text{ m} \Rightarrow A(l) = 936,3 \text{ kg/m}^2$$

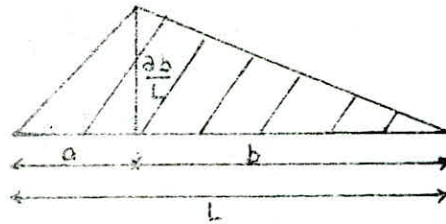
$$A = K \cdot A(l) \cdot \frac{l_0}{l_v}$$

avec K : dépend du nombre de voies chargées et de la classe du pont

moment fléchissant :

$$q = n \cdot A \cdot l_v$$

n : nombre de voies chargées

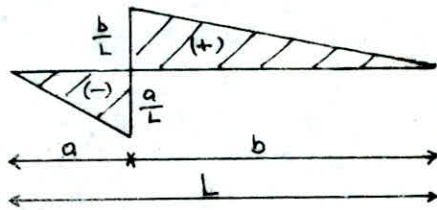


$$S = \frac{ab}{2}$$

$$M = q \cdot s$$

Effort tranchant

La ligne d'influence de l'effort tranchant pour une section distante de "a" de l'appui gauche.



$$S_{max} = \frac{b^2}{2L}$$

$$T = q \cdot s = q \cdot \frac{b^2}{2L}$$

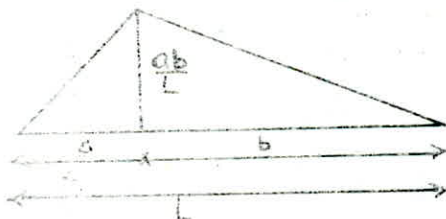
Section		0	$\frac{L}{8}$	$\frac{L}{4}$	$\frac{3L}{8}$	"S"	$\frac{L}{2}$
M (t.m)	2 voies	0	366,11	627,63	784,53	832,68	836,83
	3 voies	0	549,17	941,43	1176,79	1249,62	1255,24
T (t)	2 voies	104,73	80,19	59,92	40,91	30,00	26,18
	3 voies	157,10	120,28	28,36	61,37	45,00	39,25

1-3 Sous surcharges du trottoir

Charge uniformément répartie $0,15 \text{ t/m}^2$

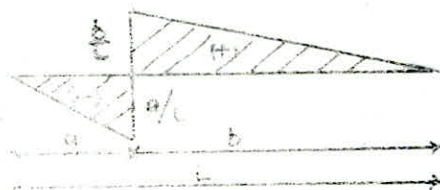
1 trottoir chargé $q = 0,15 \cdot 2l = 0,15 \times 1,75 = 0,263 \text{ t/ml}$

2 trottoirs chargés $q = 0,15 \cdot 2 \cdot 2l = 0,15 \times 2 \times 1,75 = 0,525 \text{ t/ml}$



$$S = \frac{a \cdot b}{2}$$

$$M = q \cdot s = q \cdot \frac{a \cdot b}{2}$$



$$S = \frac{b^2}{2L}$$

$$T = q \cdot s$$

Section		0	$\frac{L}{8}$	$\frac{L}{4}$	$\frac{3L}{8}$	"S"	$\frac{L}{2}$
M (t.m)	1 trottoir	0	14,68	25,18	31,48	33,41	33,58
	2 trottoir	0	29,38	50,37	62,96	66,83	67,16
T (t)	1 trottoir	4,2	3,22	2,36	1,64	1,2	1,05
	2 trottoir	8,4	6,43	4,73	3,28	2,41	2,10

2.4. Sous surcharge B_c :

Calcul du coefficient de majoration dynamique "δ"

$$S = 1 + \frac{0,14}{1 + 0,2L} + \frac{0,16}{1 + 4\frac{P}{S}}$$

$$L = 31,96 \text{ m}$$

P: poids total du tablier

S: Surcharge maximale

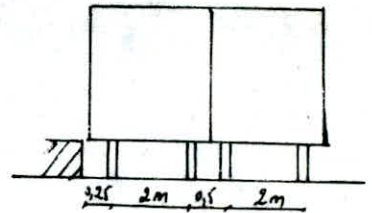
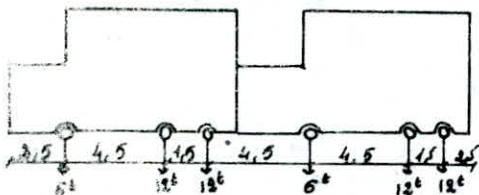
Pour 2 convois:

$$b_c = 1,1 \Rightarrow S = 1,119$$

Pour 3 convois

$$b_c = 0,95 \Rightarrow S = 1,09$$

On dispose dans le sens transversal autant de convois qu'il ya de voies de circulation; dans le sens longitudinal, le nombre de camions à disposer est limité à deux.



La charge P_k qui provoque le moment maximum répond à:

$$\sum_{k=1}^{K-1} P_k \leq R/2 \leq \sum_{k=1}^K P_k \quad \text{où } R \text{ est la résultante de charges}$$

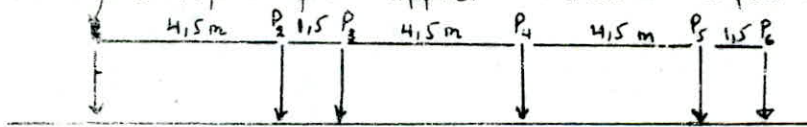
$$R = \sum_{i=1}^K P_i$$

Détermination de la position de "S"

Pour cela considérons une file de rue de convoi B_c sur notre travée

Théorème de Barré:

Énoncé du théorème: le moment fléchissant dû aux charges mobiles sera maximum où about d'une charge P_i lorsque cette charge et la résultante R de toutes les charges appliquées seront symétriques par rapport à l'axe de la poutre.



$$P_1: 0 \leq 1,5 \leq 3 \quad \text{non}$$

$$P_2: 3 \leq 1,5 \leq 9 \quad \text{non}$$

$$P_3: 9 \leq 1,5 \leq 15 \quad \text{oui}$$

$$P_4: 15 \leq 1,5 \leq 18 \quad \text{oui}$$

$$P_5: 18 \leq 1,5 \leq 24 \quad \text{non}$$

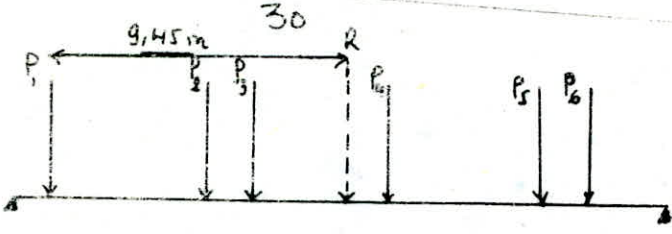
$$P_6: 24 \leq 1,5 \leq 30 \quad \text{non}$$

Il apparaît que l'une des charges P_3 et P_4 est en mesure de produire le moment max

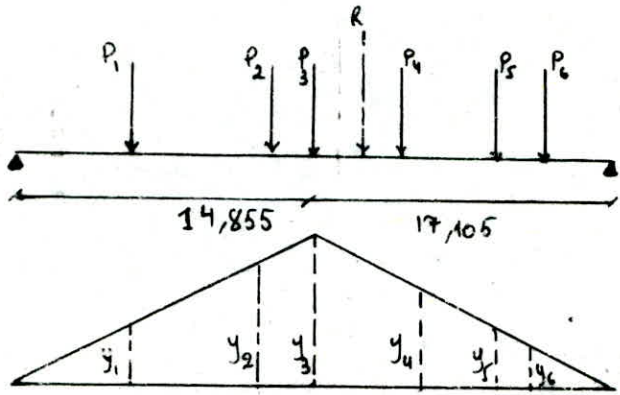
Cherchons le point d'application de la résultante R en prenant comme origine le point d'application de P_1

$$R \cdot x_R = \sum_{i=1}^6 P_i x_i \Rightarrow x_R = \frac{1}{R} \sum_{i=1}^6 P_i x_i$$

$$x_R = \frac{3 \times 0 + 6 \times 1,5 + 6 \times 6 + 3 \times 10,5 + 6 \times 15 + 6 \times 16,5}{30} = 9,45 \text{ m}$$



Plaçons la charge P_3 symétrique à la résultante R par rapport à la section médiane de la travée et traçons la ligne d'influence du moment fléchissant par la section au droit de laquelle se situe P_3



$y_1 = 4,7495$	$y_4 = 5,8686$
$y_2 = 5,1577$	$y_5 = 3,7768$
$y_3 = 7,96$	$y_6 = 3,0796$

$$M = \sum_{i=1}^6 P_i \cdot y_i \Rightarrow M = 163,7 \text{ t.m}$$

Dans le tableau suivant nous résumerons les résultats obtenus ainsi que la disposition des charges correspondantes et cela pour un file de roue Bc et pour toutes les sections considérées.

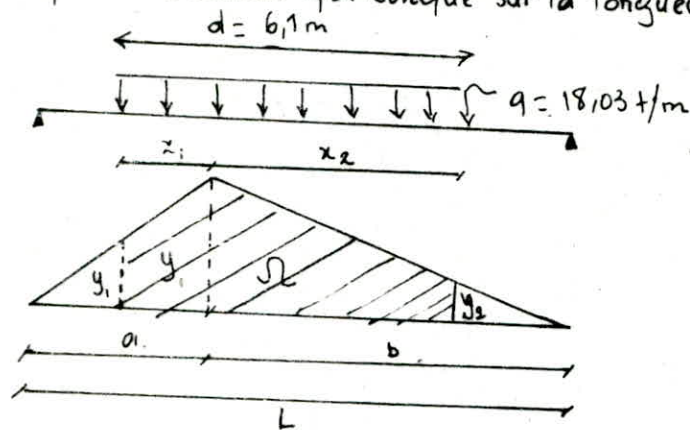
Section		Positions défavorables	Efforts
0	M		
	T	<p> $y_1 = 1$; $y_2 = 0,9531$ $y_3 = 0,8125$; $y_4 = 0,6718$ $y_5 = 0,625$; $y_6 = 0,4844$ </p>	23,41 t
$\frac{L}{8}$	M	<p> $y_1 = 2,1858$; $y_2 = 3,5$ $y_3 = 2,9368$; $y_4 = 2,3796$ $y_5 = 2,1858$; $y_6 = 1,6226$ </p>	77,44 t.m
	T	<p> $y_1 = 0,875$; $y_2 = 0,8281$ $y_3 = 0,6875$; $y_4 = 0,5469$ $y_5 = 0,5$; $y_6 = 0,4535$ </p>	19,92 t
$\frac{L}{4}$	M	<p> $y_1 = 4,875$; $y_2 = 6$ $y_3 = 4,875$; $y_4 = 3,75$ $y_5 = 3,375$; $y_6 = 2,25$ </p>	129,375 t.m
	T	<p> $y_1 = 0,75$; $y_2 = 0,7031$ $y_3 = 0,5625$; $y_4 = 0,4218$ $y_5 = 0,375$; $y_6 = 0,2344$ </p>	15,89 t
$\frac{3L}{8}$	M	<p> $y_1 = 3,75$; $y_2 = 6,5625$ $y_3 = 7,5$; $y_4 = 5,812$ $y_5 = 4,725$; $y_6 = 3,5625$ </p>	159,18 t.m
	T	<p> $y_1 = 0,625$; $y_2 = 0,5761$ $y_3 = 0,4375$; $y_4 = 0,2968$ $y_5 = 0,25$; $y_6 = 0,1094$ </p>	12,14 t
"5"	M	<p> $y_1 = 4,7495$; $y_2 = 5,1577$ $y_3 = 4,96$; $y_4 = 5,8686$ $y_5 = 3,7768$; $y_6 = 3,0796$ </p>	163,7 t.m
	T	<p> $y_1 = 0,358$; $y_2 = 0,4889$ $y_3 = 0,3481$; $y_4 = 0,2073$ $y_5 = 0,1603$; $y_6 = 0,0495$ </p>	9,45 t
$\frac{L}{2}$	M	<p> $y_1 = 5$; $y_2 = 7,25$ $y_3 = 8$; $y_4 = 5,75$ $y_5 = 3,5$; $y_6 = 2,75$ </p>	161,25 t.m
	T	<p> $y_1 = 0,5$; $y_2 = 0,4591$ $y_3 = 0,3125$; $y_4 = 0,1715$ $y_5 = 0,1245$ </p>	8,43 t

Dans le tableau suivant nous résumons les effets obtenus pour les différents cas de changement de la chaussée (les résultats sont majorés et pondérés)

		Section	0	L/8	L/4	3L/8	"S"	L/2
δ = 1,19	1 convoi bc = 1,2	M	0	201,8	347,45	427,51	420,64	433,05
		T	62,88	63,6	42,67	32,6	25,35	22,15
	2 convoi bc = 1,1	M	0	370,01	636,99	783,77	806,00	793,93
		T	115,28	98,09	78,24	59,77	46,47	40,6
	3 convoi bc = 0,95	M	0	479,34	825,19	1015,34	1044,14	1028,5
		T	149,34	127,07	101,35	77,43	60,20	52,61

1.5 Surcharge Militaire M_{c120}.

Détermination de la position la plus défavorable pour une charge uniforme sur une distance pour une section quelconque sur la longueur du pont.



$$S = \frac{(y_1 + y_2)}{2} x_1 + \frac{(y_1 + y_2)}{2} x_2$$

$$y = \frac{a \cdot b}{L} \quad y_1 = \frac{a - x_1}{a} \cdot y$$

$$y_2 = \frac{b - x_2}{b} \cdot y$$

$$d = x_1 + x_2$$

$$\Omega_{max} \Rightarrow y_1 = y_2 \Rightarrow \frac{a - x_1}{a} = \frac{b - x_2}{b} \Rightarrow b x_1 = a x_2$$

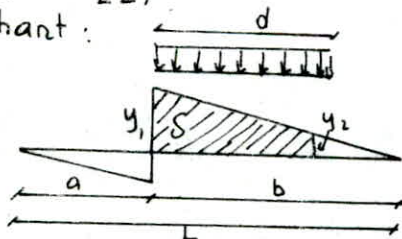
On détermine x_1 et x_2 à partir de :

$$\begin{cases} b x_1 - a x_2 = 0 \\ x_1 + x_2 = d \end{cases}$$

On trouve $x_1 = a \frac{d}{L}$; $x_2 = b \frac{d}{L} \Rightarrow y_1 = y_2 = \frac{a \cdot b}{L} \left(1 - \frac{d}{L}\right)$

$$S_{max} = \frac{a \cdot b}{L} \cdot d \left(1 - \frac{d}{2L}\right) \text{ et } M_{max} = \delta \cdot q \cdot S_{max}$$

pour l'effort tranchant :



$$y_1 = \frac{b}{L} \cdot d$$

$$y_2 = \frac{b - d}{L}$$

$$S_{max} = \frac{L}{2} \cdot d \left(b - \frac{d}{2}\right)$$

$$T_{max} = q \cdot S_{max}$$

		0	L/8	L/4	3L/8	"S"	L/2
T _{max} = q	M	0	382,09	655,02	818,76	869,02	873,35
	T	109,20	93,96	79,13	63,89	53,07	48,86

1.6 convoi 0

		0	L/8	L/4	3L/8	"S"	L/2
r	M	0	595,87	1021,50	1276,87	1355,25	1361,93
	T	170,22	140,26	110,19	80,64	50,55	36,12

DISTRIBUTION DES EFFORTS DANS LES POUTRES

Introduction :

Les liaisons transversales des éléments porteurs d'une construction jouent un très grand rôle, c'est à dire que l'élément ainsi directement chargé va reprendre un pourcentage de charge faible par rapport au même élément non lié transversalement.

Rigidité de l'entretoise :

Cette rigidité définit essentiellement la méthode de répartition à utiliser et son expression est :

$$r = \frac{n \cdot a^4}{2L} \sqrt{\frac{I_p}{I_E}}$$

avec : $m =$ nbre de poutres principales constituant une travée de la dalle

$a =$ entre-axe des poutres principales

$I_p =$ moment d'inertie propre d'une poutre

$I_E =$ moment d'inertie propre d'une entretoise

$L =$ portée des poutres principales

Si $r \gg 0,3$ la rigidité de l'entretoise est prise en compte.

La méthode de MM GUYON - MASSONNET est l'une des méthodes actuellement efficaces pour le calcul des ponts à poutres multiples en tenant compte de l'effet de la résistance à la torsion.

Si $r < 0,3$ l'entretoise est infiniment rigide, ainsi on ne tient pas compte de la résistance à la torsion, dans ce cas la méthode Courbon est préférable.

Calcul de la rigidité de l'entretoise :

$$\begin{aligned} n &= 9 ; a = 1,45 \text{ m} ; I_p = 57839605,5 \text{ (section médiane)} , I_E = \frac{100 \times 20^3}{12} = 66666,66 \text{ cm}^4 \\ \left. \begin{aligned} L &= 31,96 \text{ m Travée intermédiaire} \\ L &= 24,83 \text{ m Travée rive} \end{aligned} \right\} \Rightarrow r = 1,018 \text{ ; } r = 1,426 \end{aligned} > 0,3$$

Ce qui justifie l'utilisation de la méthode de MM. GUYON - MASSONNET.

Présentation théorique de la méthode :

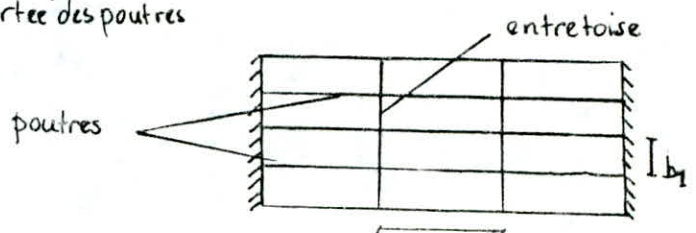
Le grillage est formé de deux familles de poutres en général perpendiculaires, étant solidaires de la dalle constituant le platelage. Le comportement de la construction dans ce cas est intermédiaire entre celui d'une dalle anisotrope et celui d'un grillage simple.

Principe de la méthode :

La méthode consiste essentiellement :

- 1- à substituer au pont réel un pont à structure continue qui possède les mêmes rigidités moyennes à la flexion et à la torsion que l'ouvrage réel, mais analysable rigoureusement par le calcul différentiel
- 2- à analyser de manière approchée l'effet de la répartition transversale des charges en admettant que cette répartition est la même que si la distribution des charges suivant l'axe du pont est sinusoïdale de la forme :

$$P'(x) = P \sin \frac{\pi x}{L} ; P = \text{cste} ; L = \text{portée des poutres}$$



Les poutres assemblées aux entretoises, les nœuds étant très rigides, donc résistant aussi efficacement à la flexion qu'à la torsion

Soient $B_p = EI_p$ la rigidité flexionnelle des poutres et $B_E = EI_E$ la rigidité flexionnelle des entretoises.

Les rigidités de torsion par unité de longueur des poutres principales et des entretoises sont respectivement : $\gamma_p = \frac{C_p}{b_1}$ et $\gamma_E = \frac{C_E}{l_1}$ avec $C_p = GI_p$ et $C_E = GI_E$, $G = \frac{E}{(1+\nu) \times 2}$

Les rigidités de torsion par unité de longueur des poutres principales et des entretoises sont respectivement $\rho_p = \frac{B_p}{b_1}$; $\rho_E = \frac{B_E}{l_1}$

Pour cela l'équation différentielle d'un grillage simple dont les rigidités sont réparties continument est :

$$\rho_p \frac{\partial^4 w}{\partial x^4} + (\gamma_p + \gamma_E) \frac{\partial^4 w}{\partial x^2 \partial y^2} + \rho_E \frac{\partial^4 w}{\partial y^4} = P(x, y)$$

On pose $\gamma_p + \gamma_E = 2\alpha \sqrt{\rho_p \cdot \rho_E} \Rightarrow \rho_p \frac{\partial^4 w}{\partial x^4} + 2\alpha \sqrt{\rho_p \cdot \rho_E} \frac{\partial^4 w}{\partial x^2 \partial y^2} + \rho_E \frac{\partial^4 w}{\partial y^4} = P(x, y)$

L'effet de torsion se traduit par le paramètre suivant :

$$\alpha = \frac{\gamma_p + \gamma_E}{2\sqrt{\rho_p \cdot \rho_E}} \quad (\text{paramètre de torsion}), \quad \theta = \frac{b}{L} \sqrt{\frac{\rho_p}{\rho_E}} \quad (\text{paramètre d'entretoisement})$$

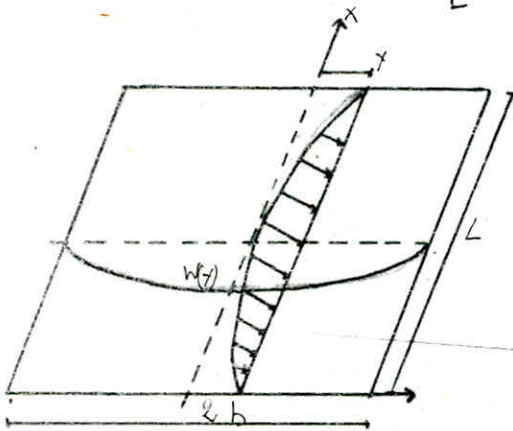
Ces deux coefficients définissent le comportement du pont à structure continue.

Coefficient de répartition transversale : K_α

Soit une charge linéaire répartie sur la construction sur une droite parallèle à l'axe $x-x$ excentrée de e , cette charge est supposée répartie suivant la sinusoïde : $P(x) = p \sin \frac{\pi x}{L}$

La construction prend alors une déformée en demi-onde de sinusoïde selon l'équation

$$w(x, y) = w(y) \sin \frac{\pi x}{L}$$



Si maintenant la charge $P(x)$ répartie uniformément sur la largeur $2b$ (tout en restant sinusoïdale dans le sens de la largeur), la construction prend alors dans ce cas une déformée en surface cylindrique d'équation :

$$w_0(x) = w_0 \sin \frac{\pi x}{L}$$

Par définition on appelle coefficient de répartition transversale le rapport sans dimensions :

$$K(y) = \frac{w(y)}{w_0}$$

Le coefficient K dépend de θ , α , $\frac{e}{b}$ (excentricité relative), et de y/b (ordonnée relative du point considéré).

L'étude de nombreux cas a permis à MASSONNET d'établir la formule d'interpolation suivante : $K_\alpha = K_0 + (K_1 - K_0) \sqrt{\alpha}$

Pour le calcul exact, nous utiliserons la relation de SATTLER :

K_0 correspond à $\alpha = 0$; K_1 correspond à $\alpha = 1$; K_0 et K_1 sont données par les tableaux de MASSONNET.

Relation de Sattler :

pour $0 < \theta \leq 0,1 \Rightarrow k_\alpha = k_0 + (k_1 - k_0) \alpha^{2,05}$
 pour $0,1 < \theta \leq 1 \Rightarrow k_\alpha = k_0 + (k_1 - k_0) \alpha^{(1 - \frac{0,065 - \theta}{0,663})}$
 pour $\theta > 1 \Rightarrow k_\alpha = k_0 + (k_1 - k_0) \sqrt{\alpha}$

Largeur active et position active :

cette largeur est donnée par la relation suivante :

$$2b = (n-1)b_0 + \frac{2b_0}{2} = nb_0 \quad \begin{array}{l} n = \text{nombre de poutres} \\ b_0 = \text{distance entre 2 poutres} \end{array}$$

Dans notre cas $n=9$; $b_0 = 1,45 \text{ m} \Rightarrow b = 6,525 \text{ m}$

cette largeur est celle sur laquelle la méthode de MM GUYON-MASSONNET est basée.

Calcul des paramètres θ et α

Inertie moyenne de la poutre : $I_m = I_0 + \frac{8}{3\pi} (I - I_0)$ avec I_0 et I sont les moments d'inertie respectivement à l'appui et en travée.

$$I_0 = 0,9 \times 10646360,22 = 9581724,2 \text{ cm}^4, \quad I = 0,9 \times 29131756,92 = 26223441,23 \text{ cm}^4$$

$$\text{Donc } I_m = 9581724,2 + \frac{8}{3\pi} (26223441,2 - 9581724,2) = 23707652,3 \text{ cm}^4$$

On aura pour J_p et J_E :

$$J_p = \frac{E I_p}{b_s} = \frac{E \times 23707652,3}{145} = 163501 E$$

$$J_E = \frac{E I_E}{l_1} = \frac{E \times 66666,66}{100} = 666,66 E$$

Comme il n'y a pas d'entretoises intermédiaires, la dalle va jouer ce rôle, l'espacement fictif de ces entretoises est $l_1 = 1,00 \text{ m}$

$$\theta = \frac{b}{L} \sqrt[4]{\frac{J_p}{J_E}}$$

Travée intermédiaire

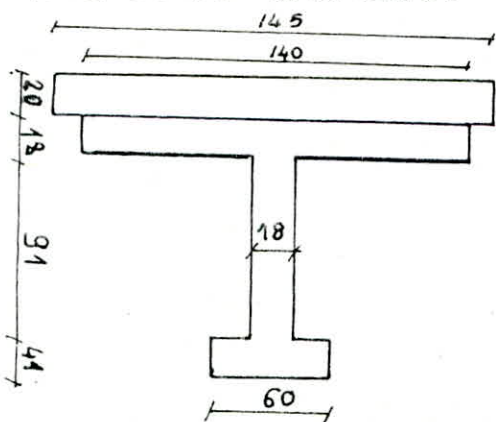
$$L = 31,96 \text{ m} \Rightarrow \theta = \frac{6,525}{31,96} \sqrt[4]{\frac{163501}{666,66}} = 0,808$$

Travée de rive :

$$L = 23,43 \text{ m} \Rightarrow \theta = \frac{6,525}{23,43} \sqrt[4]{\frac{163501}{666,66}} = 1,102$$

Calcul des rigidités torsionnelles par unité de largeur

pour simplifier les calculs on modifie légèrement la géométrie de la section et elle devient la suivante :



$$C_p = \frac{G}{3} \sum b_i^3 h_i$$

où b_i, h_i sont respectivement le plus petit et le plus grand côté du rectangle élémentaire i .

$$C_p = 1094953,33 G \text{ avec } G = \frac{E}{2(1+\nu)} (\nu = 0,15)$$

$$\text{d'où } C_p = 476066,66 E$$

$$C_E = \frac{G}{3} \left(\frac{L}{2} \times 20^3 \times 100 \right) = 133353,33 G$$

$$C_E = 57971,01 E$$

$$\text{Comme } \gamma_p = \frac{C_p}{b_s C_E} = \frac{476066,66 E}{145 \times 57971,01 E} = 3283,28 E$$

$$\gamma_s = \frac{C_s}{b_s C_E} = \frac{145}{57971,01 E} = 579,71 E$$

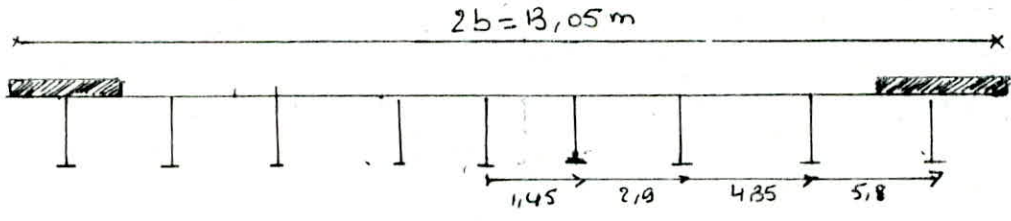
$$\alpha = \frac{\delta_p + \delta_E}{2 \cdot \sqrt{P_p \cdot P_E}} = \frac{(3283,28 + 579,71) E}{2 \sqrt{666,66 \cdot 163501 \cdot E^2}} = 0,185$$

lignes d'influence de K_α

comme $0,1 < \theta = 0,808 < 1 \Rightarrow K_\alpha = K_0 + (K_1 - K_0) \alpha^{(1 - e^{\frac{0,065 - \theta}{0,883}})}$

tout calcul fait la relation devient : $K_\alpha = 0,68 K_0 + 0,32 K_1$, $\alpha = 0,185$

Positions réelles des poutres



les tables numériques de Massonnet nous donnent les valeurs de K_0 et K_1 pour $\theta = 0,80$ pour les excentricités de charges : $e = -b, -\frac{3b}{4}, -\frac{b}{2}, -\frac{b}{4}, 0, \frac{b}{4}, \frac{b}{2}, \frac{3b}{4}, b$ et pour des points $y = 0, \frac{b}{4}, \frac{b}{2}, \frac{3b}{4}, b$

Pour avoir les valeurs des fonctions K_α qui correspondent aux positions réelles de nos poutres, car on fait des interpolations, les résultats sont groupés dans le tableau ci-après.

$y \backslash e$	$-b$	$-\frac{3b}{4}$	$-\frac{b}{2}$	$-\frac{b}{4}$	0	$\frac{b}{4}$	$\frac{b}{2}$	$\frac{3b}{4}$	b
$y=0$	0,0238	0,5203	1,0341	1,5144	1,7586	1,5144	1,0341	0,5203	0,0238
$y=1,45$	-0,1819	0,2097	0,6344	1,1023	1,5413	1,7372	1,4874	1,0330	0,5505
$y=2,9$	-0,2331	0,0246	0,3183	0,6878	1,1481	1,5925	1,8349	1,7289	1,5009
$y=4,35$	-0,2089	-0,0840	0,0691	0,3082	0,6905	1,2448	1,9113	2,5107	2,9573
$y=5,8$	-0,1405	-0,1555	-0,1417	-0,0401	0,3953	0,8282	1,8209	3,2252	4,8705

Ces valeurs pour chaque poutre vont nous permettre de trouver les lignes d'influence.

Calcul du coefficient de répartition K_α :

* Cas des surcharges localisées : On calcule les ordonnées y_i de la ligne d'influence de K_α , sous chaque surcharge le coefficient K_α sera obtenu par la relation ci-dessous.

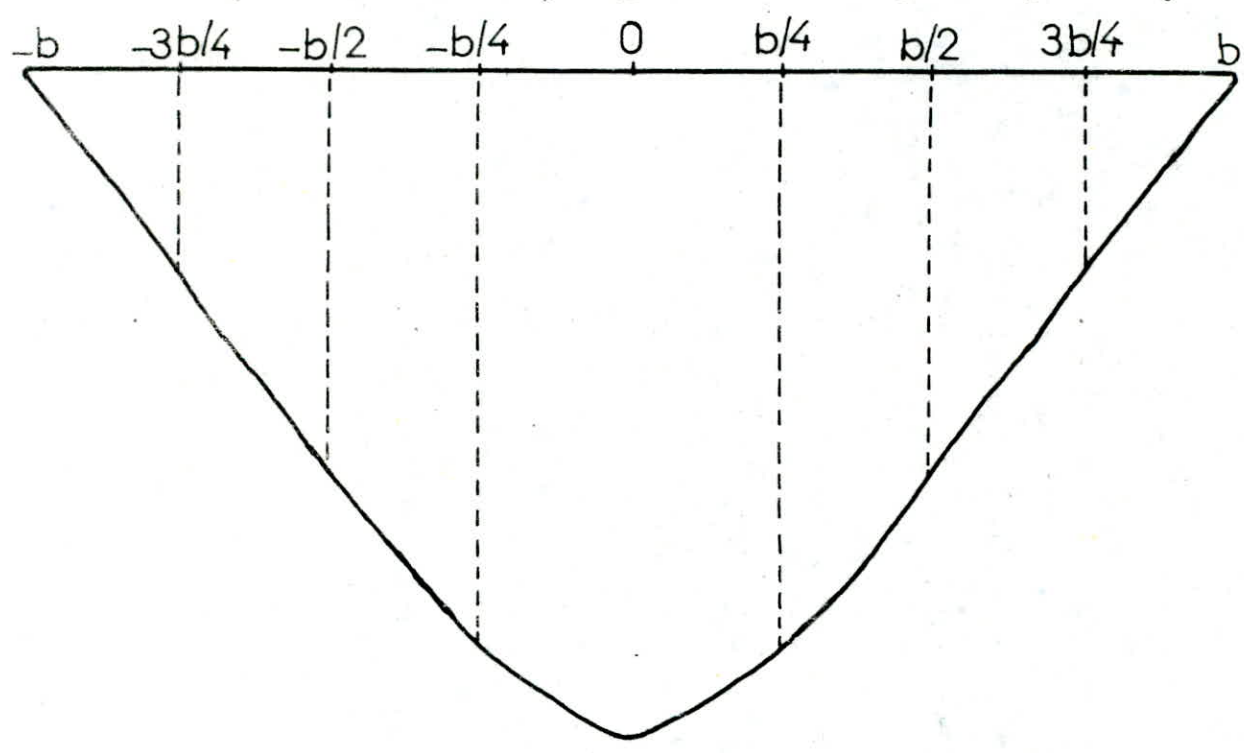
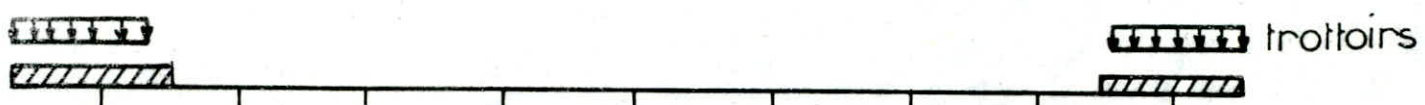
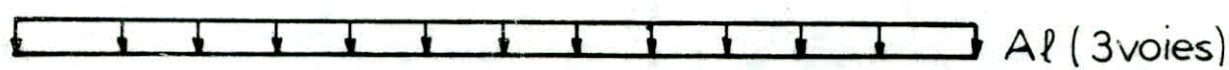
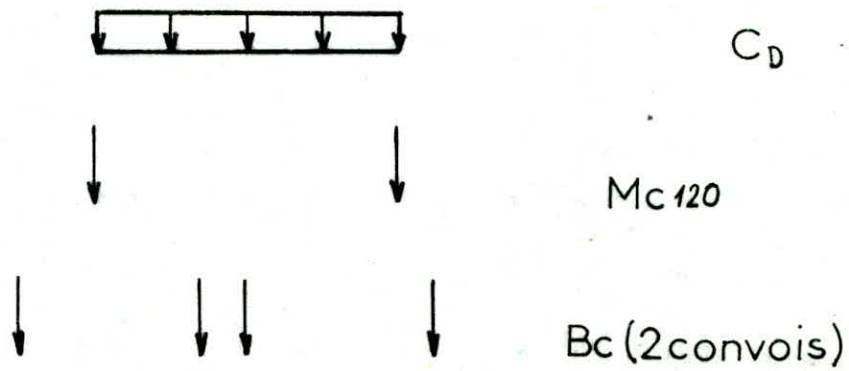
$$K_\alpha = \frac{\sum P_i \cdot y_i}{\sum P_i}$$

Comme dans le sens transversal, les charges P_i ont même valeur, la relation devient alors :

$$K_\alpha = \frac{1}{n} \sum_{i=1}^n y_i$$

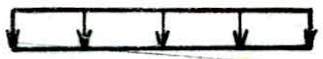
* Cas des surcharges et charges uniformément réparties dans le sens transversal $K_\alpha = \frac{\Omega}{l}$ Ω : aire d'influence l : largeur chargée

POUTRE $Y=0$



0.815
0.2

POUTRE . $Y=145$



C_D



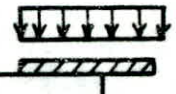
$M_c 120$



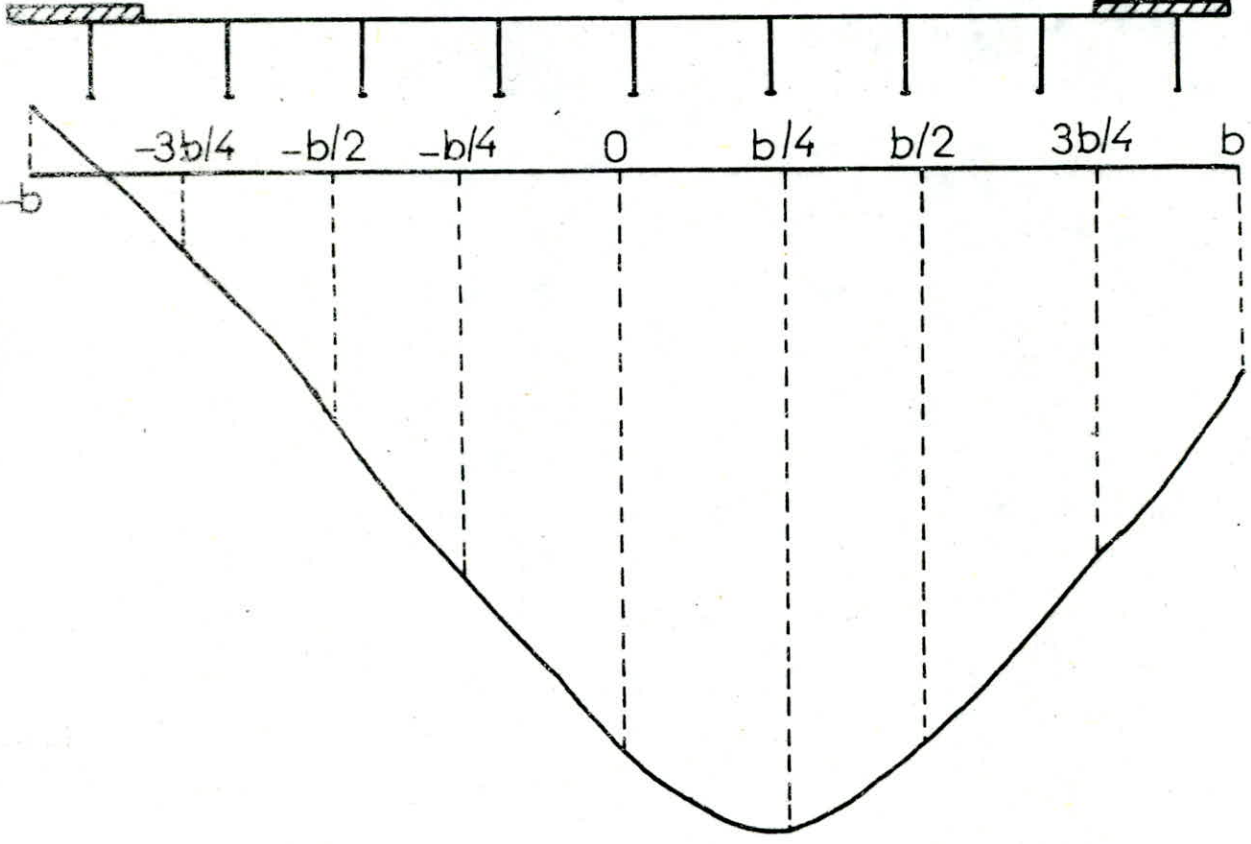
$B_c (2 \text{ convois})$



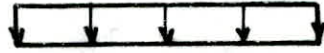
$A_l (3 \text{ voies})$



trottoirs



POUTRE $\gamma=2.9$



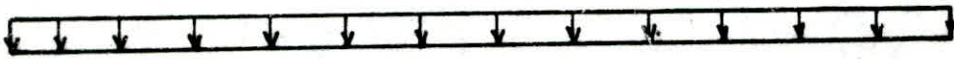
C_D



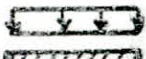
$M_C 120$



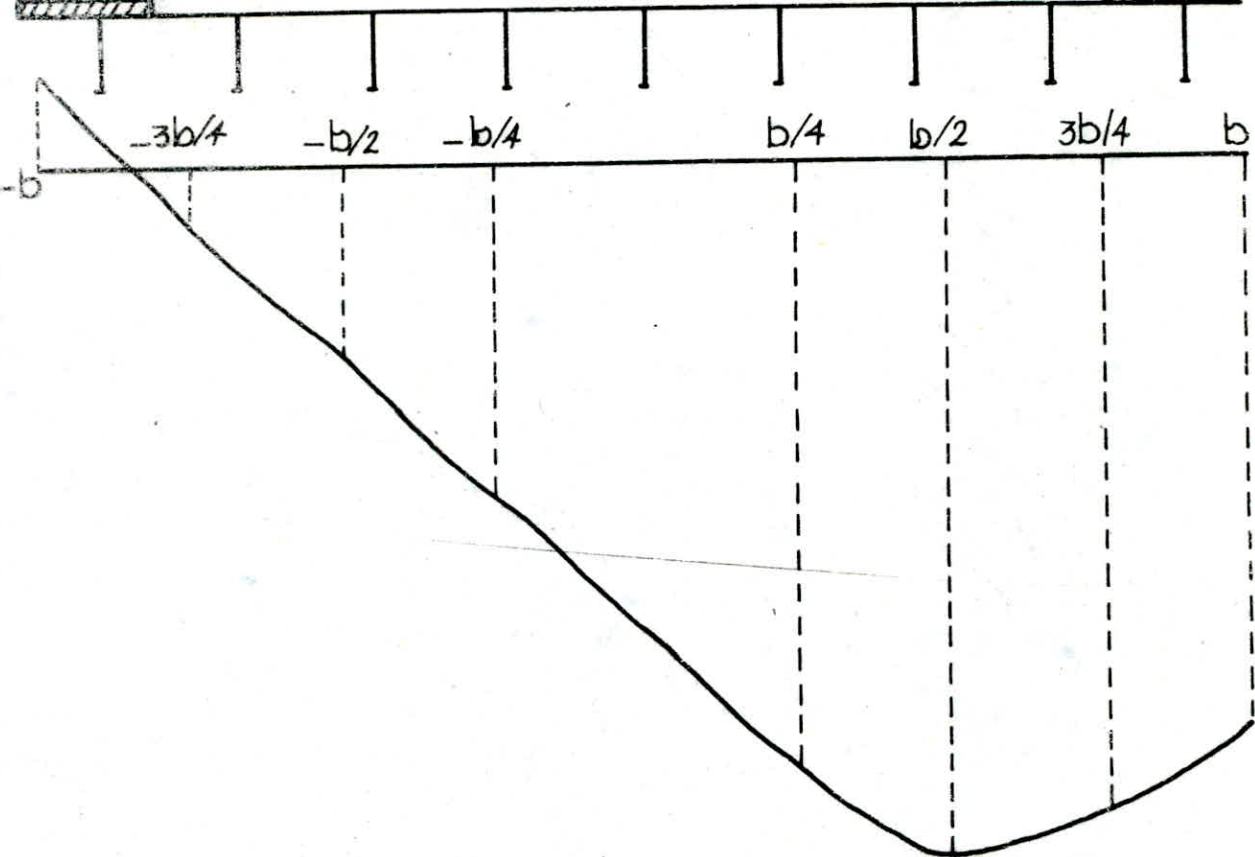
B_C (2 convois)



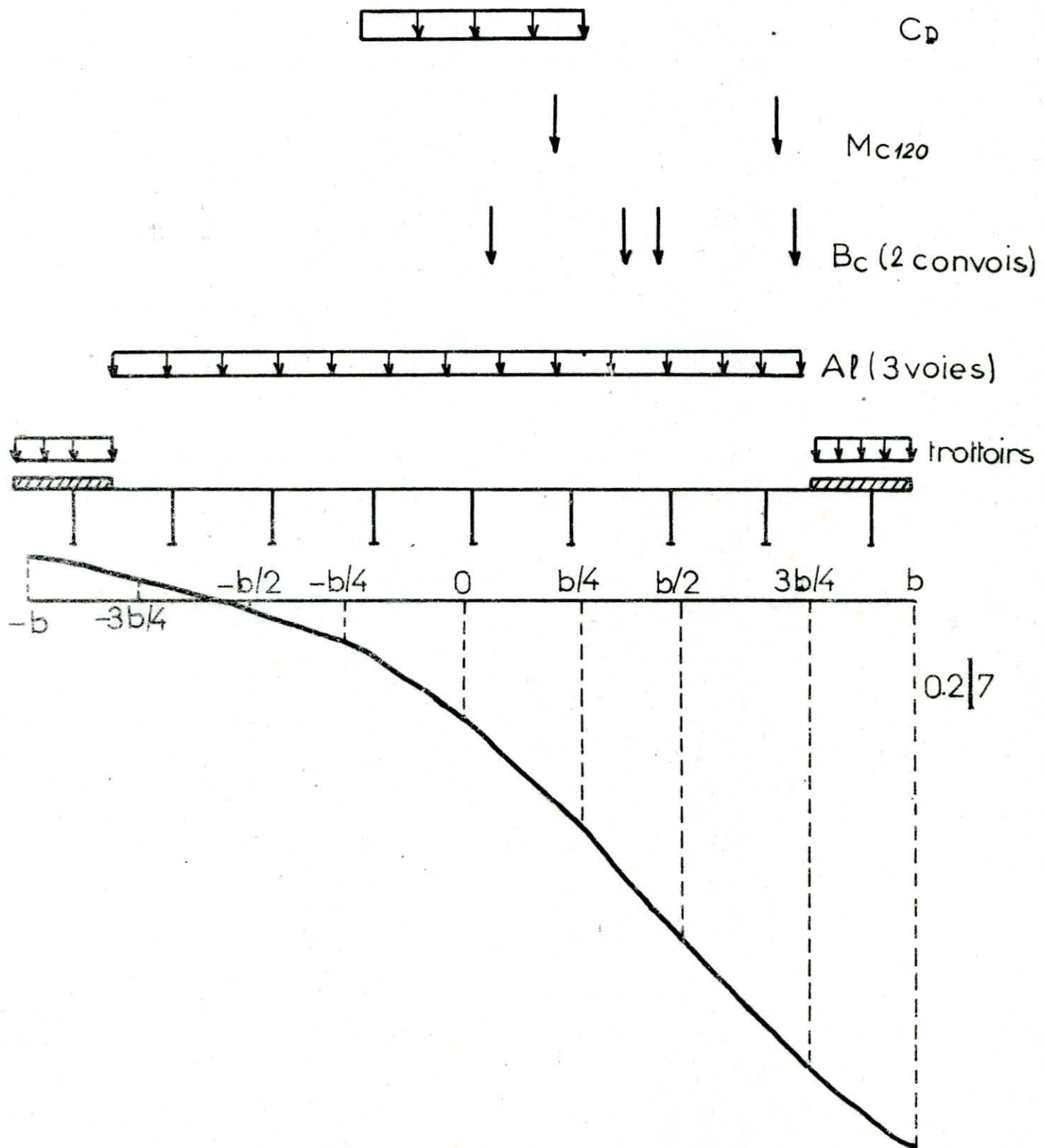
A_l (3 voies)



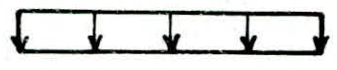
trottoirs



POUTRE $\gamma=4.35$



POUTRE $\gamma=5.8$



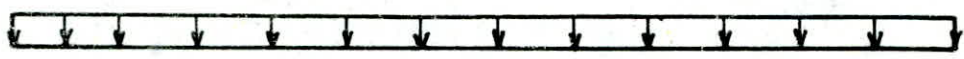
C_D



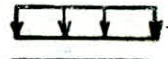
M_{c120}



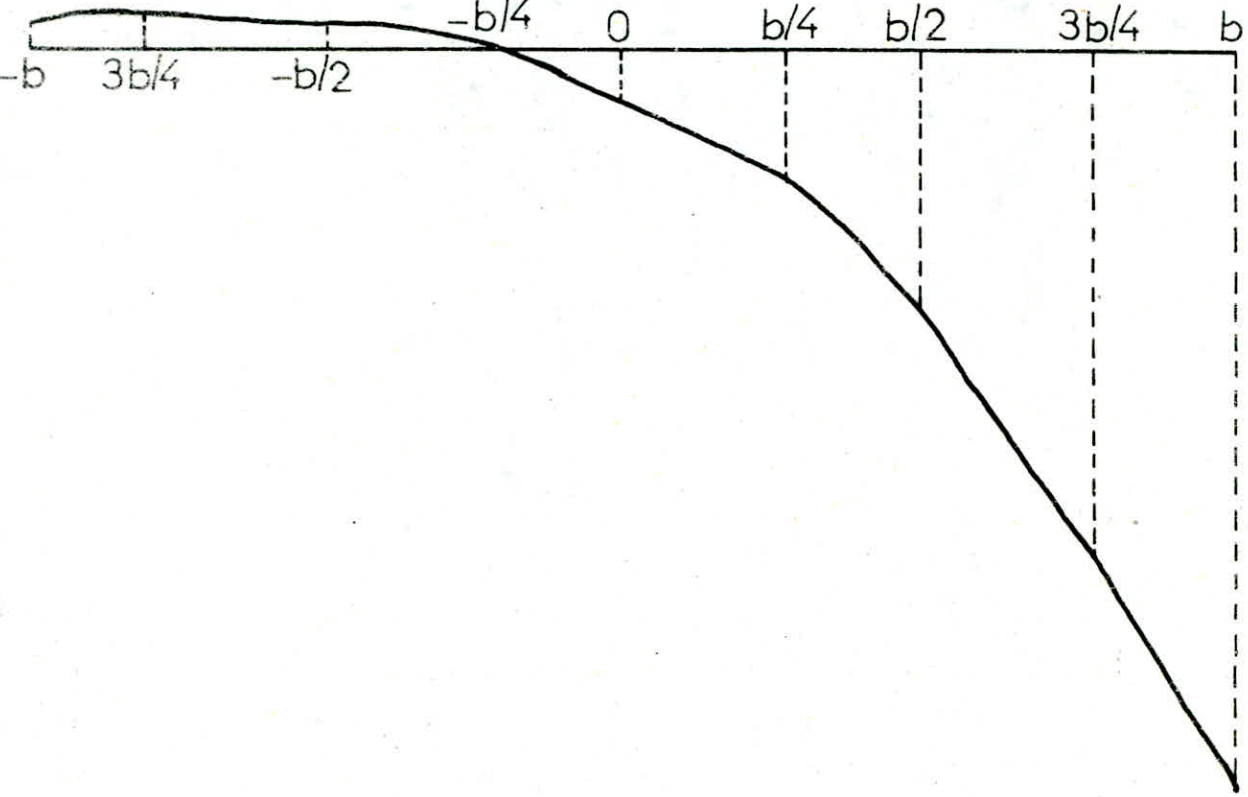
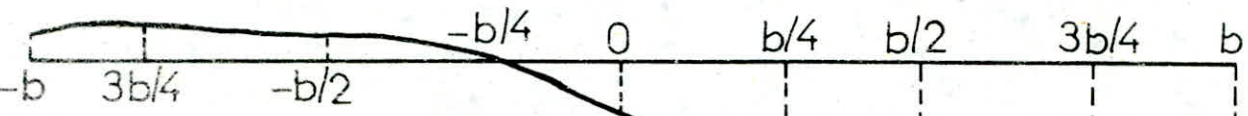
$B_c(2 \text{ convois})$



$A_l(3 \text{ voies})$

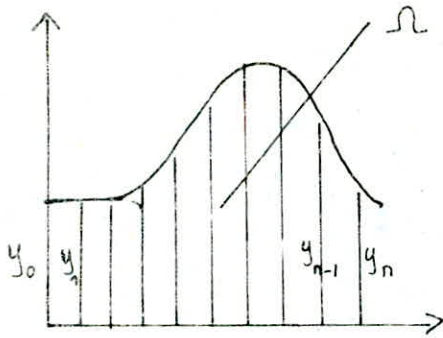


trottoirs



1

L'aire Ω sera calculée par la méthode des trapèzes : $\Omega = \frac{b}{2} [y_0 + 2(y_1 + y_2 + \dots + y_{n-1}) + y_n]$



Pour cela on va envisager toutes les dispositions transversales des charges afin d'avoir le maximum

Coefficient de répartition transversale

		$y=0$	$y=1,45$	$y=2,9$	$y=4,35$	$y=5,8$
G		0,991	0,918	1,07	0,894	0,999
Trottoirs	1 trottoir	0,244	0,565	1,467	2,308	3,803
	2 trottoirs	0,232	0,272	0,693	1,218	1,76
A _l	2 voies chargées	1,359	1,44	1,36	1,153	1,133
	3 voies chargées	1,187	1,153	1,129	0,786	0,704
B _c	2 convois	1,323	1,385	1,412	1,080	1,070
	3 convois	1,215	1,482	1,637	1,441	1,548
M _{c120}		1,500	1,500	1,640	1,552	1,815
C _D		1,757	1,63	1,592	1,066	0,891

Calcul des effets dans les poutres :

* Moment fléchissant

$$M_i = K \alpha_i \frac{M_0}{n} \quad \text{avec}$$

M_i = moment fléchissant revenant à la poutre une fois répartie

M_0 = moment total sollicitant la poutre

n : nombre total des poutres

* Effort tranchant

$$T_i = K \alpha_i \frac{T_0}{n} \quad \text{avec}$$

T_i = effort tranchant revenant à la poutre une fois répartie

T_0 : effort tranchant sollicitant la poutre sous les charges ou surcharges

n : nombre total des poutres

poutre $y=0$

			0	$\frac{L}{8}$	$\frac{L}{4}$	$3\frac{L}{8}$	"S"	$\frac{L}{2}$
G	$K_x=0,991$	M	0	126,7	217,22	271,53	288,18	289,63
		T	36,2	27,15	18,1	9	2,55	0
Trottoir	1 trottoir charge $K_x=0,244$	M	0,1	0,34	0,58	0,73	0,77	0,78
		T	0,09	0,07	0,05	0,04	0,03	0,02
	2 trottoirs charges $K_x=0,232$	M	0	0,85	1,11	1,39	1,47	1,48
		T	0,18	0,14	0,1	0,07	0,05	0,04
AL	2 voies $K_x=1,358$	M	0	47,52	81,46	101,83	108,08	108,6
		T	13,58	10,4	7,64	5,3	3,88	3,4
	3 voies $K_x=1,187$	M	0	62,26	106,73	133,42	141,6	142,31
		T	17,8	13,62	10	6,95	5,09	4,45
Bc	2 convois $K_x=1,323$	M	0	54,24	90,62	111,15	114,67	112,95
		T	16,88	13,95	11,13	8,5	7,46	5,78
	3 convois $K_x=1,205$	M	0	64,95	108,51	133,52	137,8	135,25
		T	19,62	16,7	13,33	10,18	8,55	6,92
Mc 120	$K_x=1,500$	M	0	62,58	107,28	134,1	142,33	143,04
		T	17,88	15,39	12,96	10,46	8,61	8
CD	$K_x=1,757$	M	0	116,33	199,42	249,27	264,57	265,89
		T	33,25	27,38	21,51	15,74	9,87	7,05
Combinaisons	G+1,1 (Tr+A)	M	0	195,9	335,84	419,82	445,56	447,78
		T	55,98	42,29	29,21	16,72	8,20	4,94
	G+1,1 (Tr+Bc)	M	0	198,86	337,80	419,93	441,37	440,03
		T	57,98	45,67	32,87	20,27	12,01	7,66
	G+Mc120	M	0	189,28	324,5	405,63	430,51	432,67
		T	54,08	42,54	31,06	19,46	11,16	8
	G+CD	M	0	243,03	416,64	520,8	552,75	555,52
		T	69,45	54,53	39,61	24,74	12,42	7,05

power $y = 1,45$

			0	$\frac{1}{8}$	$\frac{1}{4}$	$\frac{3}{8}$	"5"	$\frac{1}{2}$
G	$K_x = 0,988$	M	0	117,38	201,22	251,5	266,96	268,3
		T	33,54	25,15	16,77	8,38	2,36	0
Trottoir	$K_x = 0,565$	M	0	0,79	1,35	1,69	1,79	1,8
		T	0,22	0,17	0,13	0,08	0,06	0,05
	$K_x = 0,772$	M	0	0,76	1,3	1,63	1,73	1,74
		T	0,22	0,16	0,12	0,08	0,06	0,05
A2	$K_x = 1,44$	M	0	50,35	86,32	107,9	114,5	115,1
		T	14,38	11,01	8,09	5,62	4,11	3,59
	$K_x = 1,158$	M	0	60,48	103,68	129,6	137,55	138,24
		T	17,28	13,23	9,72	6,75	4,94	4,32
B2	$K_x = 1,385$	M	0	56,78	94,87	116,73	120	118,25
		T	17,15	14,6	11,65	8,9	7,8	6,05
	$K_x = 1,482$	M	0	79,22	132,36	162,86	167,47	164,97
		T	23,93	20,34	16,26	12,42	10,43	8,44
Mc 120	$K_x = 1,5$	M	0	62,58	107,28	134,1	142,33	143,04
		T	17,88	15,39	12,96	10,46	8,61	8
C0	$K_x = 1,63$	M	0	107,92	185,00	231,36	245,45	246,67
		T	30,85	25,40	19,96	14,61	9,15	6,54
Combinations	G + 1,1 (Tr + A)	M	0	184,77	316,75	395,92	420,23	422,34
		T	52,79	39,91	27,6	15,89	9,76	4,81
	G + 1,1 (Tr + B2)	M	0	205,39	348,3	432,61	453,15	451,75
		T	60,105	47,73	34,8	22,13	15,80	9,34
	G + Mc 120	M	0	179,96	308,5	385,6	409,29	411,34
		T	51,42	40,56	29,73	18,83	10,97	8
	G + C0	M	0	225,3	386,22	482,76	512,41	514,37
		T	64,39	50,55	36,73	22,99	11,51	6,54

$$\text{Poutce } y = 2,9$$

			0	$\frac{L}{8}$	$\frac{L}{4}$	$\frac{3L}{8}$	"3"	$\frac{L}{2}$
G	$K_x = 1,07$	M	0	137,10	234,54	293,17	311,16	312,73
		T	39,09	29,31	19,54	9,77	2,75	0
trotoir	$K_x = 1,467$	M	0	2,06	3,52	4,4	4,67	4,69
		T	0,59	0,45	0,33	0,23	0,16	0,15
	$K_x = 0,693$	M	0	1,94	3,33	4,16	4,41	4,43
		T	0,55	1,94	3,33	0,21	0,16	0,14
A2	$K_x = 1,36$	M	0	47,56	81,53	101,91	108,16	108,17
		T	13,59	10,4	7,64	5,31	3,88	3,39
	$K_x = 1,19$	M	0	59,22	101,52	126,89	134,68	135,36
		T	16,92	12,95	9,52	6,61	4,84	4,28
Bc	$K_x = 1,412$	M	0	57,89	96,72	119	122,4	120,55
		T	17,48	14,89	11,89	9,07	7,9	6,17
	$K_x = 1,637$	M	0	87,51	146,2	179,19	184,99	182,22
		T	26,43	22,51	17,95	13,72	11,52	9,32
Me120	$K_x = 1,64$	M	0	68,42	146,61	146,61	155,61	156,38
		T	19,55	16,82	14,13	11,44	9,41	8,75
C0	$K_x = 1,592$	M	0	105,40	180,69	225,86	239,73	240,92
		T	30,13	24,81	19,49	14,26	8,94	6,39
Combinations	G+1,1(Tr+A)	M	0	204,57	349,87	437,59	464,44	466,78
		T	58,35	44,05	30,37	17,29	8,25	4,82
	G+1,1(Tr+Bc)	M	0	235,69	304,07	495,12	519,79	518,33
		T	68,81	54,56	39,65	25,11	15,60	10,42
	G+Me120	M	0	205,58	351,58	439,78	467,54	469,11
		T	58,64	46,13	33,71	21,21	12,16	8,75
	G+C0	M	0	242,56	415,23	519,03	550,89	553,65
		T	69,4	54,12	39,03	24,03	11,69	6,39

autre $y = 4,35$

			0	$\frac{L}{8}$	$\frac{L}{4}$	$\frac{3L}{4}$	"S"	$\frac{L}{2}$	
G	K=0,834	M	0	114,31	195,96	244,90	260	261,20	
		T	32,60	24,5	16,33	8,18	2,3	0	
Troffins	K=2,398	1 Troffin	M	0	3,361	5,75	7,19	7,63	7,67
			T	0,96	0,73	0,54	0,37	0,27	0,24
	K=1,218	2 Troffins	M	0	3,41	5,84	7,31	7,76	7,79
			T	0,97	0,75	0,55	0,38	0,29	0,24
Al	K=1,153	2 Voids	M	0	40,32	69,12	86,139	91,69	92,16
			T	11,52	8,82	6,48	4,49	3,29	2,88
	K=0,786	3 Voids	M	0	41,23	70,67	88,35	93,76	94,24
			T	11,78	9,02	6,62	4,6	3,37	2,94
Bc	K=1,108	2 Convors	M	0	44,28	73,98	91,03	93,61	92,21
			T	13,37	11,39	9,08	6,94	6,08	4,72
	K=1,441	3 Convors	M	0	77,03	128,69	158,35	182,84	160,41
			T	23,27	19,82	15,81	12,07	10,14	8,21
Mc120	K=1,552	M	0	64,75	110,99	140,65	147,26	147,99	
		T	18,5	15,92	13,41	10,83	8,9	8,28	
Cd	K=1,066	M	0	70,57	120,99	151,24	160,52	161,32	
		T	20,17	16,61	13,05	9,55	5,99	4,88	
Combinations	G+1,1 (Tr+Al)	M	0	163,41	281,74	357,5	371,67	373,52	
		T	46,62	35,23	24,22	13,64	6,33	3,5	
	G+2,1 (Tr+Bc)	M	0	202,79	345,56	434,50	447,66	446,31	
		T	59,26	47,13	34,33	21,85	13,77	9,3	
	G+Mc120	M	0	189,29	306,95	392,92	407,26	409,28	
		T	51,1	43,00	29,74	18,99	11,2	8,28	
	G+Cd	M	0	195,65	316,95	403,51	420,52	421,61	
		T	52,77	41,11	29,38	17,71	8,29	4,88	

Poutre $y = 5,8$

			0	$\frac{1}{8}$	$\frac{1}{4}$	$\frac{3}{8}$	"5"	$\frac{1}{2}$
G	$K_x = 0,999$	M	0	127,74	218,98	273,73	290,51	291,97
		T	36,49	27,37	18,25	9,12	0,43	0
Trotoirs	$K_x = 3,803$	M	0	5,32	9,13	11,41	12,11	12,17
		T	1,52	1,16	0,85	0,59	0,57	0,38
	$K_x = 1,76$	M	0	4,93	8,45	10,56	11,21	11,26
		T	1,41	1,08	0,79	0,55	0,45	0,35
AL	$K_x = 1,133$	M	0	39,62	67,92	84,89	90,11	90,56
		T	11,32	8,66	6,37	4,42	3,23	2,83
	$K_x = 0,704$	M	0	36,93	63,3	79,13	83,98	84,4
		T	10,55	8,08	5,93	4,12	3,03	2,64
Bc	$K_x = 1,07$	M	0	43,87	73,29	90,18	92,74	91,35
		T	13,25	11,28	9,50	6,87	6,03	4,67
	$K_x = 1,548$	M	0	82,75	138,25	170,11	174,94	172,32
		T	24,99	21,28	16,98	12,97	10,90	8,82
M c 120	$K_x = 1,815$	M	0	75,72	129,81	162,26	172,22	173,07
		T	21,64	18,62	15,68	12,66	10,41	9,68
CD	$K_x = 0,891$	M	0	58,99	101,13	126,41	134,17	134,84
		T	16,86	13,8	10,91	7,98	5,00	3,57
Combinaisons	G+1,1 (Tr+AL)	M	0	177,17	303,74	386,17	402,95	404,97
		T	50,61	35,31	26,19	14,63	4,94	3,35
	G+1,1 (Tr+Bc)	M	0	224,62	381,10	474,17	496,26	496,91
		T	65,65	51,71	37,86	24,04	13,38	10,12
	G+ M c 120	M	0	203,46	348,79	435,99	462,73	466,04
		T	58,13	45,99	33,93	21,78	10,84	9,68
	G+ CD	M	0	186,73	320,11	400,14	424,68	426,81
		T	53,35	41,17	29,16	17,1	5,43	3,57

ETUDE DU PATELAGE

Le patelage est constitué d'une dalle en béton armé en liaison avec les poutres, cette liaison est assurée par des aciers en attente sur les poutres. La dalle sera coulée sur place et son rôle est de reprendre les efforts de la flexion locale auxquels s'ajoutent les moments de la flexion transversale.

I Flexion transversale.

Elle sera calculée par la méthode GUYON-MASSONNET, il sera d'abord tracé les lignes d'influences M_x puis déterminé M_x par chaque type de chargement considéré. Pour plus de précision nous considérons les trois premiers termes du développement en série de Fourier ($m=1,3,5$ pour $\theta = \theta, 3\theta, 5\theta$). Le calcul des M_x se fera de la même manière que pour K_x .

On utilise la relation de SATTLER qui est une relation d'interpolation

$$0 \leq \theta \leq 0,1 \Rightarrow M_x = M_0 + (M_1 - M_0) x^{0,05}$$

$$0,1 \leq \theta \leq 1 \Rightarrow M_x = M_0 + (M_1 - M_0) x^{(1 - \frac{0,065 - \theta}{0,663})}$$

$$\theta > 1 \Rightarrow M_x = M_0 + (M_1 - M_0) \sqrt{x}$$

		m = 1 $M_{x1} \cdot 10^4$ $\theta = 0,80$								
y \ e	-b	$-3\frac{b}{4}$	$-\frac{b}{2}$	$-\frac{b}{4}$	0	$\frac{b}{4}$	$\frac{b}{2}$	$3\frac{b}{4}$	b	
y=0	-718	-464,46	-144,93	383,86	1335,25	383,86	-144,93	-464,46	-718	
y=1,45	-425,5	-339,2	-217,5	26,37	531,8	1198,9	187,6	-492,1	-1057,2	
y=2,9	-216,0	-206,4	-183,0	-95,7	129,0	608,4	222,2	-288,9	-1311,3	
y=4,35	-86,8	-97,1	-103,2	-87,3	-16,7	164,3	535,6	352,8	1255,2	
y=5,8	-209,	-26,33	-31,3	-32,0	-20,3	18,41	107,7	287,0	-532,5	

		m = 3 $M_{x3} \cdot 10^4$ $\theta = 2,4$								
y \ e	-b	$-3\frac{b}{4}$	$-\frac{b}{2}$	$-\frac{b}{4}$	0	$\frac{b}{4}$	$\frac{b}{2}$	$3\frac{b}{4}$	b	
y=0	3,4	-1,9	-34,3	-71,1	409,9	-71,1	-34,3	-1,9	3,45	
y=1,45	-0,2	1	-5,4	-38,3	16,9	355,9	-68,1	-31,9	10,2	
y=2,9	-0,4	0,4	0,6	-9,1	-42,4	36,2	302,1	-67,2	36,8	
y=4,35	-0,1	-0,04	0,53	0,1	-13,3	-45,6	99,6	248,22	-235,6	
y=5,8	-0,01	-0,05	-0,06	0,5	-1,3	-14,6	-24,9	182,8	146,1	

		$m=5$					$\mu_{K5} \cdot 10^4$			$\theta = 4$
$y \in$										
$y=0$	-0,05	0,05	0,47	-32,29	245,81	-32,29	0,47	0,05	-0,05	
$y=1,45$	0,01	-0,02	0,37	-3,20	-1,13	240,24	-28,62	0,46	-0,35	
$y=2,9$	0	-0,01	0	0,14	-6,83	30,24	183,88	-19,28	4,53	
$y=4,35$	0	0	-0,02	-0,02	0,20	-11,89	60,63	153,73	-45,2	
$y=5,8$	0	0	0	-0,02	0,02	1,02	-14,37	110,07	-31,52	

Ces tableaux vont nous permettre de trouver les lignes d'influence de μ_{K_m} et on procédera de la même manière que pour K_x , c-à-d on recherche toujours la valeur maximum de μ_x (positive) ou la valeur minimum (négative) de μ_x , pour cela; pour les charges concentrées on calcul les données au droit de chaque charge, et pour les charges uniformément réparties on utilise la formule des trapèzes

		μ_{K2}		μ_{K3}		μ_{K5}	
		μ_{K2}^+	μ_{K2}^-	μ_{K3}^+	μ_{K3}^-	μ_{K5}^+	μ_{K5}^-
Trottoir	1 Trottoir charge	/	0,088	/	0,003	/	/
	2 trottoirs chargés	/	0,057	/	0,003	/	/
A(l)	1 voie chargée	0,076	0,033	0,009	0,004	0,005	0,002
	2 voies chargées	0,041	0,011	0,004	0,004	0,001	/
	3 voies chargées	0,018	/	0,002	/	0,001	/
Br		0,133	/	0,041	/	0,026	/
Bc	1 tandem	0,078	0,012	0,016	0,004	0,011	0,001
	2 tandem	0,055	0,012	0,008	0,004	0,005	0,001
Bc	1 convoi	0,078	0,023	0,016	0,003	0,011	0,001
	2 convois	0,066	0,023	0,010	0,003	0,009	0,001
	3 convois	0,031	/	0,001	/	/	/
Mc120		0,059	/	0,019	/	0,012	/
C0		0,085	/	0,014	/	0,005	/

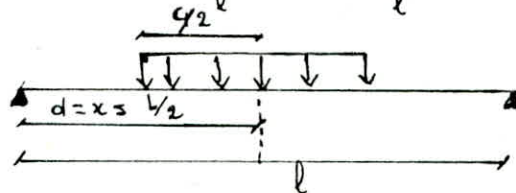
Les relations utilisées pour le calcul des moments transversaux

* Pour une charge uniformément répartie (A(l) et surcharge répartie du trottoir)

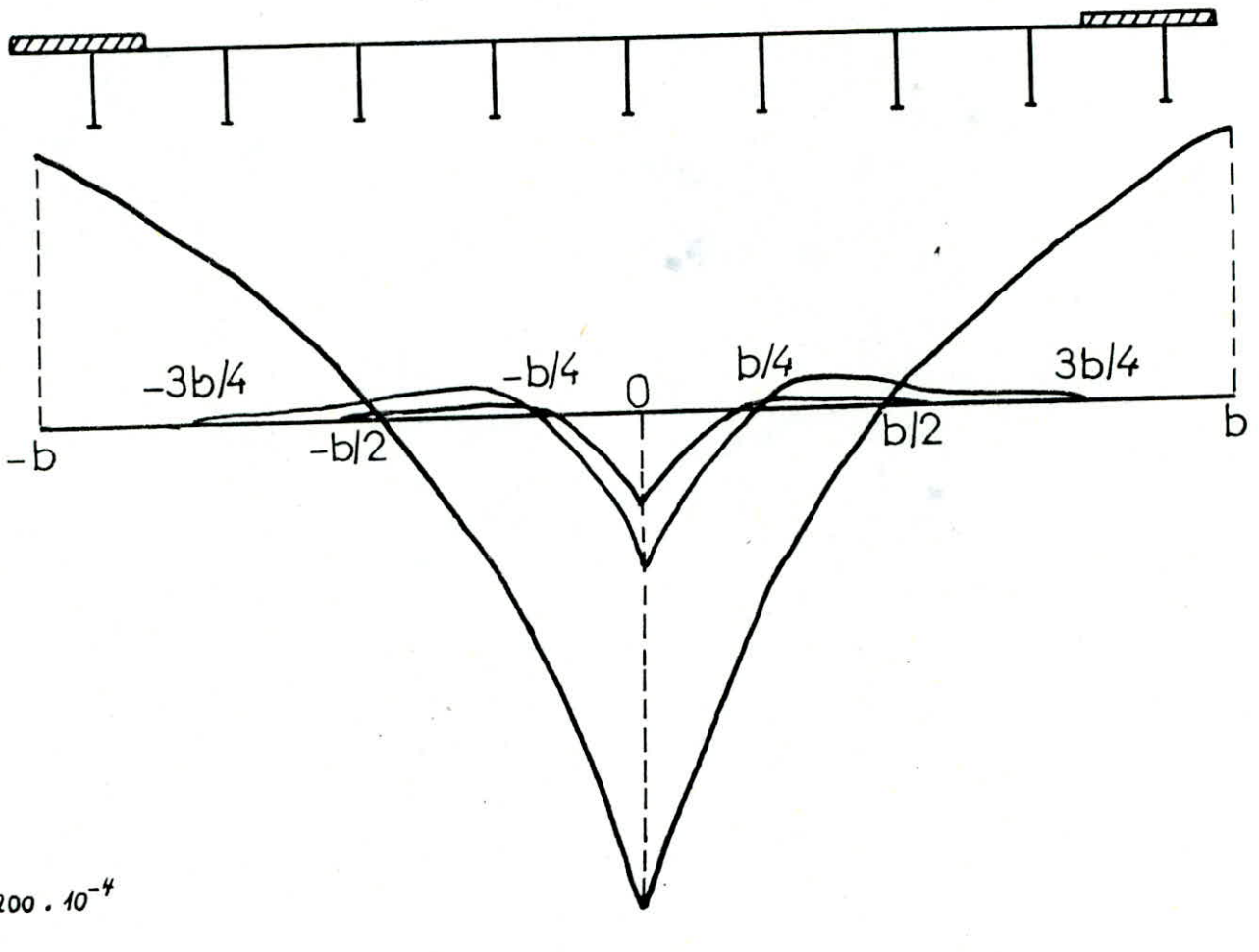
$$M_y = \sum_{m=1}^5 \mu_{K_m} \frac{4P}{\pi m} b \sin \frac{m\pi x}{l} \quad \text{avec } x = l/2$$

* pour une charge répartie uniformément sur une distance (Mc120; C0)

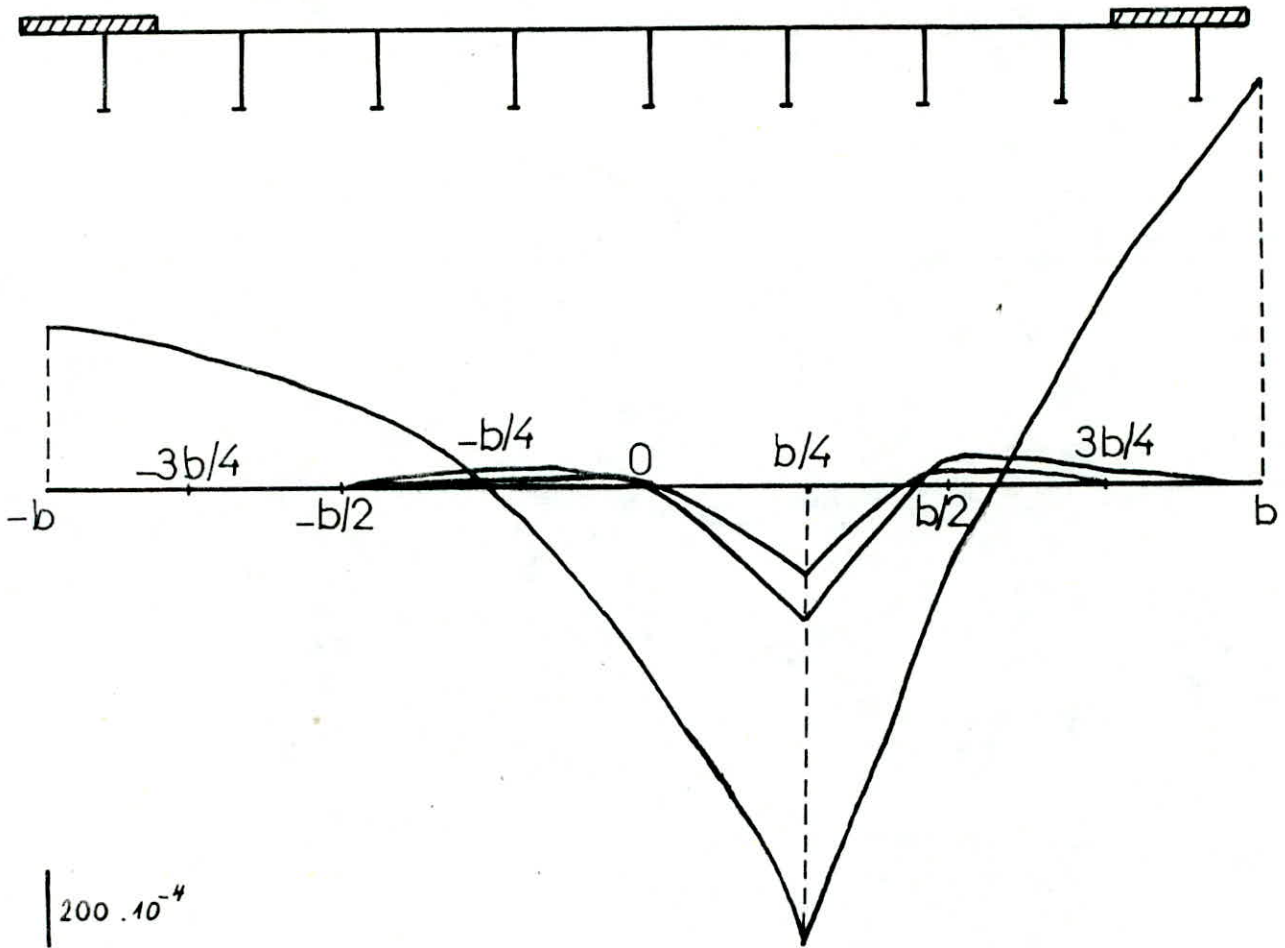
$$M_y = \frac{4P}{\pi} \cdot b \cdot \sum_{m=1}^5 \frac{1}{m} \mu_{K_m} \cdot \sin \frac{m\pi c}{l} \cdot \sin \frac{m\pi d}{l} \cdot \sin \frac{m\pi x}{l}$$



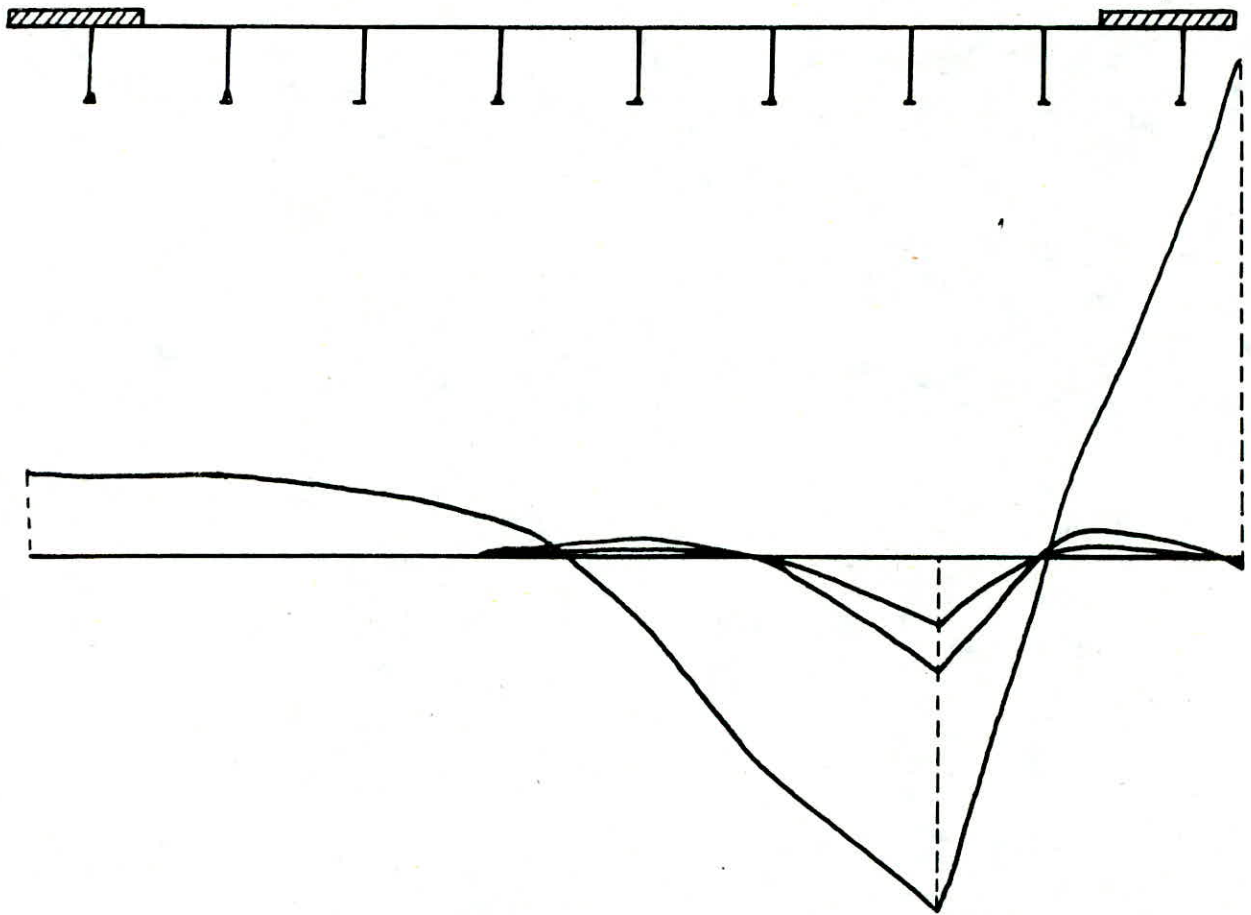
POUTRE $Y=0$



POUTRE $\gamma=1.45$

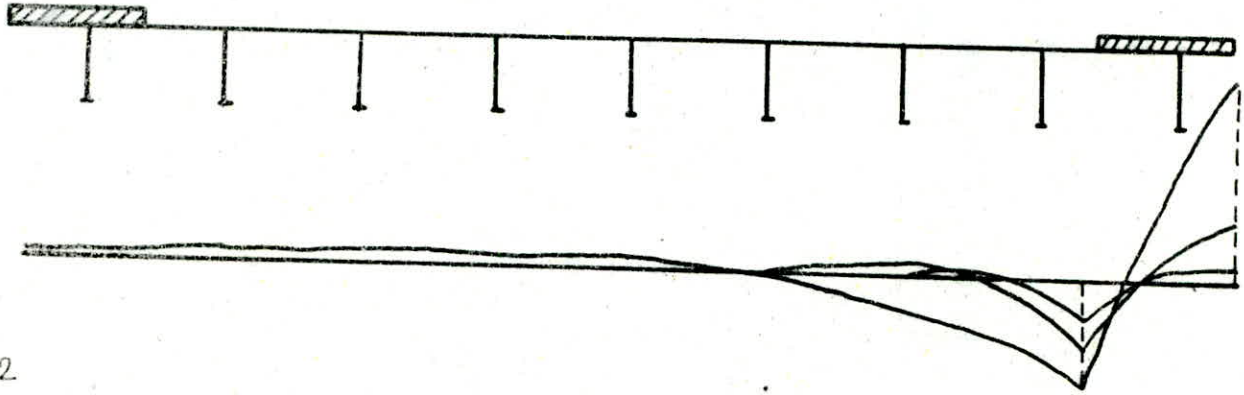


POUTRE : $\gamma = 2,9$

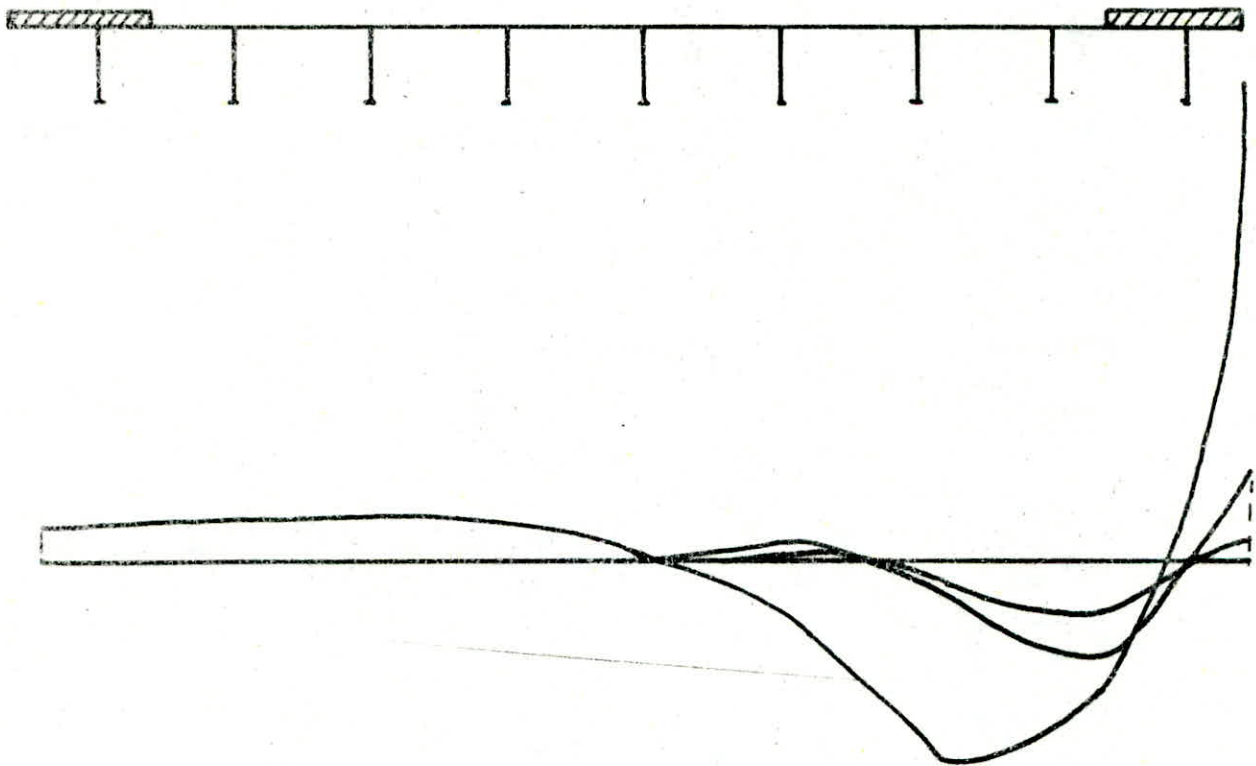


1,02

POUTRE $\gamma = 5,8$

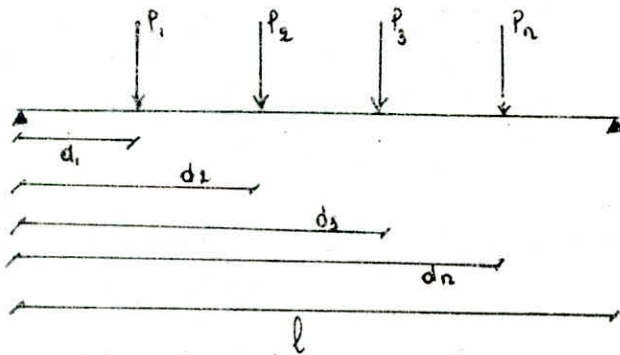


POUTRE $\gamma = 4,35$



• Pour un système de charges concentrées (B_r, B_c, B_t)

$$M_y = \frac{l}{2} b \sum_{m=1}^s \sum_{n=1}^r P_i M_{x m} \cdot \sin m \frac{\pi d_i}{l} \cdot \sin \frac{m \pi x}{l}$$



Les résultats donnant la valeur des moments sont regroupés dans le tableau suivant:

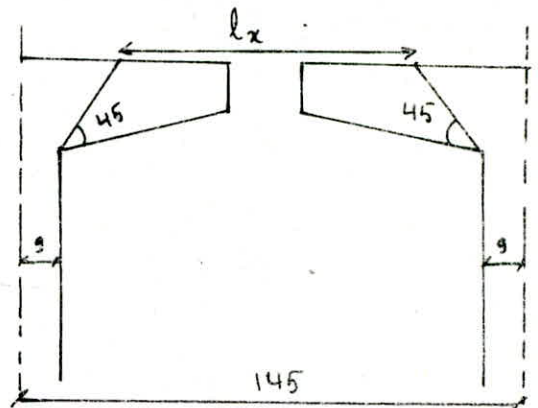
	Trottoir		A(l)			Bc			B _r	B _t		M _{c120}	C ₀
	1 trottoir charge	2 trottoirs chargés	1 voie chargée	2 voies chargées	3 voies chargées	1 convoi	2 convois	3 convois	/	1 tandem	2 tandem		
M _y ⁺	/	/	1,727	1,861	1,227	1,592	2,663	1,825	0,816	1,179	1,636	2,982	2,65
M _y ⁻	0,161	0,209	0,749	0,451	/	0,457	0,913	/	/	0,186	0,374	/	/

II Flexion locale

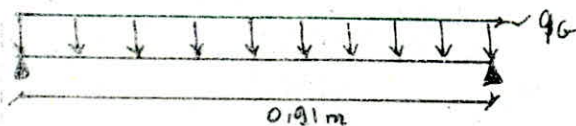
$$l_x = 145 - 2(18 + 9) = 91 \text{ cm}$$

$$\beta = \frac{l_x}{l_y} = \frac{0,91}{31,96} = 0,029 < 4 \Rightarrow \text{dalle appuyée sur 2 côtés}$$

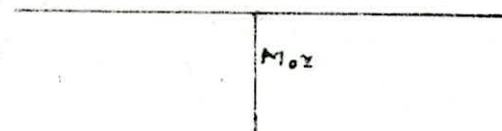
Le panneau intermédiaire fera l'objet de notre calcul afin d'assurer la continuité



2.1 Calcul des effets sous charges permanentes



$$q_G = (0,2 \times 2,5 + 0,11 \times 2,2) \times 1 \text{ m} = 0,74 \text{ t/ml}$$



$$M_{0x} = q_G \cdot \frac{l_x^2}{8} = 0,74 \cdot \frac{0,91^2}{8} = 0,077 \text{ t.m}$$

$$T_{0x} = q_G \cdot \frac{l_x}{2} = 0,74 \cdot \frac{0,91}{2} = 0,338 \text{ t}$$

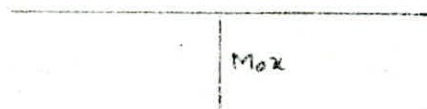
2.2 Sous surcharges A(l)

$$q_A = 0,822 \times 1 = 0,822 \text{ t/ml}$$



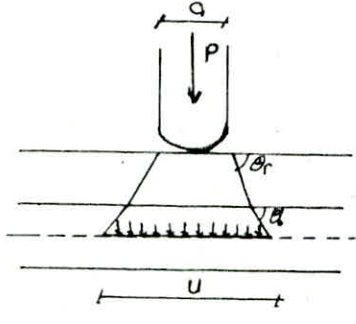
$$M_{0x} = q_A \cdot \frac{l_x^2}{8} = 0,085 \text{ t.m}$$

$$T_{0x} = q_A \cdot \frac{l_x}{2} = 0,338 \text{ t}$$



2-3 Sous surcharges B

lorsqu'une surcharge localisée s'exerce sur la dalle, les contraintes dues à cette surcharge sont diffusées dans le plan moyen (situé à mi-hauteur de la dalle)



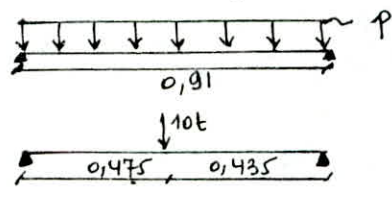
- e_r : épaisseur du revêtement
- e_0 : // de la dalle
- θ_r : angle de diffusion dans le revêtement
- θ_0 : // // // // la dalle
- a : largeur d'impact
- u : largeur d'impact après diffusion

2.3.1 Sous Br :

$$U = 0,6 + 1,5 \times 0,1 + 0,2 = 0,95 \text{ m}$$

$$V = 0,3 + 1,5 \times 0,1 + 0,2 = 0,65 \text{ m}$$

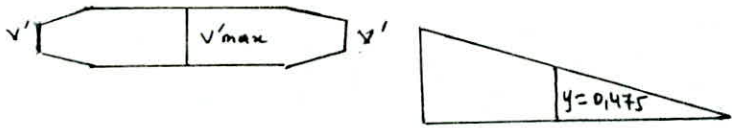
$$V'_{max} = V + \frac{lx}{3} = 0,65 + \frac{0,91}{3} = 0,95 \text{ m}$$



$$p = \frac{P}{U \times V} \times 1 \text{ m} = \frac{10}{0,95 \times 0,65} \times 1 = 11,08 \text{ t/m}$$

$$M_{0x} = p \frac{lx^2}{8} = 11,08 \times \frac{0,91^2}{8} = 1,15 \text{ t.m}$$

$$T_{0x} = \sum \frac{P_i \cdot y_i}{V' \cdot x_i} = \frac{10 \times 0,475}{0,95} = 5,04 \text{ t}$$

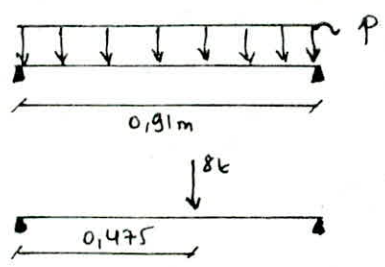


2.3.2 Sous bt :

$$U = 0,6 + 1,5 \times 0,1 + 0,2 = 0,95 \text{ m}$$

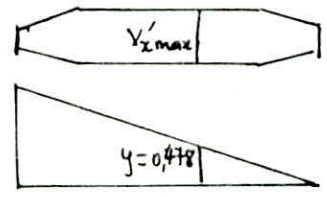
$$V = 0,25 + 1,5 \times 0,1 + 0,2 = 0,6 \text{ m}$$

$$V' = V + \frac{lx}{3} = 0,6 + \frac{0,91}{3} = 0,9 \text{ m}$$



$$p = \frac{P}{U \cdot V'} \times 1 \text{ m} = \frac{8}{0,95 \times 0,9} \times 1 = 9,36 \text{ t/m}$$

$$T_{0x} = \sum \frac{P_i \cdot y_i}{V' \cdot x_i} = \frac{8 \times 0,478}{0,9} = 4,97 \text{ t}$$

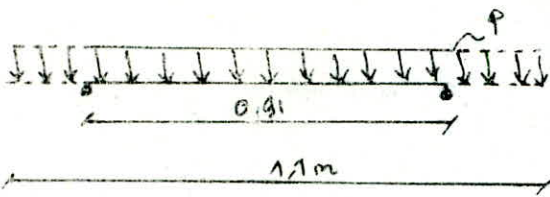


2.3.3 Sous Bc

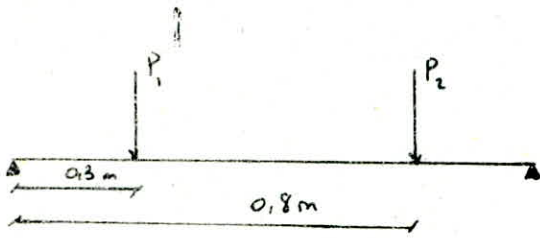
$$U = d + a + 1,5e_r + e_0 = 0,5 + 1,5 \times 0,1 + 0,2 = 1,1 \text{ m}$$

$$V = b + 1,5e_r + e_0 = 0,25 + 1,5 \times 0,1 + 0,2 = 0,6 \text{ m}$$

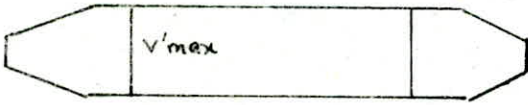
$$V' = V + \frac{lx}{3} = 0,6 + \frac{0,91}{3} = 0,9 \text{ m}$$



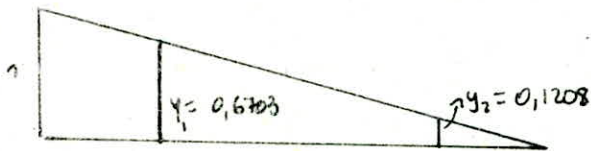
$$p = \frac{2P}{u \cdot v'} \cdot x' = \frac{2 \times 6}{1.1 \times 0.9} = 12.12 \text{ t/ml}$$



$$M_{\max} = P \frac{l x^2}{8} = 12.12 \times \frac{0.9^2}{8} = 1.25 \text{ t.m}$$



$$T_{\text{ox}} = \sum \frac{P_i y_i}{V_{x_i}} = \frac{6}{0.9} (0.6708 + 0.1208) = 5.28 \text{ t}$$



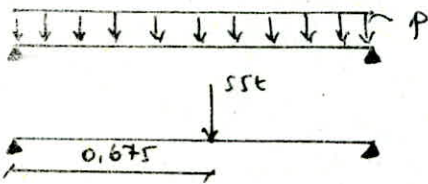
2.4 Sous surcharges militaires

2.4.1 Sous Me120 :

$$u = a + 1.5 e_r + e_o = 1 + 1.5 \times 0.1 + 0.2 = 1.35 \text{ m}$$

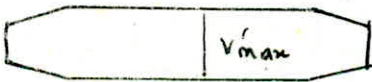
$$v = b + 1.5 e_r + e_o = 6.1 + 1.5 \times 0.1 + 0.2 = 6.45 \text{ m}$$

$$v' = v + \frac{l x}{3} = 6.75 \text{ m}$$



$$p = \frac{P}{u \cdot v'} \cdot x' = \frac{55}{1.35 \times 6.75} = 6.04 \text{ t/ml}$$

$$M_{\max} = p \frac{l x^2}{8} = 0.625 \text{ t.m}$$



$$T_{\text{ox}} = \sum \frac{P_i y_i}{V_{x_i}} = \frac{55 \times 0.7417}{6.75} = 6.04 \text{ t}$$

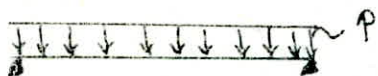


2.4.2 Sous Me120

$$u = a + 1.5 e_r + e_o = 4 + 1.5 \times 0.1 + 0.2 = 4.35 \text{ m}$$

$$v = b + 1.5 e_r + e_o = 0.15 + 1.5 \times 0.1 + 0.2 = 0.5 \text{ m}$$

$$v' = v + \frac{l x}{3} = 0.8 \text{ m}$$



$$p = \frac{P}{u \cdot v'} \cdot x' = \frac{33}{4.35 \times 0.8} = 9.48 \text{ t/ml}$$

$$M_{\max} = p \frac{l x^2}{8} = 9.48 \times \frac{0.91^2}{8} = 0.98 \text{ t.m}$$

$$T_{\text{ox}} = p \frac{l x}{2} = 9.48 \times \frac{0.91}{2} = 4.31 \text{ t}$$

2.5 Sous surcharge exceptionnelle: C_0

$$U = a + 1,5e_r + e_o = 3,8 + 1,5 \times 0,1 + 0,2 = 3,55 \text{ m}$$

$$V = b + 1,5e_r + e_o = 18,6 + 1,5 \times 0,1 + 0,2 = 19,25$$

$$V' = V + \frac{l_x}{3} = 19,25 \text{ m}$$

$$P = \frac{P}{U \cdot V'} = \frac{240}{3,55 \times 19,25} \times 1 = 3,51 \text{ t/m}$$



$$M_{0x} = P \frac{l_x^2}{8} = 0,36 \text{ t.m}$$

$$T_{0x} = P \frac{l_x}{2} = 1,6 \text{ t}$$

2.6 Coefficient de majoration dynamique: δ

Surcharge	b_c	b_t	b_2	M_{c120}	M_{e120}
δ	1,199	1,104	1,058	1,097	1,081

On prend par la flexion locale :

Suivant l_x : $M_{tx} = 0,8 M_{0x}$ moment en travée du panneau de la dalle
 $M_{ax} = 0,5 M_{0x}$ // à l'appui = = = = =

Suivant l_y : $M_{ty} = \frac{1}{4} M_{tx}$

$$M_{ay} = \frac{1}{4} M_{ax}$$

les combinaisons des effets se fera selon les 2 critères ci-dessous :

Surcharge civil :

$G + 1,2S$ avec G : poids permanent ; S = surcharge

surcharge militaire en exceptionnelle :

$G + S$

Les résultats sont regroupés dans le tableau ci après en ayant tenu compte du coefficient de majoration dynamique.

		G	A(l)	B _r	B _c	B _t	M _{c120}	CD
Flexion locale	M _t	0,062	0,068	0,973	1,011	0,855	0,63	0,288
	M _a	0,038	0,042	0,608	0,632	0,534	0,390	0,180
	T _x	0,338	0,374	5,33	5,99	2,48	6,04	1,6
Flexion globale	M ⁺	/	1,861	0,862	2,98	1,806	2,98	2,65
	M ⁻	/	0,749	/	1,01	0,413	/	/
M	M _t	0,062	1,929	1,835	3,991	2,661	3,61	2,938
	M _a	0,338	0,791	0,608	1,642	0,947	0,39	0,18
G + 1,2S	M _t	/	2,377	2,264	4,851	3,255	3,671	3
G + S	M _a	/	0,386	0,768	2,008	1,174	0,428	0,218
	T	/	0,787	6,734	7,526	3,314	6,378	1,938

III Ferrailage

3-1 armatures inferieures

Selon lx : $M_x = 4,85 \text{ t.m}$

$$h = h_t - 2 = 20 - 2 = 18 \text{ cm}$$

$$\mu = \frac{15M}{\bar{\sigma}_a b h^2} = \frac{15 \times 4,85 \cdot 10^5}{2800 \times 100 \times 18^2} = 0,082 \Rightarrow \begin{cases} \varepsilon = 0,8819 \\ k = 24,5 \end{cases}$$

$$A_{tx} = \frac{M}{\bar{\sigma}_a \varepsilon h} = \frac{4,85 \cdot 10^5}{2800 \cdot 0,8851 \times 18} = 10,87 \text{ cm}^2 \Rightarrow 6T16$$

Condition de non fissuration :

$$\sigma_1 = \frac{k \eta}{\beta} \frac{\bar{\omega} f}{1 + 10 \bar{\omega} f}$$

$$k = 1,6 \cdot 10^6$$

$$\bar{\omega} f = \frac{A}{2db} = 0,0195$$

$$\sigma_2 = 2,4 \sqrt{\frac{k h}{\beta} \bar{\sigma}_b}$$

$$\sigma_1 = 1449,56 \text{ kg/cm}^2$$

$$\sigma_2 = 2078 \text{ kg/cm}^2 \Rightarrow \bar{\sigma}_a = \text{Min}(2800, \text{Max}(\sigma_1, \sigma_2)) = 2078 \text{ kg/cm}^2$$

$$\Rightarrow \mu = \frac{15M}{\bar{\sigma}_a b h^2} = 0,1081 \Rightarrow \varepsilon = 0,8701$$

$$\Rightarrow A = 14,9 \text{ cm}^2 \Rightarrow A_{tx} = 8T16 / \text{ml}$$

Selon ly :

$$A_y = \frac{A_{xt}}{4} = 3,72 \Rightarrow 5T10 / \text{ml}$$

3-2 armatures superieures

Selon lx : $M_{ax} = 2 \text{ t.m}$

$$\mu = \frac{15M}{\bar{\sigma}_a b h^2} = 0,0331 \Rightarrow \varepsilon = 0,9216$$

$$A = \frac{M}{\bar{\sigma}_a \varepsilon h} = 3,9 \text{ cm}^2 \Rightarrow 5T10 / \text{ml}$$

Selon ly : $A_{ay} = A_{ax} = 5T10 / \text{ml}$

IV Vérifications

4-1 Vérification au cisaillement :

$$\tau_b = \frac{T}{b \cdot z} < \bar{\tau}_b \quad \bar{\tau}_b = 1,15 \bar{\sigma}_b = 8,8$$

$$T = 7,526 \text{ t}$$

$$\tau_b = \frac{7,526}{100 \cdot \frac{7}{8} \cdot 18} = 4,78 \text{ kg/cm}^2 < \bar{\tau}_b$$

4-2 Vérification au poinçonnement :

$$\text{pour les charges concentrées : } \frac{1,5 P}{P_c \cdot h_t} \leq 1,2 \bar{\sigma}_b = 9,18 \text{ kg/cm}^2$$

P : valeur de la charge concentrée localisée

h_t : épaisseur de la dalle $h_t = 20 \text{ cm}$

P_c : périmètre du contour de diffusion sur le plan moyen de la dalle

- cas de charge Br :

$$\left. \begin{array}{l} P_c = 2(u+v) = 2(95+65) = 320 \text{ cm} \\ P = 10 \text{ t} \end{array} \right\} \Rightarrow \frac{1,5P}{P_c \cdot h t} = \frac{1,5 \cdot 10^4}{320 \cdot 20} = 2,34 \text{ kg/cm}^2 < 1,2 \bar{\sigma}_b$$

- cas de la charge Bt

$$\left. \begin{array}{l} P_c = 2(u+v) = 2(95+60) = 310 \text{ cm} \\ P = 8 \text{ t} \end{array} \right\} \Rightarrow \frac{1,5P}{P_c \cdot h t} = \frac{1,5 \cdot 8 \cdot 10^3}{310 \cdot 20} = 1,93 \text{ kg/cm}^2 < 1,2 \bar{\sigma}_b$$

- Cas de la charge Bc :

$$\left. \begin{array}{l} P_c = 2(u+v) = 2(60+60) = 240 \text{ cm} \\ P = 6 \text{ t} \end{array} \right\} \Rightarrow \frac{1,5P}{P_c \cdot h t} = \frac{1,5 \cdot 6 \cdot 10^3}{240 \cdot 20} = 1,87 \text{ kg/cm}^2 < 1,2 \bar{\sigma}_b$$

4.3 Condition de non fragilité

La section d'armature inférieure suivant lx, doit être supérieure ou égale à

$$A \gg \max \left\{ A_0, \min(A_1, A_2) \right\} \quad \text{avec} \quad A = \text{section d'armature qui résiste aux sollicitations}$$

$$A_1 = 1,2 A_0$$

$$A_2 = 0,69 \frac{\bar{\sigma}_b}{\bar{\sigma}_{en}} b h \frac{2-\rho}{2} \quad \left. \vphantom{A_2} \right\} \text{ suivant } l_x$$

$$A_2 = 0,69 \frac{\bar{\sigma}_b}{\bar{\sigma}_{en}} b h \frac{1+\rho}{4} \quad \left. \vphantom{A_2} \right\} \text{ suivant } l_y$$

$$A_2 = 2,21 \text{ cm}^2 \Rightarrow A \gg A_0 \quad \text{donc la condition est vérifiée}$$

4.4 Vérification à l'adhérence

$$\bar{\sigma}_d = 2,5 \gamma_d \bar{\sigma}_b = 2,5 \times 1,5 \times 7,5 = 28,12 \text{ kg/cm}^2$$

calcul de τ_d

$$\tau_d = \frac{T}{n \rho_x 3x} = \frac{7,52 \cdot 10^3}{8 \cdot 17 \times 1,6 \cdot \frac{7}{8} \cdot 18} = 11,88 \text{ kg/cm}^2 < \bar{\sigma}_d$$

ETUDE de la PRECONTRAINTE

INTRODUCTION :

Qu'est ce que la précontrainte : le béton armé est un matériau hétérogène formé de 2 constituants le béton et l'acier. Chacun de ces matériaux a un rôle de résistance, le béton résiste à la compression et les aciers reprennent les efforts de traction.

Le béton précontraint n'est pas un matériau mixte, c'est un matériau que l'on a rendu homogène sur le plein fonctionnement grâce à un traitement mécanique préalable, apte à résister aux deux sens de sollicitations (compression et traction).

Ce traitement mécanique consiste à soumettre à l'avance le béton à des contraintes de compression dans les zones qui seront ultérieurement tendues.

Précontrainte par post tension :

La précontrainte par post-tension consiste à tendre les armatures en prenant appui sur la pièce à précontrainte.

Ancrages :

Les ancrages sont destinés à transmettre au béton, les forces extérieures dans les armatures, sur une surface de répartition tel que le béton localement puisse résister à la contrainte de compression correspondante.

Hypothèses de calcul :

Au cours de la déformation d'une poutre sous l'action d'un système quelconque de forces extérieures, toute section normale à la ligne moyenne reste plane et conserve ses dimensions quand on est dans la limite des contraintes élastiques.

Il s'en suit une répartition linéaire des contraintes, en conséquence les règles habituelles de la R.D.M, en particulier celle de la flexion composée sont applicables.

contrairement au B.A matériau hétérogène, le béton précontraint sera considéré comme un matériau homogène non fissuré.

Disposition des cables :

Pour les sections fortement sollicitées en flexion, les cables doivent être excentrés et groupés au maximum.

Les cables doivent être disposés de façon à assurer :

Le bétonnage jusqu'au fond du coffrage et la parfaite vibration.

Chaque gaine doit être bien enrobée afin de protéger le cable contre la corrosion et d'assurer l'adhérence des gaines au béton.

Relevage des cables :

Notre étude porte sur des poutres isostatiques appuyées simplement par conséquent le moment de flexion est maximum dans la section médiane et tend vers zéro en s'approchant des appuis on diminue les excentricités en relevant des cables avant d'atteindre la section d'about où le moment des charges extérieures est nul.

souvent dans les ouvrages en béton précontraint, les contraintes dans le béton en charge sont moins élevées qu'à vide, par conséquent on doit étudier non seulement l'ouvrage sous les surcharges maximales mais aussi le cas à vide.

Il convient, par ailleurs, de l'étudier également en phase de construction.

Calcul des différentes contraintes

a/ Service à vide : $\sigma = \sigma_p + \sigma_G$ fibre supérieure

$$\sigma' = \sigma'_p + \sigma'_G \text{ fibre inférieure}$$

b/ Service en charge : $\sigma = \sigma_p + \sigma_G + \sigma_Q$ fibre supérieure

$$\sigma' = \sigma'_p + \sigma'_G + \sigma'_Q \text{ fibre inférieure}$$

Dans les 2 cas on doit avoir : $\bar{\sigma}' \leq \sigma \leq \bar{\sigma}$
 $\bar{\sigma}' \leq \sigma' \leq \bar{\sigma}$

Dans notre cas la poutre la plus sollicitée est la poutre qui est au milieu dans le sens transversale du tablier

Contraintes élémentaires de flexion dans le béton.

- moment fléchissant sous le poids propre : $M_G = 289,63 \text{ t.m}$

- moment fléchissant sous les surcharges : $M_Q = 265,89 \text{ t.m}$

les caractéristiques de la section médiane sont :

$$I_G^{\text{net}} = 26223440,4 \text{ cm}^4 ; i^2 = 3168,82 \text{ cm}^2 ; S_G^{\text{net}} = 871607 \text{ cm}^3 ; B_{\text{net}} = 8275,45 \text{ cm}^2 ;$$

$$v_i = 105,32 \text{ cm} ; v_s = 64,68 \text{ cm}$$

* Sous charges permanentes :

$$M_G = 289,63 \text{ t.m} ; \text{ fibre supérieure} \Rightarrow \sigma_G = \frac{M_G \cdot v_s}{I} = \frac{289,63 \times 63,68 \times 10^5}{26223440,4} = 71,44$$

$$\text{fibre inférieure} \Rightarrow \sigma'_G = -\frac{M_G \cdot v_i}{I} = -\frac{289,63 \times 105,32 \times 10^5}{26223440,4} = -116,32$$

* Sous les surcharges :

$$M_Q = 265,89 \text{ t.m} ; \text{ fibre supérieure} \Rightarrow \sigma_Q = \frac{265,89 \times 64,48 \cdot 10^5}{26223440,4} = 65,38 \text{ kg/cm}^2$$

$$\text{fibre inférieure} \Rightarrow \sigma'_Q = -\frac{265,89 \times 105,32 \times 10^5}{26223440,4} = -106,79 \text{ kg/cm}^2$$

La force de précontrainte doit être calculée de telle façon qu'elle provoque une compression au moins égale à la traction des fibres inférieures

$$\sigma_p' \geq -(\sigma'_G + \sigma'_Q) = -(116,32 + 106,79) = -223,11 \text{ kg/cm}^2$$

Comme la section soumise à la force de précontrainte travaille en flexion composée avec N comme effort normal et e comme excentricité pour cela on aura pour contraintes

$$\text{fibre supérieure : } \sigma_p = \frac{N}{B} + N \cdot e \cdot v_s \Rightarrow \sigma_p = \frac{N}{B} \left(1 + \frac{e \cdot v_s}{i^2}\right)$$

$$\text{fibre inférieure : } \sigma_p' = \frac{N}{B} - N \cdot e \cdot v_i \Rightarrow \sigma_p' = \frac{N}{B} \left(1 - \frac{e \cdot v_i}{i^2}\right)$$

$$\text{On doit respecter : } \sigma_p' \geq (\sigma'_G + \sigma'_Q) \Rightarrow \frac{N}{B} \left(1 - \frac{e \cdot v_i}{i^2}\right) \geq 223,11 \Rightarrow N \geq 442,97 \text{ t}$$

On estime que les pertes de tension sont de 25% donc ce qui nous donnera

$$P_0 = 1,25 \times 442,97 = 553,71 \text{ t}$$

Données du constructeur :

$$R_g = 18500 \text{ kg/cm}^2 ; T_g = 14800 \text{ kg/cm}^2 ; W = 9,73 \text{ cm}^2$$

$$\text{On a } \sigma_0 = \min(0,85 R_g ; 0,95 T_g) \Rightarrow \sigma_0 = 14060 \text{ kg/cm}^2 \Rightarrow n = \frac{P_0}{W \cdot \sigma_0}$$

On trouve $n = 4,047$

on prend donc 4 cables du type 7T15 III TBR, DYWIDAG

Le nombre total des cables pris est égal à 4 ; pour cela on laisse filer 2 cables jusqu'à la section d'about et on relève les deux autres .

Dans la section mediane on affecte aux cables une excentricité maximale .

Dans la section d'about le centre de gravité de la section et le centre de gravité des cables sont confondus pour éviter la creation de moment parasite dû à la précontrain

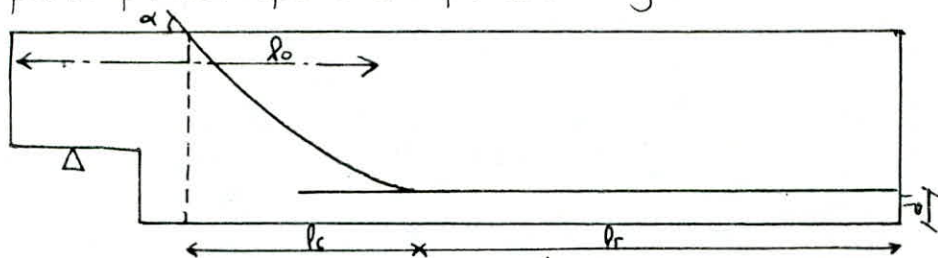
Angle de relevage $0^\circ < \alpha < 90^\circ$ pour les cables d'about

et $\alpha = 24,23^\circ$ pour les cables émergents

Rayon de combine des cables :

$R \gg 800 \phi$ avec $\phi =$ diamètre du fil constituant le cable . Les cables présentent

une partie parabolique et une partie rectiligne



La zone de relevage des cables est définie par la longueur l_0

$$\frac{l}{4} \leq l_0 \leq \frac{l}{3} \quad (l = \text{portée de la poutre})$$

$$7,89 \leq l_0 \leq 10,65 \quad \text{On prend } l_0 = 9 \text{ m}$$

L'équation de la partie parabolique s'écrit sous forme $y = ax^2 = f(x)$

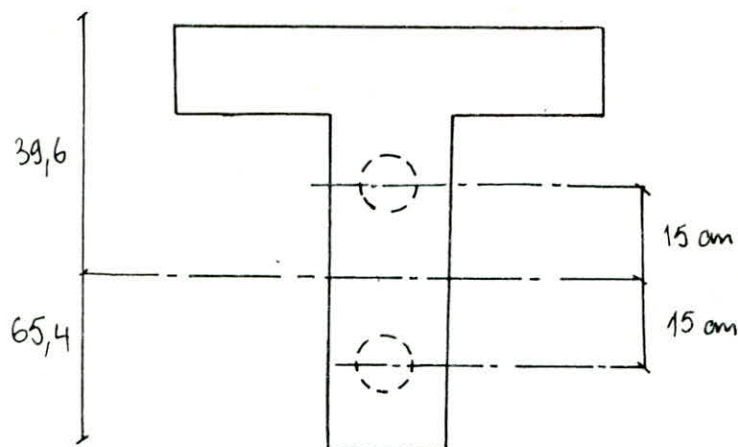
On a $x = l_c \Rightarrow y = al_c^2$ avec $y_c = v_c - d'$

$$f'(x) = 2ax \Rightarrow f'(l_c) = 2al_c = \tan \alpha \Rightarrow a = \frac{\tan \alpha}{2l_c} \Rightarrow l_c = \frac{2y_c}{\tan \alpha}$$

Coordonnées des cables émergents ① et ②

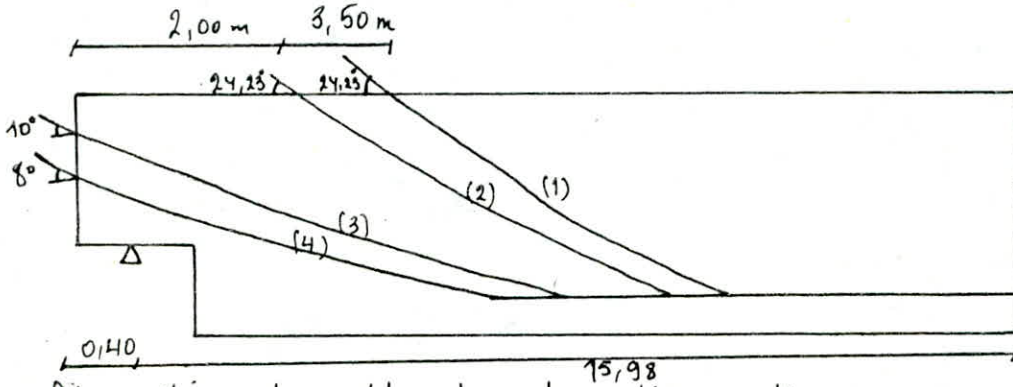
Cables	α°	d' (cm)	d_i (m)	d_c (m)	a (m^{-1})
1	24,23	13,1	4,4	6,08	$3,699 \cdot 10^{-2}$
2	24,23	6,5	7,6	6,38	$3,527 \cdot 10^{-2}$

Cables d'about :



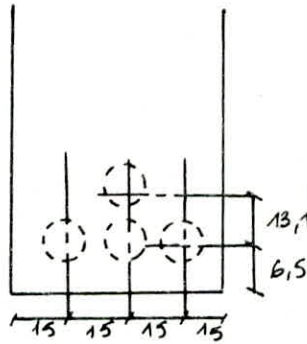
Coordonnées des cables d'about 32

Cables	α°	d' (cm)	d_c (m)	d_i (m)	a (m ⁻¹)
3	10	6,5	8,37	8,01	$1,05 \cdot 10^{-2}$
4	8	6,5	6,23	10,15	$1,3 \cdot 10^{-2}$



Disposition des cables dans la section mediane

Les cables sont groupés et présentent une excentricité



Tracé du cable équivalent

On doit disposer convenablement les cables afin que les contraintes dues à la précontrainte et aux charges et surcharges prises en somme ne doivent pas dépasser les contraintes admissibles dans n'importe quelle section de la poutre

Calcul des caractéristiques géométriques nettes des sections et des excentricités du cable équivalent dans chaque section.

C'est la section poutre + dalle qui est prise en compte

$$S_{net}^{\Delta} = B_{net} \cdot v_i \Rightarrow v_i = \frac{S_{net}^{\Delta}}{B_{net}} = \frac{S_{br} - S_{\phi}}{B_{br} - B_{\phi}}$$

$$d' = \frac{\sum B_i(\phi) \cdot d_i}{\sum B_i(\phi)} ; S(\phi) = B(\phi) \cdot d' ; I_{\Delta}^{net} = I_{\Delta}^{br} - I_{\Delta}(\phi) \text{ avec } I_{\Delta}(\phi) = I_0(\phi) + (\sum B_i(\phi) \cdot d_i^2)$$

$$\Rightarrow I_G^{net} = I_{\Delta}^{net} - S_{net}^{\Delta} \cdot v_i ; v_s = h_t - v_i$$

Avec : S_{br} : moment statique de la section brute par rapport à la fibre inférieure (axe Δ)

$S(\phi)$: moment statique des trous par rapport à la fibre inférieure

B_{net} : Section nette

B_{br} : section brute

$B(\phi)$: Section des trous

$I_{\Delta}^{br}, I_{\Delta}^{net}$: moment d'inertie respectivement de la section brute et section nette par rapport à la fibre inférieure

I_G^{net} : moment d'inertie de la section nette par rapport à la fibre passant par le C.d.g de la section nette.

V_s ; V_i distance respectivement entre le C.d.g de la section nette et la fibre supérieure et le C.d.g de la section nette et la fibre inférieure.

Exemple de Calcul

Section d'about

Cables	α_i	z_i (cm)	$\cos \alpha_i$	$z_i \cos \alpha_i$	d_i (cm)
1	—	—	—	—	—
2	—	—	—	—	—
3	10	12,85	0,9848	12,65	80,3
4	8	-17,15	0,99	-16,98	50,3

Ce qui nous donne $\bar{z} = \frac{\sum z_i \cos \alpha_i}{\sum \cos \alpha_i} = -2,10$ cm

$$z_i = d_i' - V_i, \quad e = -V_i + d' \Rightarrow V_i = 67,45 \text{ cm}; \quad I_G = 10649151,39 \text{ cm}^4$$

$$e = -2,15; \quad i^2 = 1090,925 \text{ cm}^2$$

La récapitulation des résultats nous donne les valeurs des caractéristiques des sections

Sections	B_{nette} (cm ²)	V_s (cm)	V_i (cm)	I_G cm ⁴	e (cm)	d' (cm)
About	9761,576	37,55	67,45	10649151,39	-2,15	65,3
Juste avant l'émergence du câble n° 2	13627,36	68,02	101,98	34402287,16	-25,7	76,28
Juste après l'émergence du câble n° 2	13661,57	67,99	102,01	34402045,45	-62,58	39,43
Juste avant l'émergence du câble n° 1	8608,36	60,37	109,63	28723678,16	-55,44	54,19
Juste après l'émergence du câble n° 1	8574,15	60,21	109,79	28361034,05	-87,53	22,26
Section 1/4	8574,15	59,83	110,17	28049658,13	-89,97	20,2
Section médiane	8574,15	59,64	110,36	27734941,84	-102,21	8,15

1^{er} fuseau limite :

Coordonnées du noyau central

$$a = -\frac{i^2}{N_s} : \text{borne supérieure} \quad \text{et} \quad a' = -\frac{i^2}{V_i} : \text{borne inférieure}$$

les valeurs limites de l'excentricité de la précontrainte sont :

$$e_1 = a' - \frac{M_G}{N} \quad \text{et} \quad e_2 = a - \frac{M_G + M_\Phi}{N}$$

Deuxième fuseau limite

Les valeurs limites de l'excentricité du câble équivalent sont :

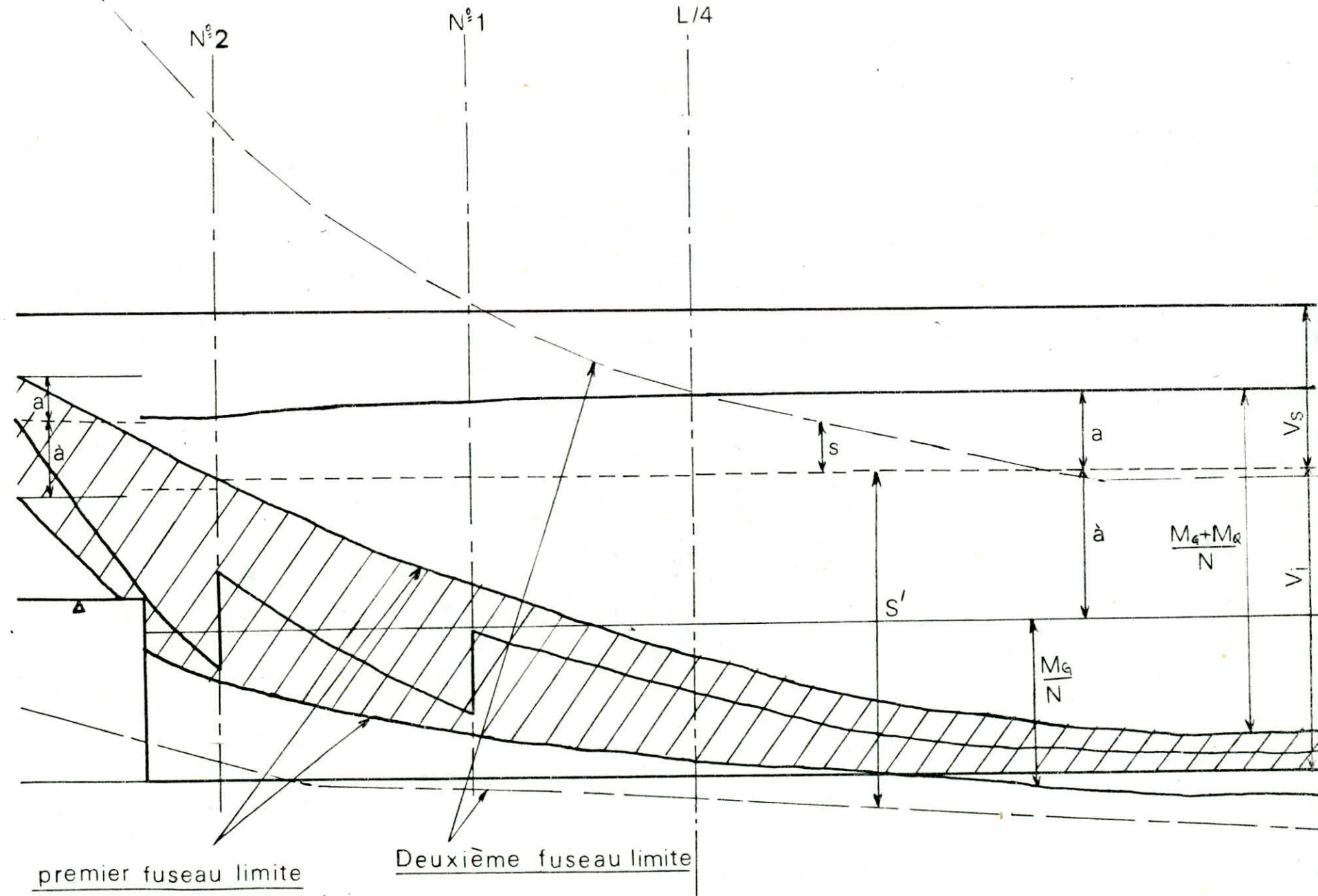
$$S_1 = \left(\frac{\bar{G}B}{N} - 1 \right) \frac{i^2}{V_s} - \frac{M_G + M_\Phi}{N} \text{ en charge}$$

$$S_2 = -\left(\frac{\bar{G}B}{N} - 1 \right) \frac{i^2}{V_i} - \frac{M_G}{N} \text{ à Vide}$$

Le tracé de ces deux fuseaux se limitera aux 3 sections (médiane, $\frac{L}{4}$, about).
 Les valeurs de e , e_2 , S et S' pour les sections : about, quart, médiane sont regroupées dans le tableau suivant, ces valeurs vont nous servir pour tracer le fuseau limite

Section	B (cm)	-a (cm)	a (cm)	N(t)	M_G (t.m)	$\frac{M_G}{N}$	$\frac{M_G+M_D}{N}$	S (cm)	S' (cm)	e_1 (cm)	e_2 (cm)	\bar{v}_B
about	9761,57	29,05	16,17	218,69	0	0	0	+188,53	-104,74	-29,05	16,17	7,49
quart	8574,15	54,6	29,69	439,16	217,22	49,46	94,87	29,79	-117,15	-104,14	-65,18	3,28
milieu	8574,15	54,2	29,31	442,97	289,63	65,38	125,4	-3,37	-131,33	-119,62	-96,09	3,25

fuseaux limites et cable equivalent



PERTE ET CHUTES DE TENSION

Deux cas de pertes accompagnent la précontrainte

Les pertes instantanées

- frottements
- Recule d'ancrage
- Raccourcissement instantané du béton

Les pertes différées

- fluage du béton
- Retrait du béton
- Relaxation des aciers

Evaluation des pertes

Pertes instantanées

Pertes par frottements : Ces pertes sont évaluées avec la relation suivante :

$$\Delta \sigma_{ff} = \sigma_0 [f \cdot \alpha + \varphi l]$$

avec f : coefficient de frottement câble gaine : $f = 0,23$

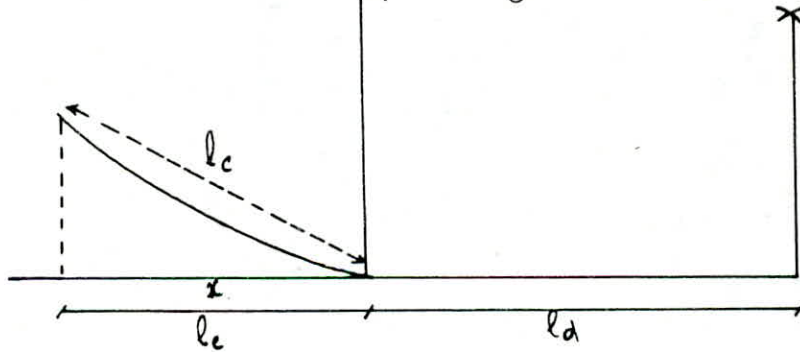
α : angle de relevage de câble gaine en rd

φ : coefficient de perte en ligne ; $\varphi = 0,0017$ rd/m

σ_0 : contrainte initiale à la mise en tension

$$\sigma_0 = \min(0,85 R_g, 0,95 \sigma_g) = 14060 \text{ kg/cm}^2$$

l : longueur du câble ; $l = l_d + l_c$



Calcul de l_c

$$l_c = \int ds = \int \sqrt{(dx)^2 + (dy)^2} = \int \sqrt{1 + (2ax)^2} dx \quad \text{Le tronçon } l_c \text{ est}$$

parabolique d'équation $y = ax^2 \Rightarrow dy = 2ax dx$

En effectuant un changement de variable

$$l_c = \frac{1}{4a} \left[\ln(2ax + \sqrt{1 + (2ax)^2}) + 2ax \sqrt{1 + (2ax)^2} \right]$$

Pertes par Frottement entre la section d'about et la section médiane

cables	α (°)	α (rad)	x (m)	l_c (m)	l_d (m)	l (m)	$\varphi \cdot l$	$f \cdot \alpha$	$\Delta \sigma_{fr}$ (kg/cm ²)
1	24,93	0,423	6,08	6,279	4,4	10,679	0,0185	0,0973	1623,22
2	24,93	0,423	6,38	6,589	7,6	14,189	0,0241	0,0973	1706,88
3	10	0,1745	8,37	8,423	8,01	16,433	0,0279	0,0401	956
4	8	0,1396	6,23	6,257	10,15	16,407	0,0278	0,0321	843,6

$\Delta \sigma_{fr}^{moy} = 1282,4 \text{ kg/cm}^2$

Pertes par frottement entre la section d'about et la section d'émergence du cable n° 2

cables	α (°)	α (rad)	x (m)	l_c (m)	l_d (m)	l (m)	$\varphi \cdot l$	$f \cdot \alpha$	$\Delta \sigma_{fr}$
1	-	-	-	-	-	-	-	-	-
2	-	-	-	-	-	-	-	-	-
3	7,62	0,133	6,37	6,39	0	6,39	0,01086	0,03059	582,8
4	6,27	0,1094	4,23	4,24	0	4,24	0,0072	0,0252	455,5

$\Delta \sigma_{fr}^{moy} = 519,17 \text{ kg/cm}^2$

Pertes par frottement entre la section d'about et la section d'émergence du cable n° 1

cables	α (°)	α (rad)	x (m)	l_c (m)	l_d (m)	l (m)	$\varphi \cdot l$	$f \cdot \alpha$	$\Delta \sigma_{fr}$
1	-	-	-	-	-	-	-	-	-
2	13,02	0,227	3,33	3,36	0	3,36	0,0057	0,0522	8,4
3	3,449	0,06	2,92	2,92	0	2,92	0,00496	0,0138	263,7
4	1,087	0,019	0,78	0,78	0	0,78	0,0013	0,0044	79,7

$\Delta \sigma_{fr}^{moy} = 385,8 \text{ kg/cm}^2$

Recul d'ancrage

$$x = \sqrt{\frac{\varphi \cdot E a}{\sigma_b \left(\frac{R_a}{e} + \varphi \right)}} \quad \text{et} \quad \Delta \sigma_{recul} = 2 \sigma_b \left[f \cdot \alpha + \varphi \right] \frac{x}{l} = \frac{2 \varphi}{x} E a$$

$$\Delta \sigma_{recul}(x) = \Delta \sigma_{recul} = \frac{x-x}{x} = 2 \varphi \cdot E a \frac{x-x}{x^2}$$

cables	x (m)	Section			
		about	2 m	5,5 m	mediane
1	10,15	-	-	1718	0
2	12,53	-	2535	1693	0
3	18,01	2099	1866	1458	178
4	19,17	1972	1766	1406	277

Raccourcissement instantané du béton

$$\Delta \sigma_{\text{racc}} = \frac{1}{2} \frac{E_a}{E_i} \sigma'_{bj} \quad \text{avec } \sigma'_{bj} = 110,4 \text{ kg/cm}^2$$

$$E_a = 2,1 \times 10^6 \text{ kg/cm}^2 ; E_i = 21000 \sqrt{\sigma'_{2r}} = 21000 \sqrt{400} = 420.000 \text{ kg/cm}^2$$

$$\text{On trouve } \Delta \sigma_{\text{racc}} = 276 \text{ kg/cm}^2$$

Pertes différées

$$\text{Fluage : } \Delta \sigma_{\text{fluage}} = 2 \times \frac{E_a}{E_i} \sigma'_{bj} = \frac{2 \times 2,1 \times 10^6}{420.000} \times 110,4 = 1104 \text{ kg/cm}^2$$

$$\text{Retrait : } \Delta \sigma_{\text{retrait}} = \epsilon_r \cdot E_a = 3,5 \cdot 10^{-4} \times 2,1 \times 10^6 = 735 \text{ kg/cm}^2$$

Relaxation des aciers :

$$\Delta \sigma_{\text{relax}} = \max \left\{ \begin{array}{l} \frac{2,4 \gamma_{1000}}{100} \times \frac{\sigma_{pi} - 0,55 R_g}{0,25 R_g} \sigma_{pi} \quad \gamma_{1000} = 3\% \\ \frac{\gamma_{3000} + 2,5}{100} \times \frac{\sigma_{pi} - 0,55 R_g}{0,25 R_g} \sigma_{pi} \quad \gamma_{3000} = 3,5\% ; R_g = 1850 \text{ kg/cm}^2 \end{array} \right.$$

$$\text{avec } \sigma_{pi} = \sigma_0 - \Delta \sigma_{\text{frott}} - \Delta \sigma_{\text{rec}} - \Delta \sigma_{\text{racc}}$$

$$\text{ou a : } \sigma_{pi} = \sigma_0 - \sum \Delta \sigma_{\text{instantanés}} \quad \text{avec } \sigma_0 = 14800 \text{ kg/cm}^2$$

$$\sigma_{pi} = 14800 - 1282,4 - 227,5 - 276 = 13014,1 \text{ kg/cm}^2 > 0,55 R_g = 10225 \text{ kg/cm}^2$$

$$\Delta \sigma_{\text{rel}} = \max \left\{ \begin{array}{l} 5,75 \text{ kg/cm}^2 \\ 202,5 \text{ kg/cm}^2 \end{array} \right. \Rightarrow \Delta \sigma_{\text{rel}} = 202,5 \text{ kg/cm}^2$$

l'IP2 propose de prendre les pertes différées égales à :

$$\Delta \sigma_{\text{diff}} = \begin{cases} \Delta \sigma_{\text{ret}} + \Delta \sigma_{\text{flu}} + \Delta \sigma_{\text{relax}} - \frac{\Delta \sigma_{\text{rel}} [\Delta \sigma_{\text{ret}} + \Delta \sigma_{\text{flu}}]}{\sigma_{pi} - 0,55 R_g} \\ \text{Si } \Delta \sigma_{\text{ret}} + \Delta \sigma_{\text{flu}} < \sigma_{pi} - 0,55 R_g \\ \Delta \sigma_{\text{ret}} + \Delta \sigma_{\text{flu}} \quad \text{Sinon} \end{cases}$$

On remarque que $\Delta \sigma_{\text{ret}} + \Delta \sigma_{\text{flu}} > \sigma_{pi} - 0,55 R_g$

$$\text{avec } \Delta \sigma_{\text{ret}} + \Delta \sigma_{\text{flu}} = 1839 \text{ kg/cm}^2 \quad \text{et } \sigma_{pi} - 0,55 R_g = 1017,5 \text{ kg/cm}^2$$

$$\text{Donc } \Delta \sigma_{\text{diff}} = \Delta \sigma_{\text{ret}} + \Delta \sigma_{\text{flu}} = 1839 \text{ kg/cm}^2$$

VERIFICATION DES CONTRAINTES NORMALES

Différentes phases d'exécution :

Les vérifications des contraintes se feront suivant les phases d'exécution ci-après

Phase 1 :

On coule la poutre au sol et une fois le béton durcit on tire les câbles (3) et (4), la section résistante est la section de la poutre seule, les contraintes prises en considération sont celles engendrées par :

- le poids propre de la poutre
- la précontrainte des deux premiers câbles mis en tension

Phase 2 :

Les poutres sont mises en place et la dalle coulée mais encore fraîche non résistante, les contraintes à prendre en compte :

- poids propre de la poutre, poids propre de la dalle et entretoise revenant à la poutre, la précontrainte résiduelle de la 1^{ère} série de câble.

Phase 3 :

La dalle a durci et participe à la résistance, la deuxième série de câbles est tirée, les contraintes prises en compte seront celles produites par :

- poids propre de la poutre, poids propre de la dalle et entretoise revenant à la poutre, précontrainte résiduelle de la première série de câble, précontrainte des deux câbles émergents mis en tension

Phase 4 :

Superstructure est mise en place (Trottoirs, garde corps...), les contraintes prises sont :

- poids propre de la poutre, poids propre de la dalle + entretoise revenant à la poutre, poids propre de la superstructure, précontraintes résiduelles des deux séries de câble

Phase 5 :

C'est une phase de vérification en service, on applique les surcharges qui engendrent les plus défavorables dans notre cas c'est le convoi exceptionnel C_D

Contrainte initiale de calcul

la vérification se fera pour la section médiane

$$\sigma_i = \sigma_p - \Delta \sigma_{pr} - \Delta \sigma_{recu} - \Delta \sigma_{acc}$$

Tout calcul fait pour la section médiane et pour tous les câbles on trouve

$$\sigma_i^{moy} = 13014,1 \text{ kg/cm}^2$$

Caractéristiques géométriques nettes de la section médiane

Section	B (cm ²)	I (cm ⁴)	i ² (cm ²)	V _s (cm)	V _i (cm)	e (cm)
poutre seule	5674,15	16837649,44	2967,43	65,01	84,99	-76,84
poutre + dalle	8574,15	27734941,84	3234,71	59,64	110,36	-102,4

Vérification des contraintes

Phase 1. $\sigma_0 = 13014,1 \text{ kg/cm}^2$

L'effet N de précontrainte des 2 cables d'about sera : $N = 2 \times \sigma_0 \times w$
 $= 2 \times 13014,1 \times 9,73 = 253254,38 \text{ kg}$

Contraintes dues à N sont :

$$\text{fibre supérieure : } \sigma_{P_s} = \frac{N}{B} \left(1 + \frac{e \times V_s}{i^2} \right) = \frac{253254,38}{5674,15} \left(1 - \frac{76,84 \times 65,01}{2967,43} \right) =$$

$$\text{fibre inférieure : } \sigma_{P_i} = \frac{N}{B} \left(1 - \frac{e \times V_i}{i^2} \right) = \frac{253254,38}{5674,15} \left(1 + \frac{76,84 \times 84,99}{2967,43} \right) = -20,5 \text{ kg/cm}^2 = 142,86 \text{ kg/cm}^2$$

Contraintes dues aux charges

$$\sigma' = \frac{M \cdot V}{I} \Rightarrow \left\{ \begin{array}{l} \text{fibre supérieure : } \sigma_s = \frac{M \cdot V_s}{I} = \frac{146,92 \times 65,01 \times 20^5}{16837649,44} = 56,72 \text{ kg/cm}^2 \\ \text{fibre inférieure : } \sigma_i = -\frac{M \cdot V_i}{I} = -\frac{146,92 \times 84,99 \times 10^5}{16837649,44} = -74,16 \text{ kg/cm}^2 \end{array} \right.$$

avec $M = \frac{q l^2}{8} = 146,92 \text{ t.m}$

On aura comme constantes effectives

$$\text{Fibre supérieure: } \sigma_s = -30,5 + 56,72 = 26,22 \text{ kg/cm}^2$$

$$\text{Fibre inférieure: } \sigma_f = 142,86 - 74,16 = 68,7 \text{ kg/cm}^2$$

A la fin de cette phase on considère qu'on a un tiers des pertes différées qui est consommé.

$$\text{Donc on aura } \sigma' = \sigma - \frac{1}{3} \sigma_{\text{diff}} = 13014,1 - \frac{1}{3} \times 1839 = 12401,1 \text{ kg/cm}^2$$

$$N' = 12401,1 \times 2 \times 9,73 = 241325,41 \text{ kg}$$

$$\Rightarrow \left. \begin{array}{l} \text{Fibre supérieure } \sigma_{ps} = -29,06 \text{ kg/cm}^2 \\ \text{Fibre inférieure } \sigma_{pf} = 136,13 \text{ kg/cm}^2 \end{array} \right\}$$

Les contraintes effectives seront:

$$\sigma_{fs} = 56,72 - 29,06 = 27,66 \text{ kg/cm}^2$$

$$\sigma_{fi} = -74,16 + 136,13 = 61,97 \text{ kg/cm}^2$$

Phase: 2,

Les cables d'about vont encore subir une perte estimée à $\frac{1}{3} \sigma_{\text{diff}}$

$$\text{La contrainte sera: } \sigma'' = 12401,1 - \frac{1}{3} \times 1839 = 11788,1 \text{ kg/cm}^2$$

$$N'' = 11788,1 \times 2 \times 9,73 = 229396,42 \text{ kg}$$

$$\text{Fibre supérieure: } \sigma_{ps} = -27,62 \text{ kg/cm}^2$$

$$\text{Fibre inférieure: } \sigma_{pf} = 129,4 \text{ kg/cm}^2$$

Le moment dû aux efforts extérieurs: $M = 244,46 \text{ t.m}$

$$\text{Les contraintes sont: } \sigma_s = 94,38 \text{ kg/cm}^2$$

$$\sigma_f = -123,39 \text{ kg/cm}^2$$

Les contraintes effectives: $\sigma_{fs} = 66,76 \text{ kg/cm}^2$

$$\sigma_{fi} = 6,01 \text{ kg/cm}^2$$

Phase: 3

La dalle participe à la résistance: Cable (1) et (2), $\sigma_c = 13014,1 \text{ kg/cm}^2 \Rightarrow N_1 = 253254,38$

$$\text{cable (3) et (4) } \left. \begin{array}{l} \sigma' = 11788,1 - \frac{1}{3} \times 1839 = 11175,1 \text{ kg/cm}^2 \\ \Rightarrow N_1' = 217467,446 \text{ kg} \end{array} \right\} \Rightarrow N = 470721,82 \text{ kg/cm}^2$$

$$(F.S) \rightarrow \sigma_{ps} = -48,75 \text{ kg/cm}^2$$

$$(F.I) \rightarrow \sigma_{pf} = 246,7 \text{ kg/cm}^2$$

Contraintes produites par le poids propre de la poutre + poids de la dalle revenant à la poutre

$$F.S \rightarrow \sigma_s = 52,57 \text{ kg/cm}^2; \quad F.I \rightarrow \sigma_f = -97,27 \text{ kg/cm}^2$$

Les contraintes effectives seront :

$$\sigma_{f.s} = 3,82 \text{ Kg/cm}^2, \quad \sigma_{f.I} = 149,43 \text{ Kg/cm}^2$$

À la fin de cette phase les cables (1) et (2) vont subir une perte de $\frac{1}{3} \Delta \sigma_{diff}$

On trouve $\sigma = 12401,1 \text{ Kg/cm}^2 \Rightarrow N = 241325,41 \text{ Kg}$

Donc $N_T = 458792,85 \text{ Kg}$

$$\Rightarrow \sigma_{p.s} = -47,51 \text{ Kg/cm}^2, \quad \sigma_{p.I} = 240,45 \text{ Kg/cm}^2$$

Les contraintes effectives seront $\sigma_{f.s} = 5,06 \text{ Kg/cm}^2, \quad \sigma_{f.I} = 143,18 \text{ Kg/cm}^2$

Phase: 4

À cette phase là on aura mis en place la superstructure (Trottoirs, revêtements, glissière, garde-corps)

$M_G = 2,91,11 \text{ t.m}$, ce moment engendre les contraintes suivantes :

$$\sigma_{G.s} = 62,6 \text{ Kg/cm}^2; \quad \sigma_{G.I} = -115,84 \text{ Kg/cm}^2$$

La serie (3) et (4) a subi toutes les pertes : $N_1 = 217467,446 \text{ Kg}$

La 2^{ème} serie va subir une perte estimée à $\frac{2}{3} \sigma_d$, $\sigma = \sigma_0 - \frac{2}{3} \sigma_d = 11175,1 \text{ Kg/cm}^2$

$$\Rightarrow N_2 = 217467,446 \Rightarrow N_T = 434934,89 \text{ Kg}$$

Les contraintes engendrées sont :

$$(F.S) \Rightarrow \sigma_{p.s} = -45,04 \text{ Kg/cm}^2 \quad (F.I) \Rightarrow \sigma_{p.I} = 227,95 \text{ Kg/cm}^2$$

Les contraintes effectives seront :

$$\sigma_{f.s} = 17,56 \text{ Kg/cm}^2; \quad \sigma_{f.I} = 112,11 \text{ Kg/cm}^2$$

Phase: 5

Le convoi D est celui qui engendre le moment le plus défavorable à la section médiane

$$M_{G+Q} = 555,52 \text{ t.m} \Rightarrow (F.S) \rightarrow \sigma_s = 119,46 \text{ Kg/cm}^2;$$

$$(F.I) \rightarrow \sigma_I = 221 \text{ Kg/cm}^2$$

On aura pour valeurs des contraintes effectives

$$(F.S) \Rightarrow \sigma_{f.s} = 74,42 \text{ Kg/cm}^2$$

$$(F.I) \Rightarrow \sigma_{f.I} = 6,9 \text{ Kg/cm}^2$$

Conclusion : Toutes les contraintes effectives sont admissibles ce qui place notre section dans la sécurité

VERIFICATION DES CONTRAINTES

TANGENTIELLES

Dans une section quelconque le relevage des cables introduit deux composantes pour la force de précontrainte

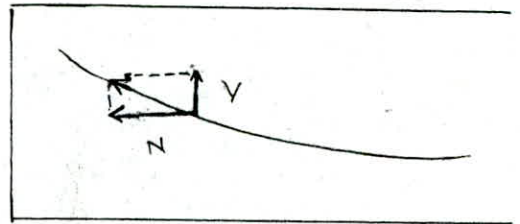
$$N = \sum P \cos \alpha_i \quad \text{et} \quad V = \sum P \sin \alpha_i$$

N : composante normale

V : composante tangentielle

P : force de précontrainte par cable

α_i : Angle de relevage



Pour cela il résulte un effort tranchant réduit : $T_r = Q - \sum P \sin \alpha_i$
avec Q = effort tranchant dû aux sollicitations extrêmes

Contrainte de cisaillement :

La contrainte de cisaillement est donnée par la relation suivante :

$$\tau_b = \frac{T_r \cdot S}{b_o \cdot I} \quad \text{avec} \quad \begin{array}{l} T_r = \text{effort tranchant} \\ b_o = \text{épaisseur nette de l'âme} \end{array}$$

S = m^{\pm} statique par rapport à l'axe qui passe par le c. d. g

I = moment d'inertie.

$$\beta = \frac{I}{S}$$

Contrainte de cisaillement admissible :

La contrainte admissible de cisaillement $\bar{\tau}$ est donnée par la formule de CHALOS - BÉTEILLE (IP₁)

$$\bar{\tau} = \frac{\bar{\sigma}'}{\bar{\sigma}} \cdot (\bar{\sigma}' - \sigma_g) / (\bar{\sigma} + \sigma_g)$$

$\bar{\sigma}_g$: contrainte au niveau du c. d. g de la section

$\bar{\sigma}'$ et $\bar{\sigma}$ sont respectivement les contraintes admissibles en compression et en traction définies dans l'IP₁

$$\bar{\sigma}' = 0,42 \sigma'_j \quad \text{en service} \Rightarrow \bar{\sigma}' = 168 \text{ kg/cm}^2 \quad (j = 28 \text{ jours})$$

$$\bar{\sigma}' = 0,55 \sigma'_j \quad \text{en charge} \Rightarrow \bar{\sigma}' = 220 \text{ kg/cm}^2$$

Contrainte de rupture en traction : $\sigma'_{28} = 31 \text{ kg/cm}^2$

$$\bar{\sigma} = 0,42 \sigma'_j \quad \text{en service} \Rightarrow \bar{\sigma} = 13 \text{ kg/cm}^2$$

$$\bar{\sigma} = 0,55 \sigma'_j \quad \text{en charge} \Rightarrow \bar{\sigma} = 17,05 \text{ kg/cm}^2$$

On doit vérifier pour chaque phase que $\tau < \bar{\tau}$

Caracteristiques de la section d'about

Section	B cm ²	I cm ⁴	V _s cm ³	V _i cm	i ² cm ²	e cm	$\sum \cos \alpha_i$	$\sum \sin \alpha_i$
Poutre seule	6861,57	4735282,3	33,42	51,58	690,11	13,72	1,975	0,313
Poutre + Dalle	9761,576	10649151,39	37,55	67,45	1090,925	-2,15	1,975	0,313

Contrainte initiale à l'about $\sigma_i = \sigma_0 - \sum \sigma_{inst}$

$$\sigma_i = 14800 - 2035,5 - 276 = 12488,5 \text{ Kg/cm}^2$$

Phase: 1

Contrainte résiduelle: $\sigma'_i = 12488,5 - \frac{1}{3} 1839 = 11875,5 \text{ Kg/cm}^2$

$$N = P \sum \cos \alpha_i = 11875,5 \times 9,73 \times 1,975 = 228208,5 \text{ Kg}$$

$$V = P \sum \sin \alpha_i = 11875,5 \times 9,73 \times 0,313 = 36166,7 \text{ Kg}$$

$$T_r = T_G - V = 18,38 - 36,16 = -17,78 \text{ t}$$

$$b_0 = 60 - 6,6 = 53,4 \text{ cm}$$

$$S = (51,58)^2 \times \frac{60}{2} - 34,2 \times (13,72)^2 = 73377,14 \text{ cm}^3$$

$$\Rightarrow \bar{\sigma} = \frac{T}{S} = 64,53 \text{ cm} \quad \text{donc} \quad \tau = \frac{T}{b_0 \bar{\sigma}} = -\frac{17,78 \cdot 10^3}{53,4 \times 64,53} = -5,16 \text{ Kg/cm}^2$$

Calcul de $\bar{\sigma}$

Contraintes dues à N:

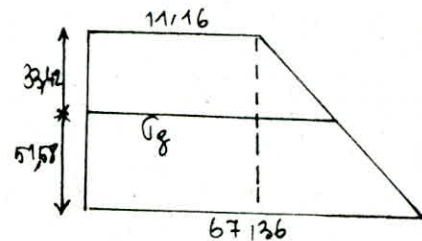
$$F.S \quad \sigma_s = \frac{N}{B} \left(1 + \frac{e \cdot v_s}{i^2}\right) = 11,16 \text{ Kg/cm}^2$$

$$F.I \quad \sigma_I = \frac{N}{B} \left(1 - \frac{e \cdot v_i}{i^2}\right) = 67,36 \text{ Kg/cm}^2$$

$$\text{Donc } \sigma_g = 11,16 + 56,2 \times \frac{33,42}{85} = 33,26 \text{ Kg/cm}^2$$

$$\Rightarrow \bar{\sigma}^2 = 728,1 \text{ Kg}^2/\text{cm}^4 \Rightarrow \bar{\sigma} = 26,98 \text{ Kg/cm}^2$$

On a donc bien $\tau < \bar{\tau}$



Phase: 2

Contrainte résiduelle: $\sigma_0 = 11875 - \frac{1}{3} 1839 = 11262 \text{ Kg/cm}^2$

$$N = 11262 \times 9,73 \times 1,975 = 216419,04 \text{ Kg}$$

$$V = 11262 \times 9,73 \times 0,313 = 34298,31 \text{ Kg}$$

$$T_r = T_G - T_v = 30595,74 - 34298,31 = -3702,56 \text{ Kg}$$

$$\text{donc } \tau = \frac{-3702,56}{53,4 \times 64,53} = -1,07 \text{ Kg/cm}^2$$

Contraintes produites par N

$$F.S \quad : \quad \sigma_s = \frac{216419,04}{6861,57} \left(1 - \frac{13,72 \times 33,42}{690,11}\right) = 10,58 \text{ Kg/cm}^2$$

$$F.I \quad : \quad \sigma_I = \frac{216419,04}{6861,57} \left(1 + \frac{13,72 \times 51,58}{690,11}\right) = 63,88 \text{ Kg/cm}^2$$

$$\Rightarrow \sigma_g = 10,58 + (63,88 - 10,58) \times \frac{33,42}{85} = 31,54 \text{ Kg/cm}^2$$

$$\Rightarrow \bar{\tau}^2 = \frac{1705}{220} (220 - 31,54) (17,05 + 31,54) = 709,65 \text{ Kg}^2/\text{cm}^4 \Rightarrow \bar{\tau} = 26,64 \text{ Kg/cm}^2$$

Donc $\tau < \bar{\tau}$

Phase: 3

Section résistante = Poutre + dalle

Contrainte résiduelle dans chaque câble d'about $\sigma = 11262 - \frac{1}{3} 1839 = 10649 \text{ kg/cm}^2$

$$N = 10649 \times 9,73 \times 1,975 = 204639,17 \text{ Kg}$$

$$V = 10649 \times 9,73 \times 0,313 = 32431,42 \text{ kg}$$

$$Tr = T_0 - V = 30595,74 - 32431,42 = -1835,68 \text{ Kg}$$

$$\bar{z} = \frac{I}{S} = \frac{10649151,39}{136326,98} = 78,11 \text{ cm} \rightarrow \text{donc } \sigma = \frac{T}{b \cdot \bar{z}} = \frac{-1835,68}{53,4 \times 78,11} = -944 \text{ kg/cm}^2$$

Contraintes engendrées par N

$$F_s : \sigma_3 = \frac{204639,17}{9761,576} \left(1 - \frac{2,15 \times 37,55}{1090,925} \right) = 19,41 \text{ kg/cm}^2$$

$$F_s : \sigma_1 = \frac{204639,17}{9761,576} \left(1 + \frac{2,15 \times 67,45}{1090,925} \right) = 23,75 \text{ kg/cm}^2$$

$$\Rightarrow \sigma_g = 19,41 + (23,75 - 19,41) \times \frac{37,55}{105} = 20,96 \text{ kg/cm}^2$$

$$\bar{\sigma}^2 = \frac{17,05}{220} (220 - 20,96) (20,96 + 17,05) = 586,35 \text{ kg}^2/\text{cm}^4$$

$$\bar{\sigma} = 24,21 \text{ kg/cm}^2 \Rightarrow \sigma < \bar{\sigma}$$

Phase: 4

Toutes les pertes ont été consommées

$$N = 204639,17 \text{ Kg}$$

$$V = 32431,42 \text{ kg}$$

$$Tr = T_0 - V = 36434,29 - 32431,42 = 4002,87 \text{ Kg}$$

$$\sigma = \frac{T}{b \cdot \bar{z}} = \frac{4002,87}{53,4 \times 78,11} = 0,96 \text{ kg/cm}^2$$

$$\Rightarrow \bar{\sigma}^2 = \frac{13,02}{168} (168 - 0,96) (13,02 + 0,96) = 387,22 \text{ kg}^2/\text{cm}^4$$

$$\Rightarrow \bar{\sigma} = 19,68 \text{ kg/cm}^2 \Rightarrow \sigma < \bar{\sigma}$$

Phase: 5

$$N = 204639,17 \text{ Kg}$$

$$V = 32431,42 \text{ kg}$$

$$Tr = T_0 + T_{\text{surcha}} - T_v = (36434,29 + 33250) - 32431,42 = 37252,87 \text{ Kg}$$

$$\Rightarrow \sigma = \frac{37252,87}{53,4 \times 78,11} = 8,93 \text{ kg/cm}^2 < \bar{\sigma} = 19,68 \text{ kg/cm}^2$$

Tableau récapitulatif

	Phase 1	Phase 2	Phase 3	Phase 4	Phase 5
$ \sigma \text{ kg/cm}^2$	5,16	1,07	0,44	0,96	8,93
$\bar{\sigma} \text{ kg/cm}^2$	26,98	26,64	24,21	19,68	19,68

Le même calcul va être mené pour les 2 autres sections dont les résultats sont récapitulés dans les 2 tableaux suivants.

Section d'émergence du câble n° 1

	Phase 1	Phase 2	Phase 3	Phase 4	Phase 5
$ \sigma $ kg/cm ²	16,57	13,56	8,14	7,86	3,01
$\bar{\sigma}$ kg/cm ²	32,62	32,38	16,67	23,75	23,75

Section d'émergence du câble n° 2

	Phase 1	Phase 2	Phase 3	Phase 4	Phase 5
$ \sigma $ kg/cm ²	0,1	7,92	6,49	5,8	1,2
$\bar{\sigma}$ kg/cm ²	26,61	29,45	24,17	19,68	19,68

Ferailage de la poutre

Armatures transversales: Bien que l'état de contrainte en chaque section de la poutre est situé dans le domaine de la sécurité, il convient de prévoir des étriers dans l'âme qui suppriment les risques de ruines dus au retrait et aux reprises de bétonnage. Ces armatures seront justifiées à partir de la théorie de RITTER-MORSH en tenant compte d'une inclinaison δ tel que :

$$\operatorname{tg} 2\delta = \frac{2\bar{\sigma}}{\sigma}$$

Soit n le nombre de cadres de section A'_t

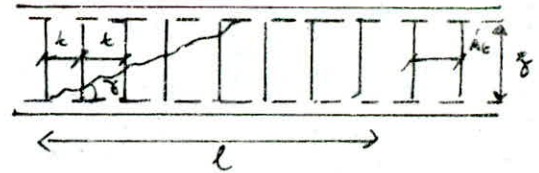
On a : $n = \frac{l}{t} = \frac{3}{t \operatorname{tg} \delta}$ on doit avoir $\frac{T_r}{n A'_t} \leq \bar{\sigma}'_{at}$

$$\bar{\sigma}'_{at} = \rho_a \bar{\sigma}_{ent} \text{ avec } \rho_a = \begin{cases} \frac{2}{3} & \text{s'il ya reprise de bétonnage} \\ 1 - \frac{1}{3} \left(\frac{\bar{\sigma}}{\bar{\sigma}'}\right)^2 & \text{si non} \end{cases}$$

Comme $n = \frac{3}{t \operatorname{tg} \delta}$ donc on aura $\frac{T_r}{n A'_t} = \frac{T_r}{A'_t} \times \frac{t \operatorname{tg} \delta}{3} \leq \bar{\sigma}'_{at}$ d'où $t \leq \frac{\bar{\sigma}'_{at} \times A'_t \times 3}{T_r \operatorname{tg} \delta}$

Toute fois on doit avoir $t \leq \bar{t}$

$$\text{avec } t = \inf \begin{cases} h_t (1,25 - 0,95 \frac{\bar{\sigma}}{\bar{\sigma}'}) \\ b_0 (5 - 2 \cdot \frac{\bar{\sigma}}{\bar{\sigma}'}) \\ 4b_0 \end{cases}$$

Section d'about

$\bar{\sigma}_{ent} = 4200$ kg/cm² ; $A'_t = 1,57$ cm² (2T10) ; $h_t = 150$ cm

$\rho_a = 1 - \frac{1}{3} \left(\frac{\bar{\sigma}}{\bar{\sigma}'}\right)^2$ pas de reprise de bétonnage

$|\sigma| = 5,16$ kg/cm² $\bar{\sigma} = 26,98$ kg/cm² $\Rightarrow \rho_a = 0,998 \Rightarrow \bar{\sigma}'_{at} = 4148,79$ kg/cm²

$\operatorname{tg} 2\delta = \frac{2 \times 5,16}{33,26} = 0,310 \Rightarrow \delta = 8,62^\circ \Rightarrow \operatorname{tg} \delta = 0,151 \Rightarrow t \leq 158,6$ cm

$$\bar{t} = \inf \begin{cases} 160,25 \text{ cm} \\ 246,57 \text{ cm} \\ 213,6 \text{ cm} \end{cases}$$

Pourcentage minimal

$$\bar{\omega}_t = 0,25 \frac{h t}{h t + 3 b_0} = 0,25 \times \frac{150}{150 + 3 \times 53,4} = 0,12\% \text{ Ce qui vérifie que}$$

$$\bar{t} = \frac{A' t}{\bar{\omega} b_0} = \frac{1,57 \times 100}{0,12 \cdot 53,4} = 24,3 \text{ cm. on prend } t = 20 \text{ cm}$$

$0,1\% < \bar{\omega}_t = 0,12\% < 0,2\%$

Section d'émergence du câble n°1

$$\bar{c} = 16,57 \text{ kg/cm}^2 \quad \bar{c} = 32,62 \text{ kg/cm}^2 \quad z_j = 77,27 \text{ cm}$$

$$T_r = 68395,42 \text{ kg} \Rightarrow \bar{\sigma}'_{at} = \left[1 - \frac{1}{3} \left(\frac{16,57}{32,62} \right)^2 \right] 4200 = 3838,75 \text{ kg/cm}^2$$

$$\text{tg } 2\delta = \frac{2 \times 16,57}{83,66} = 0,396 \Rightarrow \delta = 10,8^\circ \Rightarrow \text{tg } \delta = 0,1908, t \leq 35,69 \text{ cm}$$

$$\bar{t} = \inf \begin{cases} 115 \text{ cm} \\ 45,4 \text{ cm} \\ 45,6 \text{ cm} \end{cases} \quad \text{On prend } t = 40 \text{ cm}$$

$$\% \text{ minimal } \bar{\omega}_t = 0,25 \times \frac{150}{150 + 3 \times 11,4} = 0,2\% \Rightarrow t = 25 \text{ cm}$$

Armatures longitudinales

Nous appliquons l'article N°13 de l'IP1 : Le pourcentage d'armatures longitudinales pourra être fixé à la moitié du pourcentage d'armatures transversales

$$\bar{\omega}_l = 0,5 \bar{\omega}_t = 0,5 \times 0,12\% = 0,06\%$$

$$\text{La section minimale est alors : } A_{\min} = S_{ax} \bar{\omega}_l = \frac{150 \times 18 \times 0,01}{100} = 2,7 \text{ cm}^2$$

$\Rightarrow 3T12$

Cadre du talon

$$\bar{\omega}_t \geq \frac{c \sigma_{28}}{\sigma_{cu}} ; \quad \text{si } 0 \leq c \leq 1,3 D$$

$$\bar{\omega}_t \geq 1,3 D \frac{\sigma_{28}}{\sigma_{cu}} \quad \text{si } c > 1,3 D$$

Section médiane

$$t \leq \frac{\bar{\omega}_t \cdot \sigma_{cu}}{1,3 D \sigma_{28}} \Rightarrow t \leq 17,8 \text{ cm.} \rightarrow t = 15 \text{ cm}$$

$$\text{Section d'about } t \leq \frac{\bar{\omega}_t \times \sigma_{cu}}{1,3 \sigma_{28}} \Rightarrow t \leq 17,8 \text{ cm} \Rightarrow t = 15 \text{ cm}$$

VERIFICATION A LA RUPTURE

C'est une vérification que préconise l'IP₁ (page 44) afin de s'assurer que si les surcharges augmentent de 80% l'ouvrage ne périt pas

Sécurité à la rupture en flexion

Moment de rupture par les aciers

$$M_{RA} = 0,9 b w R_g \quad \text{avec } h = \text{hauteur utile}$$

w = Section d'aciers

$$M_{RA} = 0,9 \times 161,85 \times 38,92 \times 18500$$

$$= 1048,82 \text{ t.m}$$

R_g = Contrainte de rupture garantie

M_{RA} = moment de rupture de l'acier

M_f : moment de fissuration calculé avec une traction ultime : $2 \sigma_n = 2 \times 31 = 62 \text{ kg/cm}^2$

Pour la fibre inférieure on prend : $\sigma = \sigma_p + \sigma_n$; (σ_p = contrainte due à la précontrainte)

$$\sigma_p = 240,45 \text{ kg/cm}^2 \quad \sigma = 240,45 + 62 = 302,45 \text{ kg/cm}^2$$

$$M_f = \frac{\sigma I}{y_i} = 302,45 \times \frac{27734941,84}{110,36} = 760,1 \text{ t.m}$$

Sécurité par rapport au béton

Conditions à vérifier : $M_G + 1,8 M_f \leq 0,7 M_{RB}$

$$M_{RB_1} = 0,35 b_0 h^2 \sigma_n \quad (\text{relatif à l'âme}) = 0,35 \times 18 \times 161,85^2 \times 400 = 660,12 \text{ t.m}$$

$$M_{RB_2} = \min \left\{ \begin{array}{l} 0,8 (b - b_0) \times h_0 \times (h - \frac{h_0}{2}) \sigma_n = 1234,23 \text{ t.m} \\ 0,35 (b - b_0) h^2 \times \sigma_n = 4258,32 \text{ t.m} \end{array} \right.$$

$$M_{RB} = 660,12 + 123,423 = 1894,35 \text{ t.m}$$

$$M_G + M_f = 768,23 \text{ t.m} < 0,7 M_{RB} = 1326,04 \text{ t.m}$$

Sécurité à la rupture par l'effort tranchant (section d'about)

Compression des bielles (IP₁)

$$\text{Condition de sécurité : } \sigma = \frac{2C}{\sin 2\delta} \leq 0,15 \sigma_{28}$$

l'effort tranchant réduit est : $T_r = T_G + 1,8 T_Q - v$; $T_G = 36,43 \text{ t}$

$$T_Q = 33,25 \text{ t} \quad v = 23,43 \text{ t} \rightarrow T_r = 63,85 \text{ t}$$

$$\sigma = \frac{T_r}{b_0 z} = \frac{63,85 \cdot 10^3}{53,4 \times 78,11} = 15,3 \text{ kg/cm}^2$$

$$\tan 2\delta = \frac{2C}{\sigma_g} = \frac{2 \times 15,3}{20,96} = 1,46 \Rightarrow \delta = 27,8^\circ \rightarrow \sin 2\delta = 0,825$$

$$\sigma = 37,08 \text{ kg/cm}^2 < 0,15 \sigma_{28} = 200 \text{ kg/cm}^2$$

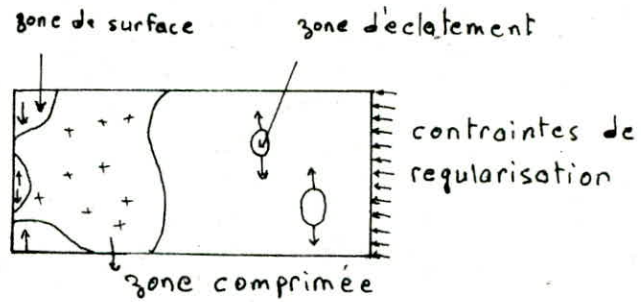
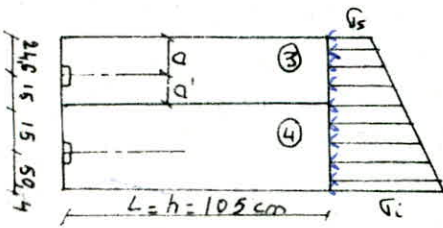
Résistance des armatures transversales

$$\text{La condition de sécurité : } \sigma_a = \frac{t \cdot T_r \cdot T_g \delta}{A_{z_3} \cdot z} = \frac{15 \times 63852 \times 0,527}{1,57 \times 78,11}$$

VERIFICATION DE LA ZONE D'ABOUT

Introduction : Les fortes compressions appliquées localement au béton par les ancrages entraînent l'apparition de contraintes et de déformation importantes qui ne peuvent plus être justifiées selon les règles habituelles de la résistance des matériaux

Détermination des efforts



③ : Prisme associé à l'ancrage du câble ③

④ : Prisme associé à l'ancrage du câble ④

a, a' : distance de l'ancrage aux bords du prisme qui lui est associé

L : zone de régularisation des contraintes supposées égale à la hauteur de la poutre

Effort de surface T_s et calcul des frettes :

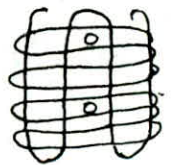
La théorie de M. GUYDON nous donne

$$T_s = \left[0,04 + 0,2 \left| \frac{a-a'}{a+a'} \right|^3 \right] \times F ; \text{ avec } F = \text{Force utile du câble}$$

$$F = 1,1 \times 11875,5 \times 9,7 = 126,7 \text{ t}$$

On trouve : $T_{s_{\max}} = 5,488 \text{ t} \Rightarrow A = \frac{T_s}{\bar{\sigma}_a}$ avec $\bar{\sigma}_a = \frac{2}{3} \times 2400 = 1600 \text{ Kg/cm}^2$ (acier doux)

$A = 3,43 \text{ cm}^2 \Rightarrow$ nous adoptons une frette verticale $\phi, 0$ formée de 4 branches et une frette horizontale commune aux 2 ancrages



Effort d'éclatement (T_e)

Designons par : a = largeur d'ancrage

$2a$ = largeur du prisme fictif avec $a < a'$, si $a > a'$ On prend $2a'$

K = Coefficient de réduction, F = Force utile du câble

S = surface du prisme fictif, P = contrainte moyenne d'éclatement

$\sigma_{y_{\max}}$ = Contrainte maximale de l'éclatement

Posons : $y = \frac{a}{2a}$, $P = \frac{F}{S}$; on a : $\sigma_{y_{\max}} = 0,65 P (1-y)$ [Kg/cm²] et $k = 1 - \left(\frac{8}{\sigma_{y_{\max}}} \right)$

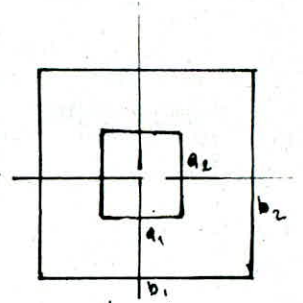
La valeur de l'effort d'éclatement est évaluée approximativement à partir de la règle du prisme symétrique (prisme fictif), $T_e = \frac{F}{3} (1-y) k$

On trouve $T_e^{\max} = 8,43 \text{ t} \Rightarrow A = \frac{8,43 \cdot 10^3}{1600} = 5,26 \text{ cm}^2 \Rightarrow 76 \text{ 10}$ (armatures qui reprennent T_e)

nous prendrons aussi un pourcentage de 43% d'armatures pour reprendre la poussée au vide $A = 0,3 \times \frac{105 \times 44}{100} = 13,86 \text{ cm}^2$ soit 9 $\phi 10$

Contrainte maximale sous l'ancrage

$$\bar{\sigma}'_{lim} = \frac{1}{1,6} \sigma'_d K \quad \text{avec } K = 1 + \left(3 - \frac{a_1}{b_1} - \frac{a_2}{b_2}\right) \sqrt{\left(1 - \frac{a_1}{b_1}\right) \left(1 - \frac{a_2}{b_2}\right)}$$



a_1, a_2 dimensions de la plaque d'ancrage

b_1, b_2 dimensions de la section du prisme ayant même c.d.g que la plaque

Contrainte admissible de compression

$$\bar{\sigma}'_{lim} = \frac{1}{1,6} \times 400 \times K = 250 K \text{ (Kg/cm}^2\text{)}; \quad F_s = \frac{\pi}{4} (24^2 - (6,6)^2) = 418 \text{ cm}^2$$

Prisme ③ On prend $a_1 = a_2 = 24 \text{ cm}$

$$b_1 = 44, b_2 = 50 \rightarrow K_3 = 1,96$$

$$\bar{\sigma}'_3 = 250 \times 1,96 = 490 \text{ Kg/cm}^2$$

$$\sigma'_3 = \sigma'_4 = \frac{F}{S} = \frac{126,7 \cdot 10^3}{418} = 303,11 \text{ Kg/cm}^2 < \bar{\sigma}'_3 = 490 \text{ Kg/cm}^2$$

Prisme ④ $a_1 = a_2 = 24 \text{ cm}$ $b_1 = 44$; $b_2 = 30 \rightarrow K = 1,5$

$$\bar{\sigma}'_4 = 1,5 \times 250 = 375 \text{ Kg/cm}^2 > \sigma'_4 = 303,11 \text{ Kg/cm}^2$$

JOINT DE CHAUSSEE

Rôle des joints : les joints sont réalisés pour assurer la continuité de surface de circulation entre deux éléments d'un ouvrage en dépit de leur déplacements relatifs dus à l'effet des écarts de température, avec retraits différents et aux rotations

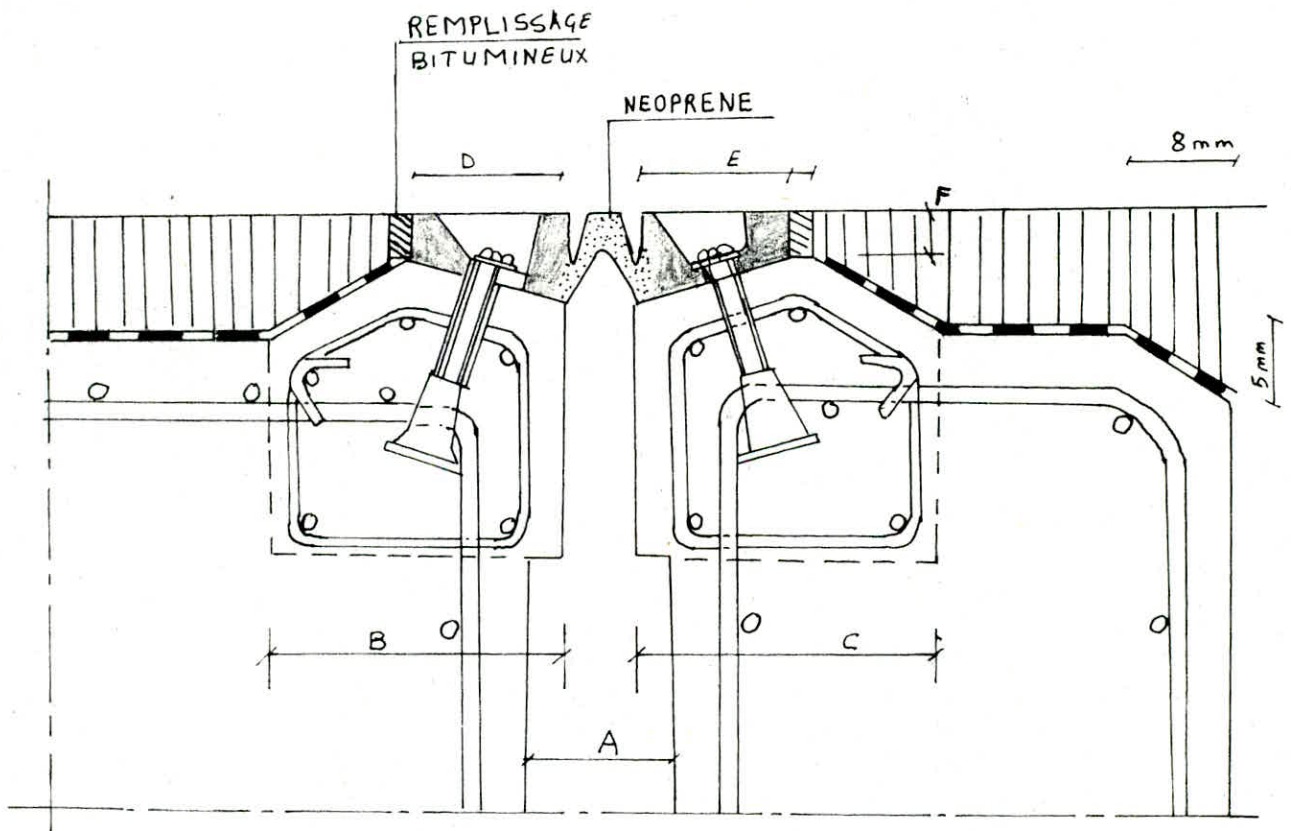
Choix du joint :

D'après le calcul des déformations, nous avons :

- Souffle max = $D_{max} = 26,3 \text{ mm}$
- Souffle min = $D_{min} = 2,4 \text{ mm}$

Nous choisissons des joints type MONOBLOC 50 système FREYSSINET INTERNATIONAL :
les caractéristiques de ces joints sont les suivantes :

A [mm]		B [m]	C [mm]	D [mm]	E [mm]	F [mm]
min	max					
20	70	200	200	100	100	30



CALCUL DES DEFORMATIONS

Liberté des déformations

La mise en précontrainte d'une pièce engendre des déformations : flèches, rotation d'appuis, raccourcissement.

Il est impératif que ces déformations puissent librement se produire sous peine de modifier les effets de la précontrainte et par conséquent l'état de contrainte résultant dans les diverses sections de la pièce.

Flèches et contre flèches :

1/ Flèche due au poids propre :

Elle est à mi-travée donnée par la relation suivante : $f_g = \frac{5q_g l^4}{384EI}$ avec $q_g = 2,28 \text{ t/m}$
 $E = \frac{1}{3} E_c = \frac{1}{3} 420.000 = 140.000 \text{ kg/cm}^2$, $l = 31,96 \text{ m}$, $I = 27734941,84 \text{ cm}^4$

$$\Rightarrow f_g = 8 \text{ cm}$$

2/ Flèche due à la précontrainte

La contrainte dans les fils au milieu

• Contrainte de mise en tension initiale : $13014,1 \text{ kg/cm}^2$
 • Contrainte en service : $1175,1 \text{ kg/cm}^2$ } \Rightarrow Contrainte moyenne $\sigma'_m = \frac{13014,1 + 1175,1}{2} = 12094,6 \text{ kg/cm}^2$

La précontrainte par câble $P = 12094,6 \times 9,73 = 117680,46 \text{ kg/cm}^2$

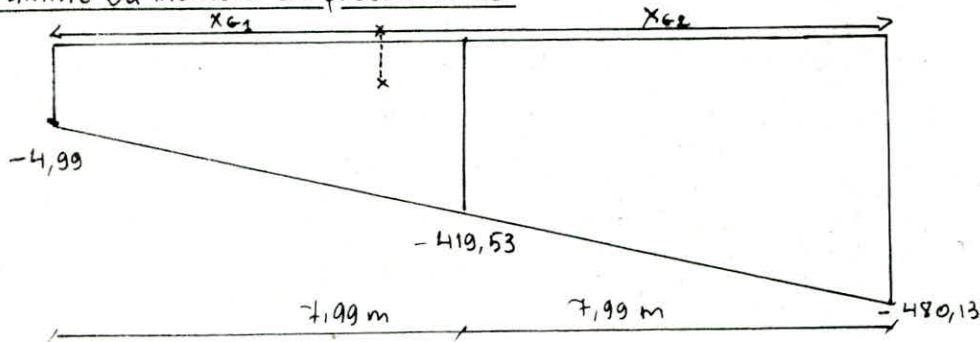
Section médiane : $N = P \sum \cos \alpha_i = 117680,46 \times 4 = 470721,83 \text{ kg}$

Section quart : $N = P \sum \cos \alpha_i = 117680,46 \times 4 = 466673,62 \text{ kg}$

Section d'about : $N = P \sum \cos \alpha_i = 117680,46 \times 1,975 = 232395,37 \text{ kg}$

Section	N (t)	e (m)	$M_p = N \cdot e$ (t.m)
Mediane	470,72	- 1,02	- 480,13
Quart	466,67	- 0,899	- 419,53
about	232,39	- 0,02	- 4,99

Diagramme du moment de précontrainte



$$X_{G_1} = 5,69 \text{ m}; \quad X_{G_2} = 12,07 \text{ m}$$

Aires des diagrammes : $A_1 = -1695,95 \text{ t.m}^2$, $A_2 = -3594,14 \text{ t.m}^2$

La flèche due à la précontrainte est donnée par : $f_p = \int_0^{l/2} \frac{M}{EI} x dx = \frac{1}{EI} \sum X_{G_i} A_i$

moment statique $S_D = \sum X_{G_i} A_i = -40282,84 \text{ t.m}^3 \rightarrow f_p = 10,37 \text{ cm}$

Flèche de construction

$$f_c = \frac{3}{4} (f_p - f_g) = \frac{3}{4} (10,37 - 8) = 1,78 \text{ cm}$$

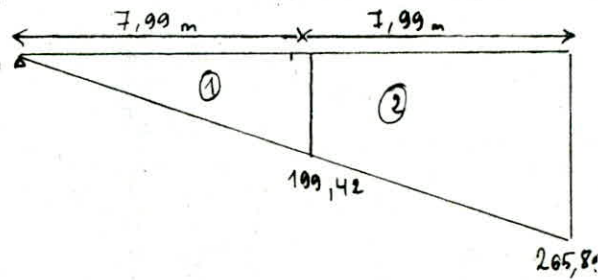
Fleche due aux surcharges

La surcharge exceptionnelle est celle qui engendre un moment maximum à mi-traverse $\frac{l}{4}$ donc automatiquement la fleche pour ce cas de surcharge est la plus defavorable

Diagramme du moment due à CD

$$x_{G_1} = \frac{2}{3} \times 7,99 = 5,32 \text{ m}; A_1 = 796,68 \text{ t.m}^2; x_{G_2} = 12,17 \text{ m}; A_2 = 1858,91 \text{ t.m}^2$$

$$S_D = \sum_{i=1}^2 x_{G_i} \cdot A_i = 26861,27 \text{ t.m}^3$$



La fleche est donnée par la relation suivante:

$$f_{\varphi} = \frac{S_D}{EI} = \frac{26861,27 \cdot 10^3 \cdot 10^6}{420.000 \times 27734941,84} = 2,3 \text{ cm}$$

Fleche totale à mi-traverse

$$\text{Service à vide } f_1 = f_G + f_p + f_c = 8 - 10,37 + 1,78 = -0,59 \text{ cm}$$

$$\text{Service en charge } f_2 = f_1 + f_{\varphi} = -0,59 + 2,3 = 1,7 \text{ cm}$$

Rotation d'appui

L'expression de la rotation est donnée pour : $\beta = \int_0^L \frac{M}{EI \cdot L} \cdot x \, dx$

* Sous charge permanente

$$\beta_G = \frac{q \cdot l^3}{24 EI} = \frac{2,283 \times 10 \times 3196^3}{24 \times 420.000 \times 27734941,84} = 7,99 \cdot 10^{-3} \text{ rd}$$

* Sous la surcharge

$$E = E_i = 420.000 \text{ kg/cm}^2; \beta_{\varphi} = \frac{1}{2EI} \int M dx = \frac{2(796,68 + 1858,91) \cdot 10^7}{2 \times 420.000 \times 27734941,84} = 2,279 \cdot 10^{-3} \text{ rd}$$

* Sous l'effort de précontrainte

$$\beta_p = \frac{1}{2EI} \int M dx = - \frac{2(1695,95 + 3594,14)}{2 \times 420.000 \times 27734941,84} = -0,0136 \text{ rd}$$

Rotation totale:

$$\text{Service à vide: } \beta = \beta_G + \beta_p = (7,99 - 13,6) \cdot 10^{-3} \text{ rd} = -5,6 \cdot 10^{-3} \text{ rd}$$

$$\text{Service en charge: } \beta = \beta_G + \beta_p + \beta_{\varphi} = (7,99 - 13,6 + 2,279) \cdot 10^{-3} \text{ rd} = -3,33 \cdot 10^{-3} \text{ rd}$$

Déplacement d'appui

* Déplacement due à la rotation d'appui

$$\Delta \beta = \beta \frac{ht}{2} = 5,6 \cdot 10^{-3} \times \frac{10^2}{2} = -2,94 \text{ mm}, ht = \text{hauteur de la poutre à l'appui}$$

* Déplacement due au fluage

$$\Delta f = \frac{1}{2} \frac{\sigma_m}{E}; \sigma_m = 68,05 \text{ kg/cm}^2 \rightarrow D_j = 7,76 \cdot 10^{-3} = 7,76 \text{ mm}$$

* Déplacement due aux variations de température

$$\Delta_t = \pm \frac{l}{10^4} = \pm \frac{31,96}{10^4} = \pm 0,0032 \text{ m} = \pm 3,2 \text{ mm}$$

* Déplacement due au retrait

$$\Delta_r = 4 \cdot 10^{-4} \frac{l}{2} = 4 \cdot 10^{-4} \times \frac{31,96}{2} = 6,39 \text{ mm}$$

** Déplacement maximal

Les poutres sont fabriquées et sont posées sur ses appuis après un certain temps et après mise en tension.

$$\Delta_{\max} = \frac{2}{3} (\Delta_{\beta} + \Delta_r + D_j) + \Delta_t = \frac{2}{3} (2,94 + 6,39 + 7,76) + 3,2 = 14,59 \text{ mm}$$

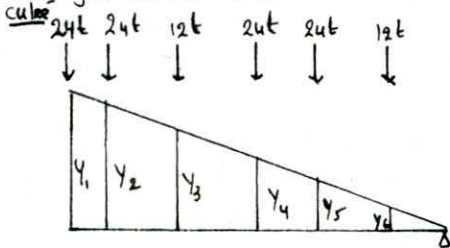
DIMENSIONNEMENT DES APPAREILS D'APPUI

Les appuis utilisés sont des appuis enrobés d'élastomère, dans ce type d'appui les toles de frottement sont complètement enrobées dans l'élastomère et l'aspect extérieur de l'appui est celui d'un bloc de caoutchouc ou de néoprène.

Le néoprène constituant les appareils d'appuis est peu compressible mais d'autre part il est très déformable par cisaillement (distorsion), ils permettent la dilatation ainsi que la torsion de la section d'appui dans toutes les directions.

Charges sollicitant l'ensemble de l'ouvrage :

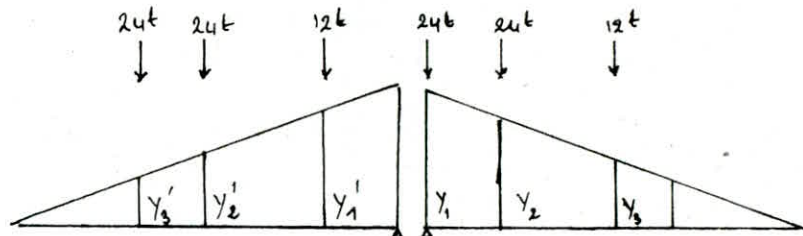
Charges verticales



$$y_1 = 1; y_2 = 0,936; y_3 = 0,744; y_4 = 0,552$$

$$y_5 = 0,488; y_6 = 0,296$$

$$R_0 = 125,85 \text{ t}$$



$$y_1 = 1; y_2 = 0,953; y_3 = 0,812$$

$$y_4 = 0,859; y_5 = 0,77; y_6 = 0,671$$

$$R_0 = 150,39 \text{ t}$$

même procédé pour les autres chargements.

Charges appuis	G (t)	trottoir (t)	A (e) (t)	Bc (t)	Mc 120 (t)	CD (t)	Seisme $E = 0,07$
culée	240,74	5,27	149,63	125,85	95,68	144,74	$\pm 16,85$
pile	656,78	14,38	269,42	150,39	104,75	206,08	$\pm 45,97$

Charges horizontales

vent : Le vent souffle dans le sens normal à l'axe longitudinal du pont, il développe une pression P sur la surface exposée.

$$P = 0,25 \text{ t/m}^2 \text{ (suivant CPC chap III, } P = 0,25 \text{ pour zone II)} \Rightarrow \text{l'effet horizontal}$$

$$\text{Sera : } H_v = P \cdot L_p \cdot h \Rightarrow H_v = 0,25 \times 120 \times 2,1 = 63 \text{ t}$$

freinage : Les surfaces de chaussée A(e) et Bc sont susceptibles de développer des réactions de freinage, la résultante sera supposée appliquée au centre de la ~~largeur~~ longitudinale.

$$\text{effet de freinage développé par A(e) : } F_A = \frac{A}{20 + 0,0035 \Omega} \Omega$$

$$\text{avec } \Omega = \text{surface chargée} = l \times l_s = 327,59$$

$$\text{on trouve } F_A = 12,74 \text{ t}$$

effet de freinage développé par Bc : égale à 30 t, poids d'un camion Bc

Seisme :

$E_H = 0,1$: coefficient d'accélération horizontale du seisme

$$H_s = G \times E_H = 246,6 \text{ t}$$

Variation linéaire du tablier

ce sont des déformations dues essentiellement au fluage, retrait et aux variations de température, des déformations qui ont un impact direct sur les appuis en

effet horizontal

Retrait: On admet que 60% de retrait a lieu avant la mise en place des poutres préfabriquées

$$\frac{\Delta l_r}{L_p} = - \left(\frac{100-60}{100} \varepsilon_r \right) \Rightarrow -\Delta l_r = -0,4 \times \varepsilon_r \times L_p = -0,4 \times 3,5 \cdot 10^{-4} \times 120 \Rightarrow \Delta l_r = -16,8 \text{ mm}$$

Fluage: $\frac{\Delta l_f}{L_p} = 3 \varepsilon_i = 3 \frac{\sigma'_m}{E_v} \Rightarrow \Delta l_f = 3 \frac{\sigma'_m}{E_v} L_p$ avec $E_v = 140.000 \text{ kg/cm}^2$
(module de la déformation lente du béton), $\sigma'_m = 40,5 \text{ kg/cm}^2$ contrainte au niveau de la fibre moyenne

Température:

$$\Delta l_t = \pm \varepsilon_{Dt} \times L_p \quad \varepsilon_{Dt} \text{ est estimé à } 0,3\%$$

$$\text{d'où } \Delta l_t = \pm 0,003 \times 120 \cdot 10^3 = \pm 36 \text{ mm}$$

Total des variations linéaires dues au retrait, fluage, variations de température
allongement: $\Delta l_{\max}^+ = 36 \text{ mm}$

retrécissement: $\Delta l_{\min}^- = -(16,8 + 41,6 + 36) = -94,4 \text{ mm}$

Forces centrifuges

$$R + 100 \quad \text{si } R < 400 \text{ m (suivant C.P.C.)}$$

$$6R + 350$$

$$R = 350 \rightarrow \frac{R + 100}{6R + 350} = 0,2 \rightarrow F_{\text{cent}} = (6 \times 60) \times 0,2 = 73,47 \text{ t}$$

Détermination des appareils d'appuis

* Réaction d'appui pour la pile:

- Sous charge permanente ... $\frac{656,78}{18} = 36,49 \text{ t}$
- Sous A(e) (défavorable) ... $\frac{269,42}{18} = 14,97 \text{ t}$

* Réaction d'appui pour la culée:

- Sous charge permanente ... $\frac{240,74}{9} = 26,74$
- Sous A(e) (défavorable) ... $\frac{149,63}{9} = 16,62$

$$R_{\max} = 43,36 \text{ t} \quad ; \quad R_{\min} = 26,74 \text{ t}$$

Choix des appareils d'appui:

pour les piles: 300/400 / 63/45

pour les culées: 300/400 / 118/85

Vérification des contraintes normales

On doit vérifier que $\sigma_{\max} < \bar{\sigma}_m$

$$\sigma_{\max} = \frac{R_{\max}}{a, b} = \frac{51,46 \cdot 10^3}{30 \cdot 40} = 42,88 \text{ kg/cm}^2 < \bar{\sigma}_m$$

$$\left. \begin{array}{l} \bar{\sigma}_m: \text{Contrainte admissible de} \\ \text{compression de l'élastomère} \\ \bar{\sigma}_m: \frac{100 \times 10^3}{30 \times 40} = 83,33 \text{ kg/cm}^2 \end{array} \right\}$$

REPARTITION DES EFFORTS HORIZONTAUX

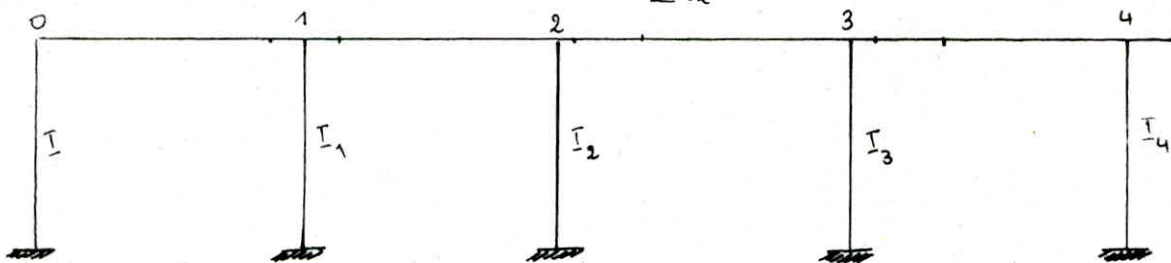
Détermination des rigidités

Les efforts horizontaux seront répartis sur l'infrastructure en fonction de la rigidité des éléments la constituant. Le tablier étant supposé infiniment rigide.

La déformation d'une pile ou d'une culée sous l'effet d'un effort horizontal unitaire est :

$$\sum S_i = S_1 + S_2 + S_3 \quad \text{avec : } \begin{aligned} S_1 &= \text{déformation de l'élastomètre} \\ S_2 &= \text{déformation des fûts de la pile ou de voiles de la culée} \\ S_3 &= \text{déformation de la fondation} \end{aligned}$$

La rigidité d'un appui est donnée par $k = \frac{1}{\sum S_i}$.



déformation de l'élastomètre

$$S_1 = \frac{T_r}{nGA} \quad \text{avec } \begin{aligned} T_r &= \text{hauteur de l'élastomètre} \\ G &= \text{module de cisaillement de l'élastomètre (} G = 10 \text{ kg/cm}^2 \text{)} \\ A &= a \times b = \text{air d'élastomètre} = 40 \times 30 = 1200 \text{ cm}^2 \\ n &= \text{nombre d'appareils d'appui} \end{aligned}$$

Appareil d'appui au niveau de la culée : $n = 9$, $T_r = 8,5 \text{ cm}$, $G = 10 \text{ kg/cm}^2$

Appareil d'appui au niveau de la pile : $n = 18$; $S_{10} = S_{14} = 7,87 \cdot 10^{-5} \text{ m}$
 $S_{11} = S_{12} = S_{13} = 208 \cdot 10^{-5} \text{ m}$

Déformation de la culée et de la pile

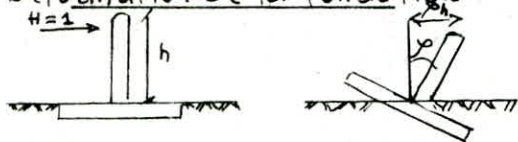
Les rigidités des voiles de la culée sont assez grande. Par ailleurs, on admet que la déformation de la culée est nulle : $S_{20} = S_{24} = 0$

La déformation d'un fût de la pile est :

$$I = \frac{ab^3}{12} \quad \left\{ \begin{aligned} a &= 1,5 \text{ m} \\ b &= 3 \text{ m} \end{aligned} \right. \quad S_{2i} = \frac{h_i^3}{3EI_{x2}} \quad \text{avec } \begin{aligned} n &= \text{nombre de fût} = 1 \\ E &= 21000 \sqrt{G_{2g}} = 363731 \text{ kg/cm}^2 \\ I &= \text{Inertie d'un fût de la pile} \\ E &= \text{module d'élasticité du béton} \end{aligned}$$

$$S_{21} = S_{22} = S_{23} = \frac{6,9^3}{3 \times 3637307 \times 3,375 \times 1} = 0,89 \cdot 10^{-5} \text{ m}$$

Déformation de la fondation



$$\delta^{(H=1)} = w + \gamma h \quad \left\{ \begin{aligned} w &= \text{déplacement en tête du pieu} \\ \gamma h &= \text{déplacement dû à la rotation de la fondation} \end{aligned} \right.$$

Cette rotation et ce déplacement sont évalués à l'aide des tableaux de HEINRICH - WERNER qui tiennent compte des caractéristiques du sol.

$$\text{on a : } EIW = \frac{X_W M^*}{\lambda^2} + X_{WP} P^* \frac{P^*}{\lambda^2} \quad \text{et} \quad EIP = X_{PM} M^* \frac{M^*}{\lambda} + X_{PP} P^* \frac{P^*}{\lambda}$$

Pour une fondation sur n pieux \Rightarrow pour chaque pieu : $P^* = \frac{1}{n}$ et $M^* = \frac{1 \cdot h}{n}$
 λ = paramètre dépendant du module de réaction du sol C_u et des caractéristiques du pieu.

$$\lambda = \frac{1}{\alpha} \quad \text{avec} \quad \alpha = \sqrt[4]{\frac{4EI}{C_u \cdot b}}$$

α = longueur élastique du pieu

b = diamètre du pieu

C_u = module de réaction du sol

I = moment d'inertie du pieu

E = module de déformation instantané du béton

Les tableaux de H. WERNER donnent : X_{WM}^* , X_{WP}^* , X_{PM}^* , X_{PP}^* en fonction de λl (l = longueur du pieu)

de La variation de C_u dans le sol du mode d'appui du pied du pieu

Déformation de la fondation de la pile :

on retient que pour une fondation reposant sur 2 piles de pieux, la rotation en tête du pieu est considérée égale à 0 ($\rho = 0$) et $P^* = \frac{1}{8} = 0,125 \text{ t}$, effort tranchant en tête de pieu, le module de réaction du sol est estimé à $C_u = 6000 \text{ t/m}^3$, sa variation est supposée comme l'indique la figure - ci dessous.

En appliquant à notre cas :

$$b = 1,20 \text{ m}; \quad E = 363707 \text{ t/m}^2; \quad I = \frac{\pi \phi^4}{64} = 0,1018 \text{ m}^4; \quad \lambda = \left(\frac{b \cdot C_u}{4EI} \right)^{\frac{1}{4}} = 0,264 \text{ m}^{-1}$$

$$\lambda^2 = 0,069 \text{ m}^{-2}; \quad \lambda^3 = 0,018 \text{ m}^{-3} \Rightarrow \alpha = \frac{1}{\lambda} = 3,78$$

$$\lambda l = 0,264 \times 15 = 3,96 \approx 4 \quad \left. \begin{array}{l} \text{Table de} \\ \text{WERNER} \end{array} \right\} \begin{cases} X_{WM}^* = -1,26; & X_{WP}^* = -1,68 \\ X_{PM}^* = 1,54; & X_{PP}^* = 1,26 \end{cases}$$

Après la résolution des 2 équations on a :

$$EIP = 0 \Rightarrow M^* = - \frac{X_{PP}^* P^*}{X_{PM}^* \lambda} = -0,387 \text{ t.m}$$

$$EIW = X_{WM}^* \frac{M^*}{\lambda^2} + X_{WP}^* \frac{P^*}{\lambda^2} \Rightarrow W = 0,1 \Rightarrow S_{31} = S_{32} = S_{33} = 0,1 \times 10^{-5} \text{ m}$$

Déformation de la fondation de la culée :

$$\rho = 0 \Rightarrow M^* = -0,387 \text{ t.m} \Rightarrow W = +0,1 \cdot 10^{-5} \text{ m}$$

$$S_{30} = S_{34} = 0,1 \cdot 10^{-5} \text{ m}$$



variation du module de réaction du sol le long du pieu

$$\rightarrow P^* = \frac{1}{8}$$

Répartitions des efforts horizontaux aux piles et aux culées

Le pourcentage d'effort repris pour chaque appui est donné par l'expression suivante

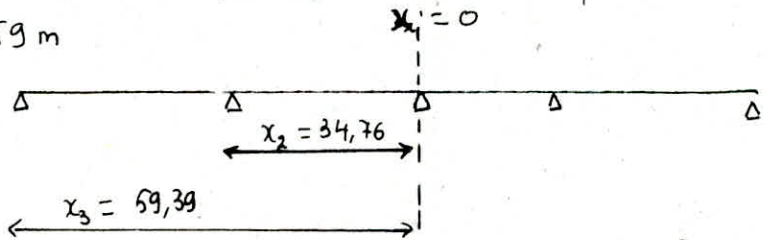
$$H_i \% = \frac{k_i}{\sum k_i} \quad \text{donc l'effort repris sera : } H_i = \frac{H R_i}{\sum k_i}$$

	X_i (cm)	$S_{1i} 10^{-5} \text{ m}$	$S_{2i} 10^{-5} \text{ m}$	$S_{3i} 10^{-5} \text{ m}$	$\sum S_i 10^{-5} \text{ m}$	k_{ini}	$k_i 10^6 \text{ t/m}$	$H_i \%$	Freinage HFR %	Seisme (t) 45
culée 0	0	7,87	0	0,1	7,97	0	0,125	11	3,3	27,126
Pile 1	24,83	2,08	0,89	0,1	3,07	8,06	0,325	26	4,8	64,116
Pile 2	59,59	2,08	0,89	0,1	3,07	19,36	0,325	26	4,8	64,116
Pile 3	94,35	2,08	0,89	0,1	3,07	30,66	0,325	26	4,8	64,116
culée 4	119,18	7,87	0	0,1	7,97	14,89	0,125	11	3,3	27,126

Efforts horizontaux engendrés par la variation linéaire du tablier :

La section du tablier qui ne subit aucun déplacement est donnée par cet abscisse

$$x_0 = \frac{\sum k_i n_i}{\sum k_i} = \frac{72,9}{1,225} = 59,59 \text{ m}$$



La variation linéaire d'un point distant de n_i du centre de déplacement est :

$U_{li} = \Delta l_{\max} \times \frac{n_i}{L}$ avec $\Delta l_{\max} = 94,4 \text{ mm}$ (variation linéaire maximale due à la température, au fluage et au retrait) Cette variation linéaire engendre sur l'appui un effort horizontal :

$$H_{vl} = \frac{M.G.U_{li}.a.b}{T_r} \left\{ \begin{array}{l} a, b, G, T_r \text{ caractéristiques des} \\ \text{appareils d'appui} \\ n = \text{nombre d'appareil d'appui} \end{array} \right.$$

Pile 2 $x_i = 0 \Rightarrow U_{li} = 0 \Rightarrow H_{vl} = 0$

Pile 1 $x_i = 34,76 \Rightarrow U_{li} = 27,5 \text{ mm} \Rightarrow H_{vl} = 132 \text{ t}$

Culée 0 $x_i = 59,59 \Rightarrow U_{li} = 47,2 \text{ mm} \Rightarrow H_{vl} = 59,6 \text{ t}$

VERIFICATION DES APPAREILS D'APPUI

Vérification au cisaillement

* Sous variation linéaire

Condition à vérifier : $\sigma_H = G \tan \delta_1 \leq 0,56 \Rightarrow \tan \delta_1 \leq 0,5$

pour la pile $U_L = 21,4 \text{ mm} \Rightarrow T_r = 45 \text{ mm} \Rightarrow \tan \delta_1 = \frac{U_L}{T_r} = 0,475 < 0,5$

pour la culée $U_L = 42,4 \text{ mm} \Rightarrow T_r = 85 \text{ mm} \Rightarrow \tan \delta_1 = \frac{U_L}{T_r} = 0,498 < 0,5$

* Sous variation linéaire + freinage

Condition à vérifier est : $G \tan \delta_1 + \frac{H_{fr}}{nab} \leq 0,76 \Rightarrow \tan \delta_1 + \frac{H_{fr}}{nG_{ab}} \leq 0,7$

pile $n = 18$; $H_{fr} = 7,8 \text{ t}$, $U_L = 21,4 \text{ mm} \Rightarrow \tan \delta_1 + \frac{H_{fr}}{nG_{ab}} = \frac{21,4}{45} + \frac{7,8 \cdot 10^3}{18 \times 10 \times 40 \times 30} = 0,51 < 0,7$

culée $n = 9$; $H_{fr} = 3,3 \text{ t}$, $U_L = 42,4 \text{ mm} \Rightarrow \tan \delta_1 + \frac{H_{fr}}{nG_{ab}} = \frac{42,4}{85} + \frac{3,3 \cdot 10^3}{9 \times 10 \times 40 \times 30} = 0,528 < 0,7$

* Sous variation linéaire + freinage + Seisme

Condition à vérifier est : $G \tan \delta_1 + \frac{H_{fr}}{2nab} + \frac{H_s}{2nab} \leq 1,36$

pile $H_s = 64,116 \text{ t} \Rightarrow \tan \delta_1 + \frac{H_{fr}}{2nG_{ab}} + \frac{H_s}{2nG_{ab}} = 0,64 < 1,3$

culée $H_s = 27,126 \text{ t} \Rightarrow \tan \delta_1 + \frac{H_{fr}}{2nG_{ab}} + \frac{H_s}{2nG_{ab}} = 0,78 < 1,3$

* Sous charge verticale + charge horizontale + rotation d'appui

Condition à vérifier : $\sigma = \sigma_N + \sigma_H + \sigma_\alpha \leq 5G$

$\sigma_N = 1,5 \frac{\sigma_{max}}{\beta}$ (contrainte de cisaillement due à la charge verticale)

$$\sigma_{max} = 42,88 \text{ kg/cm}^2$$

$$\beta = \frac{a \cdot b}{2t(a+b)} \text{ (coefficient de forme de l'appareil d'appui)}$$

$t = 10 \text{ mm}$: Épaisseur d'un feuillet élémentaire de l'elastomètre

$$\Rightarrow \beta = 8,57 \Rightarrow \sigma_N = 7,5 \text{ kg/cm}^2$$

$$\sigma_H = G \tan \delta_1 + \frac{H_{fr}}{2nab} + \frac{H_s}{2nab} = 7,8 \text{ kg/cm}^2$$

$\sigma_\alpha = \frac{1}{2} \frac{a^2}{E^2} \frac{\alpha_T + \alpha_0}{n} G$ avec α_0 : rotation due aux imperfections de l'appareil d'appui et aux défauts d'exécution : $\alpha_0 = \frac{1}{100} \text{ rd}$

α_T = rotation d'appui en service : $\alpha_T = 0,0056 \text{ rd}$

n = nombre de feuillets d'elastomètre par appareil d'appui : $n = 9$

$$\text{donc } \sigma_\alpha = \frac{1}{2} \left(\frac{40}{1} \right)^2 \frac{0,0056 + 0,01}{9} \times 10 = 17,55 \text{ kg/cm}^2$$

$$\sigma = 7,5 + 7,8 + 17,55 = 32,85 \text{ kg/cm}^2 < 5G = 50 \text{ kg/cm}^2$$

Condition de non glissement

La condition à vérifier est : $H \leq f \cdot N$

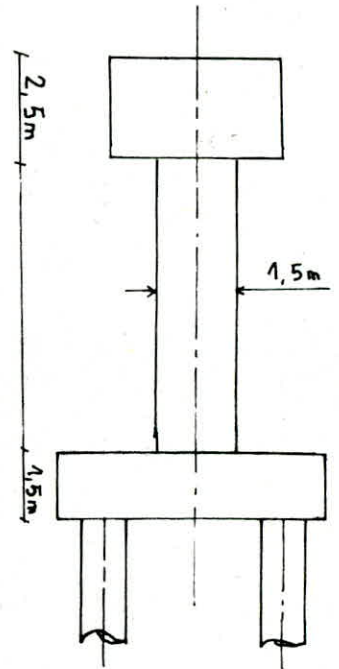
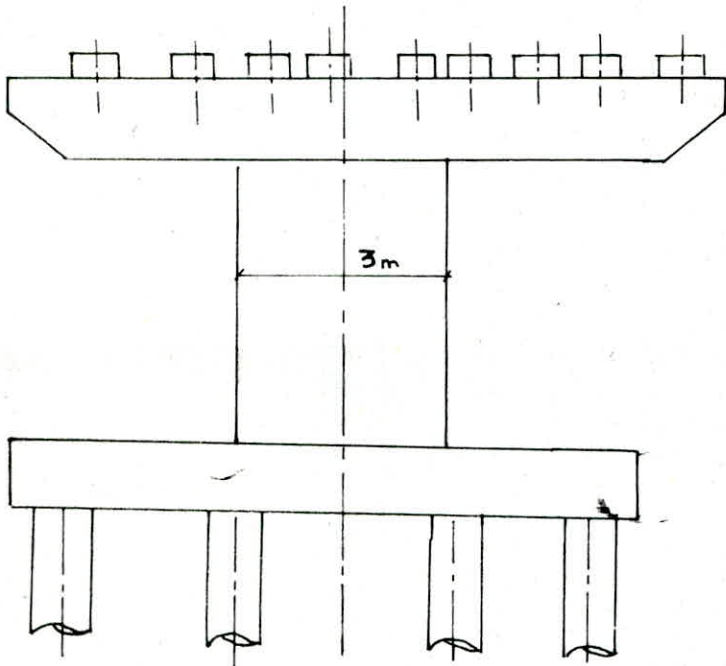
$$f = 0,2 + \frac{6}{\sigma_{max}} + 0,15$$

f : étant le coefficient de frottement total ; $f = 0,34$

$$N = R_{min}$$

ETUDE DE LA PILE

Schéma de la pile



Étude du chevêtre

Le chevêtre est conçu de manière à résister à son propre poids ainsi qu'aux surcharges provenant du tablier. Il repose sur un appui qui est le fût et pour cela il sera calculé comme une console.

Son rôle est de transmettre les efforts provenant du tablier vers le fût et les fondations.

Évaluation des efforts :

$$\text{Poids propre du chevêtre : } Q_G = 2,5 (1 \times 1,58 \times 2 + 1,5 \times 2,5) = 17,275 \text{ t/ml}$$

Effort provenant du tablier

$$\text{Poids propre du tablier : } P_G = 72,97 \text{ t}$$

$$\text{Surcharge } A(e) \text{ défavorable : } S = 29,93 \text{ t}$$

$$P = P_G + 1,25 S = 108,88 \text{ t (Charge concentrée)}$$

La section la plus dangereuse est la section d'encastrement de la partie console du chevêtre.

Le moment à l'encastrement est :

$$M = q \frac{5,2^2}{2} + p (0,125 + 1,575 + 3,025 + 4,475) = 1235,254 \text{ t.m}$$

Effort tranchant

$$T = Q_G \times 5,2 + 4p = 525,35 \text{ t}$$

Condition au séisme (combinaison du second genre)

$$P = G + P + S I = 108 \text{ t} < P = 108,88 \text{ t} \Rightarrow \text{la condition sismique n'est pas la plus défavorable.}$$

ferrailage longitudinal:Armatures superieures.

Nous utilisons la methode de pierre charron

$$U = \frac{15 M}{\sigma_a b h^2} \quad \text{avec} \quad M = 1235,254 \text{ t.m}$$

$$b = 350 \text{ cm}; \quad h = 240 \text{ cm}$$

$$\sigma_a = \frac{2}{3} \times 4000 = 2667 \text{ kg/cm}^2$$

$$\Rightarrow U = \frac{15 \times 1235,254 \cdot 10^5}{2667 \times 350 \times 240^2} = 0,0345$$

$\Rightarrow \varepsilon = 0,9204$, $k = 47,8$ Ce qui donnera une section d'acier

$$A = \frac{M}{\varepsilon h \sigma_a} = 209,67 \rightarrow 26T32 \text{ Comme armature superieure}$$

Condition de non fissuration

$$\left\{ \begin{array}{l} \sigma_1 = k \frac{\eta}{\phi} \frac{w_f}{1+10\bar{w}_f} = 1153,6 \text{ kg/cm}^2 \text{ avec } k=10^6; \eta=1,6 \\ \bar{w}_f = \frac{A}{8f} = \frac{A}{2bd} \end{array} \right.$$

$$\sigma_2 = 2,4 \sqrt{\frac{\eta k \sigma_b}{\phi}} = 1469,93 \text{ kg/cm}^2$$

$$\bar{\sigma}_a = \min \left\{ \frac{2}{3} \sigma_{en}; \max(\sigma_1, \sigma_2) \right\} = 1469,93 \text{ kg/cm}^2$$

La section d'acier va donc être calculée avec $\bar{\sigma}_a = 1469,93 \text{ kg/cm}^2$

$$\rightarrow U = \frac{15 M}{\bar{\sigma}_a b h^2} = 0,0625 \rightarrow \varepsilon = 0,896; k = 33,4 \rightarrow A = 390,48 \text{ cm}^2$$

nous prendrons 3 nappes de 16 barres chacune soit 48T32 les contraintes vis-à-vis du béton sont vérifiées.

Armatures inferieures

Nous prendrons forfaitièrement

Vérification à l'effort tranchant.

$$T_{\max} = 525,35 \text{ t} \rightarrow \tau_b = \frac{T}{b \cdot z} = \frac{525,35 \cdot 10^3}{350 \times \frac{7}{8} \times 240} = 7,15 \text{ kg/cm}^2$$

$$\bar{\tau}_b = 3,55 = 3,5 \times 7,15 = 26,25 \text{ kg/cm}^2 \Rightarrow \tau_b < \bar{\tau}_b$$

Armatures transversales

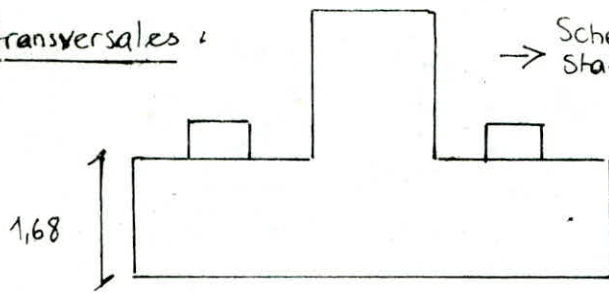
$$\rho_{at} = \max \left[\left(1 - \frac{\tau_b}{9\bar{\tau}_b} \right); \frac{2}{3} \right] = 0,894$$

$$\sigma_{en} = 4200 \text{ kg/cm}^2 \Rightarrow \bar{\sigma}_{at} = 3755 \text{ kg/cm}^2$$

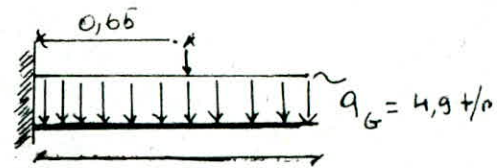
$$E = \min \left[0,2 h; \left(1 - 0,3 \frac{\tau_b}{\bar{\tau}_b} \right) h \right] = 48 \text{ cm}$$

On prend $\left\{ \begin{array}{l} t = 50 \text{ à l'intérieur du fût} \\ t = 20 \text{ aux environs de l'encastrement} \\ t = 50 \text{ aux extrémités} \end{array} \right.$

Armatures transversales :



→ Schema Statique



$$M = q \frac{l^2}{2} + P \times 0,65 = 73,24 \text{ t.m/m}$$

$$T = q \cdot l + P = 113,78 \text{ t}$$

$$\mu = \frac{15M}{\sigma_a b h^2} = 0,0161 \Rightarrow \Sigma = 0,9438; K = 74 \rightarrow A = 17,38 \text{ cm}^2$$

Condition de non fissuration

$$\sigma_1 = 726,4 \text{ kg/cm}^2$$

$$\sigma_2 = 1858,28 \text{ kg/cm}^2 \rightarrow \bar{\sigma}_a = 1858,28 \text{ kg/cm}^2 \rightarrow A = 26,08 \text{ cm}^2$$

on adopte 9T20/ml

Effort tranchant : $\bar{\sigma} = \frac{T}{b \cdot z} = \frac{113,78 \cdot 10^3}{0,3 \cdot 100 \times \frac{2}{8} \times 115} = 11,3 \text{ kg/cm}^2$

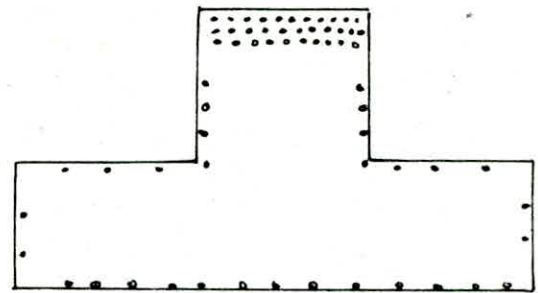
$$\bar{\sigma}_b = 26,25 \text{ kg/cm}^2 > \bar{\sigma}$$

calcul des armatures transversales

$$\rho_{at} = \max \left(1 - \frac{\bar{\sigma}_b}{9 \bar{\sigma}_b}; \frac{2}{3} \right) = 0,83$$

$$\rho_{en} = 4200 \Rightarrow \bar{\rho}_{at} = 3496 \text{ kg/cm}^2$$

$$\Rightarrow \bar{t} = 23 \text{ cm} \rightarrow \begin{cases} t = 10 \text{ à l'encastrement} \\ t = 20 \text{ ailleurs} \end{cases}$$



Etude des fûts

Les charges et surcharges du tablier sont transmises au chevêtre qui les répartie au le fût de la pile sans pour cela mettre les charges horizontales provenant des effets du seisme ; de la température, du freinage ainsi que vent. Ces effets provoquent un moment fléchissant et un effort tranchant à la base du fût.

Efforts à la base du fût.

Condition normale	Efforts horizontaux H(t)	Efforts verticaux N(t)	d(m)	Moment
Chevêtre		224,575		
Fût		77,625		
Poids propre du Tablier		656,78		
Surcharge 1,2 (A+T)		340,56		
Variation linéaire du tablier	0			
Freinage	7,8		8,48	66,144
Vent	13,3		4,24	56,392

Calcul du vent : $H_v = q_v \cdot s = 0,25 (6,9 \times 3 + 13 \times 2,5) = 13,3 \text{ t}$

Variation linéaire = 0 car le point elastique tombe sur la pile considérée

Combinaison du premier genre : G+P+V+T

$$(1) \begin{cases} N_{\min} = 958,96 \text{ t} \\ H = 7,8 \text{ t} \\ M = 56,392 \text{ t.m} \end{cases}$$

$$(2) \begin{cases} N_{\max} = 1299,52 \text{ t} \\ H = 21,1 \text{ t} \\ M = 122,536 \text{ t.m} \end{cases}$$

Seisme

$$H_s = (656,78 + 77,625 + 224,575) \times 0,1 = 95,9 \text{ t}$$

Condition sismique	H (t)	N (t)	d (t)	moments
Chevetre 224,575 $\begin{cases} 1,07 \\ 0,93 \end{cases}$		$\begin{cases} 240,29 \\ 208,85 \end{cases}$		
Fût 77,625 $\begin{cases} 1,07 \\ 0,93 \end{cases}$		$\begin{cases} 83,058 \\ 72,19 \end{cases}$		
Tablier 656,78 $\begin{cases} 1,07 \\ 0,93 \end{cases}$		$\begin{cases} 702,754 \\ 610,8 \end{cases}$		
Troitoir + surcharge A		283,8		
Freinage	7,8		8,48	66,144
Seisme	95,9		6,26	600,32

Combinaison du second genre G + P + S1 + T

$$\begin{cases} N_{\min} = 891,84 \text{ t} \\ H = 95,9 \text{ t} \\ M = 600,32 \text{ t.m} \end{cases} \quad \begin{cases} N_{\max} = 1309,9 \text{ t} \\ H = 103,7 \text{ t} \\ M = 666,464 \text{ t.m} \end{cases}$$

Ferraillage du fût

Le fût est sollicité en flexion composée et la combinaison la plus défavorable est la condition sismique qu'il donne.

$$N = 1309,9 \text{ t} ; H = 103,7 \text{ t} ; M = 666,464 \text{ t.m}$$

$$e_0 = \frac{M}{N} = 0,508 > \frac{h}{6} = \frac{1,5}{6} = 0,25 \text{ m} \text{ donc la section est partiellement comprimée}$$

$$e_0 = 0,508 \text{ m} < \frac{h}{2} = 0,75 \text{ m} \Rightarrow \bar{\sigma}'_b = 1,5 \times \bar{\sigma}'_s = 276 \text{ kg/cm}^2$$

$$M = M_1 + 0,67 \times 1309,9 = 1544 \text{ t.m}$$

$$\mu = \frac{15 M}{\sigma_a b h^2} = \frac{15 \times 1544 \cdot 10^5}{4200 \times 300 \times 142^2} = 0,0911 \rightarrow \varepsilon = 0,8789 ; K = 26,4$$

$$\Rightarrow \bar{\sigma}'_b = \frac{4200}{26,4} = 159 \text{ kg/cm}^2 < \bar{\sigma}'_b \text{ donc } A' = 0$$

$$A_1 = \frac{M}{\sigma_a \varepsilon h} = \frac{1544 \cdot 10^5}{4200 \times 0,8789 \times 142} = 294,55 \text{ cm}^2$$

$$A = A_1 - \frac{N}{\sigma_a} = 294,55 - \frac{1309,9 \cdot 10^3}{4200} < 0 \Rightarrow \text{pas d'armatures}$$

néanmoins on prend $A = 0,2\% B$; (Document, setra) ; B = surface du fût

$$A = 0,2 \times \frac{300 \times 150}{1000} = 90 \text{ cm}^2 \Rightarrow 29 \text{ T} 20 \text{ (} A = 91 \text{ cm}^2 \text{)}$$

Calcul du flambement :

Pour nous placer dans le domaine de la sécurité car il nous est très difficile de définir la nature des appuis, aux extrémités on adopte pour la longueur $l_c = \beta \cdot l_0$ avec $\beta = 1,3$ (poteau flexible encasté-élastiquement aux 2 extrémités)

$$l_c = 1,3 \times 6,9 = 8,97 \text{ m}$$

$$I = 3 \times \frac{1,5^3}{12} = 0,84375 \text{ m}^4 \quad \Rightarrow \quad i = \sqrt{\frac{I}{A}} = 0,433 \Rightarrow \lambda = \frac{l_c}{i} = 20,7$$

$$A = 3 \times 1,5 = 4,5 \text{ m}^2$$

$\lambda = 20,7 < 35 \Rightarrow$ notre fût se calcule en flexion composée sans tenir compte de l'effet du flambement.

Vérification des contraintes

Cas Sismique

avec $A = 91 \text{ cm}^2$, on trouve $\sigma_a = 5320 \text{ kg/cm}^2 > 4200 \text{ kg/cm}^2$ donc on doit augmenter $A \rightarrow A = 125 \text{ cm}^2 \rightarrow 26T25$

$$\bar{\omega} = \frac{100A}{b \cdot h} = 0,277$$

$$M_s = 666,464 - 1309,9 \times 75 = 568,22 \text{ t.m}$$

$$M_a^t = 666,464 + 1309,9 \times 67 = 754,22 \text{ t.m}$$

$$\left\{ \begin{array}{l} P = \frac{M_s}{M_a^t} = 0,75 \\ \bar{\omega} = 0,277 \end{array} \right. \xrightarrow[\text{P. Charron}]{\text{abaque}} \left\{ \begin{array}{l} K = 39,5 \\ U_2 = 0,036 \end{array} \right.$$

$$\sigma_a = \frac{15 M_s}{U_2 b h^2} = \frac{15 \times 568,22 \cdot 10^5}{0,036 \times 300 \times 142^2} = 3913,8 \text{ kg/cm}^2 < 4200 \text{ kg/cm}^2$$

$$\sigma'_b = \frac{\sigma_a}{K} = 99 \text{ kg/cm}^2 < \bar{\sigma}'_b = 273 \text{ kg/cm}^2$$

Conditions normales

$$M_s = 122,536 - 1299,52 \times 75 = 25,072 \text{ t.m}$$

$$M_a^t = 122,536 + 1299,52 \times 67 = 209,6 \text{ t.m}$$

$$S = 0,119 ; \bar{\omega} = 0,27 \xrightarrow[\text{P. Ch}]{\text{aba}} K = 18,75 ; U_2 = 0,016$$

$$\Rightarrow \sigma_a = 388,56 \text{ kg/cm}^2 < \bar{\sigma}'_b = 182 \text{ kg/cm}^2, \text{ donc on peut adopter } A = 125 \text{ cm}^2 \text{ soit } 26T25$$

Vérification à un choc accidentel

Sens transversal

en considérant un choc latéral d'un tronc d'arbre ou de cailloux ou un choc de voiture qui engendrera une force latérale $F = 100 \text{ t}$ située à $1,5 \text{ m}$ de la base $\Rightarrow M = 150 \text{ tm}$

$$M_a^t = 150 + 1309,9 \times 67 = 241,69 \text{ t.m} \rightarrow \mu = 0,0142 \rightarrow K = 79,5 ; E = 0,9471$$

$$\Rightarrow A_1 = \frac{M}{\sigma_{en} \cdot E \cdot h} = \frac{150 \cdot 10^5}{4200 \times 0,9471 \times 142} = 26,55 \text{ cm}^2$$

$$A = A_1 - \frac{N}{\sigma_{en}} < 0 \Rightarrow \text{On a pas besoin d'armatures donc garde } A = 127,66 \text{ cm}^2 \text{ soit } 26T25$$

Sens longitudinal

$$F = 50 \text{ t} ; d = 1,5 \text{ m} \rightarrow M = 75 \cdot \text{t.m}$$

Le même calcul nous mène à adopter toujours $A = 127,66 \text{ cm}^2$ soit 26T25

Armatures transversales

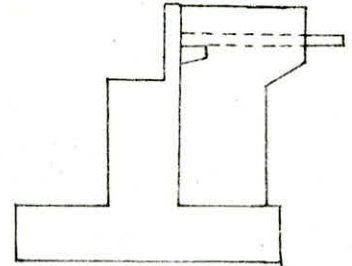
$$\text{zone courante : } t \leq \begin{cases} t_1 = (100 \phi_t - 15 \phi_{L \max}) \left(2 - \frac{\sigma'_b}{\sigma'_b}\right) \\ t_2 = 1,5 \left(2 - \frac{\sigma'_b}{\sigma'_b}\right) \phi_{L \min} \end{cases}$$

On prendra des $\phi_{12} \Rightarrow \phi_t = 1,2 \text{ cm} ; \phi_{L \max} = \phi_{L \min} = 2,5 \text{ cm} \Rightarrow t = 20 \text{ cm}$
et dans les zones de mouvement ou à l'encastrement on prendra $t = 19 \text{ cm}$

ETUDE DE LA CULEE

I-INTRODUCTION

La culee est l'un des éléments fondamentaux de l'ensemble de la structure du pont, elle assure le raccordement de l'ouvrage au terrain. Sa disposition est telle qu'il y a continuité entre la chaussée (remblais) et celle portée par le pont ainsi en contact avec les terres; elle peut être soumise à la poussée de ces dernières ou elle peut au contraire y être presque entièrement soustraite par des dispositions spéciales. Le choix du type de culee dépend essentiellement de la hauteur de celle-ci



II. Etude des éléments de la culee :

2.1 Mur garde grève

Le mur garde grève est constitué par un voile verticale encastré sur le mur de front. Il sera étudié en suivant les hypothèses du bulletin SETRA

2-1-1 Evaluation des efforts

On néglige les effets des forces verticales.

On évaluera les efforts par rapport à la section d'encastrement

* Poussée des terres

$$M_T = \frac{1}{6} K_a \cdot \gamma h^3 \quad \text{avec } K_a: \text{coefficient de poussée } K_a = 0,3$$

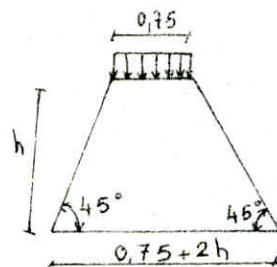
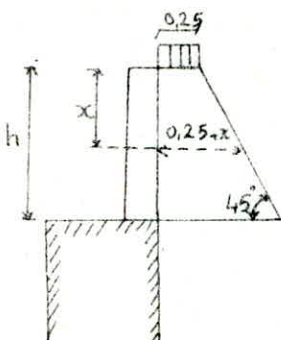
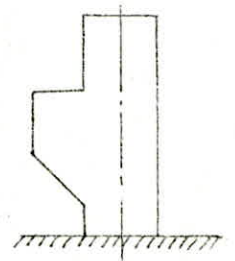
$$\gamma: \text{ poids volumique du remblai } \gamma = 1,8$$

$$h: \text{ Hauteur du garde-grève}$$

$$M_T = 0,44 \text{ t.m/m}$$

* Poussée des charges locales:

pour une hauteur h du mur comprise entre 0,5 m et 3,0 m ($0,5 \text{ m} < h < 3,0 \text{ m}$), il a été vérifié que seule les sollicitations engendrées par des camions de type B₆ (poussée des charges locales) était la plus défavorable, l'effort maximal étant produit par les deux arrières de B⁶ chacune de deux camions accolés placés d'une manière telle que les rectangles d'impact soient en contact avec la face arrière du garde-grève. Les charges réelles (2 roues distantes de 0,95 m) sont remplacées par une charge uniforme de 12 t répartie sur un rectangle de 0,25 m / 0,75 m. On admet que la pression sur le rectangle d'impact ainsi définie se répartit à 45° latéralement et en arrière du mur



l'expression du moment d'encastrement a pour expression

$$M_p = \frac{12k}{0,75 + 0,25h} \int_0^h \frac{h-x}{0,25+h} dx \quad \text{avec } k = K_a \cdot \delta \cdot S \cdot b_c$$

ou K_a : coefficient de poussée $K_a = 0,3$

γ : // = pondération $\gamma = 1,2$

δ : // = majoration dynamique $\delta = 1,119$

b_c : // = réduction $b_c = 1,1$

$$k = 0,44$$

$$h = 1,7 \text{ m} \Rightarrow M_p = 2,79 \text{ t.m/m}$$

* force de freinage :

On considère un essai lourd au contact du mur garde-greève, compte tenu de l'écartement des roues et pour une hauteur courante on ne considère que l'effet d'une seule roue (6t). La force de freinage est prise égale à 6t

$$M_f = \frac{6h \cdot \gamma}{0,25 + 2h} = \frac{6 \times 1,7 \times 1,2}{0,25 + 2 \cdot 1,7} = 3,35 \text{ t.m/m}$$

Le moment total est : $M = M_T + M_p + M_f = 6,58 \text{ t.m/m}$

Le moment d'encastrement dans le sens opposé est évalué à la hauteur du mur. Il sera dû au freinage minoré de la poussée des terres

$$M' = -3,2 \text{ t.m/m}$$

2.1.2 Ferrailage

a/ Ferrailage ventral :

* acière (côté du remblai)

$$M = 6,58 \text{ t.m/m}$$

$$\mu = \frac{15M}{\sigma_a b h^2} = \frac{15 \cdot 6,58 \cdot 10^5}{2800 \times 100 \times 20^2} = 0,0881 \Rightarrow \epsilon = 0,8804, k = 26,8$$

$$A_1 = \frac{M}{\sigma_a \cdot \epsilon \cdot h} = 13,34 \text{ cm}^2/\text{ml} \quad \text{on prendra } 9T14/\text{ml}$$

$$\sigma_b = \frac{\sigma_a}{k} = 97,8 \text{ Kg/cm}^2 < \bar{\sigma}_b$$

* Avant :

$$M = 3,2 \text{ t.m}$$

$$\mu = \frac{15M}{\sigma_a \cdot b \cdot h} = \frac{15 \cdot 3,2 \cdot 10^5}{2800 \cdot 100 \cdot 20} = 0,0429 \Rightarrow \epsilon = 0,9123, k = 42$$

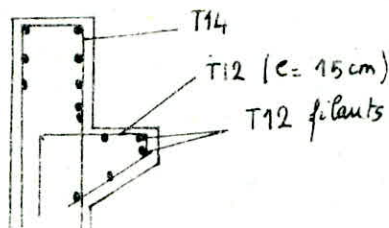
$$A_2 = \frac{M}{\sigma_a \cdot \epsilon \cdot h} = 6,26 \text{ cm}^2 \quad \text{on prend } 5T14/\text{ml}$$

b/ Ferrailage horizontal :

Pour $1 \text{ m} \leq h \leq 2 \text{ m}$ on prévoit des T10 ou T12 tous les 15 cm (suivant Bulletin SETRA)

2.1.3 Ferrailage du cotiveau d'appui

Nous adoptons celui donné dans le bulletin SETRA

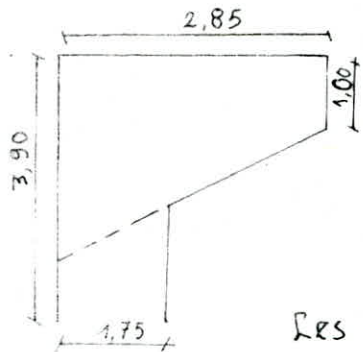


2.2 Mur en retour

les murs en retour sont des murs latéraux ; parallèles à l'axe longitudinal du pont ; ils assurent le soutènement des terres du remblais d'accès au pont leur rôle est de permettre au remblai d'atteindre le niveau du tablier.

2.2.1 Sollicitations (Suivant document SETRA)

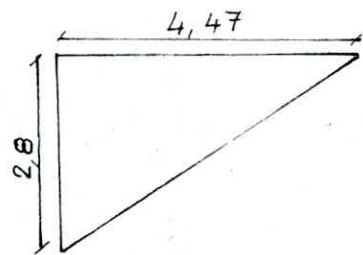
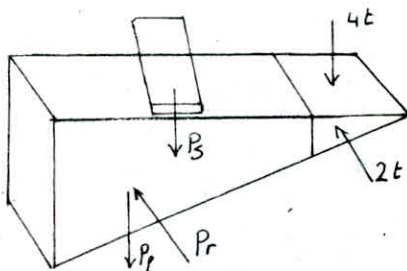
Le mur en retour est soumis aux charges suivantes qui peuvent être appliquées ensemble :



- Poids propres γ compris la superstructure : $P = 2,5 \frac{l \cdot h}{2} \cdot e + 0,3l$
- poussée horizontale répartie (remblais) : $q_r = \left(\frac{h}{3} + 0,5\right)$
- charge concentrée vers l'extrémité du mur : $F_v > 4t$; $F_H = 2t$

L'évaluation des effets se fera par rapport à la section d'encastrement ($R \times h = 0,5 \times 1,70$)

Les schémas ci-dessous définissent les forces appliquées, ainsi que la géométrie du mur prise en compte dans le calcul



* Charges verticales

- l'effort tranchant à l'encastrement est :

$$T_v = 2,5 \frac{l \cdot h}{2} e + 0,3l + 4 = 8,14 t$$

- le moment d'axe horizontale est :

$$M_v = 2,5 \frac{l^2 \cdot h}{6} e + 0,3 \frac{l^2}{2} + 4(l-1) = 28,53 t \cdot m$$

* Charges horizontales :

- Effort tranchant à l'encastrement est :

$$T_H = \left(\frac{h}{3} + 0,5\right) l \frac{h}{2} + 2 = 10,97 t \cdot m$$

- moment d'axe vertical est

$$M_H = \left(\frac{h}{3} + 0,5\right) l^2 \frac{h}{6} + 2(l-1) = 20,30 t \cdot m$$

2.2.2 Ferrailage

x Calcul de A_H

$$M_H = 20,30 t \cdot m$$

$$\mu = \frac{15 \cdot 20,30 \cdot 10^5}{2800 \cdot 280 \cdot 45^2} = 0,0092 \Rightarrow \varepsilon = 0,9565$$

$$K = 101,5$$

$$A_H = \frac{M}{\sigma_a \cdot \varepsilon \cdot h} = 11,66 \text{ cm}^2 \Rightarrow 4T20$$

Condition de non fissuration

$$\bar{\sigma}_1 = 307,2$$

$$\bar{\sigma}_2 = 2276,8 \Rightarrow \bar{\sigma}_a = \min[2800, \max(307,2 ; 2276,8)] = 2277 \text{ Kg/cm}^2$$

$$\Rightarrow A_m = 14,4 \text{ cm}^2 \Rightarrow 5T20$$

Calcul de A_v :

$$M_v = 28,53 \text{ t.m}$$

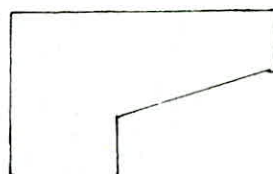
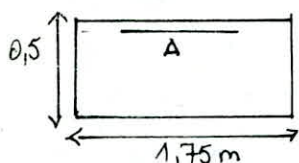
$$\mu = \frac{15 \times 28,53 \times 10^5}{2800 \cdot 50 \cdot 275} = 0,0040 \Rightarrow \varepsilon = 0,9711$$

$$K = 167$$

$$A_v = \frac{M}{\bar{\sigma}_a \cdot \varepsilon \cdot h} = 3,85 \text{ cm}^2 \Rightarrow 2T16$$

2.2.3 Etude de la section d'encastrement Mur - Semelle

Pour cette étude on supposera l'oreille totalement indépendante.
Le schéma de calcul sera:

En condition normale:

$$\text{poussée des terres: } P = \frac{1}{2} \times 1,8 \times 1,75 \times 0,38 = 0,609 \text{ t/ml} \Rightarrow M_p = 0,52 \text{ t.m/ml}$$

$$\text{surcharges (1 t/m}^2\text{): } q = 0,505 \text{ t/ml} \Rightarrow M_q = 0,29 \text{ t.m/ml}$$

En condition sismique

$$\text{poussée des terres: } P = 1,22 \text{ t/ml} \rightarrow M_p = 0,69 \text{ t.m}$$

$$\text{surcharges: } q = 0,673 \text{ t/ml} \quad M_q = 0,38 \text{ t.m/ml}$$

$$M_t = M_p + M_q = 0,69 + 0,30 = 1,07 \text{ t.m/ml}$$

$$M = 1,07 \times 2,85 = 3,05 \text{ t.m}$$

$$\mu = \frac{15M}{\bar{\sigma}_a \cdot b \cdot h^2} = \frac{15 \times 3,05 \cdot 10^5}{2800 \times 175 \times 45^2} = 0,005 \Rightarrow \varepsilon = 0,9724$$

$$A = \frac{M}{\bar{\sigma}_a \cdot \varepsilon \cdot h} = 2,49 \text{ cm}^2 \Rightarrow 3T14$$

Verification à l'effort tranchant

$$\tau_{bv} = \frac{T_v}{b \cdot 0,875 \cdot h} = \frac{8,14 \cdot 10^3}{50 \cdot 0,875 \cdot 275} = 0,664 \text{ Kg/cm}^2$$

$$\tau_{bm} = \frac{T_m}{b \cdot 0,875 \cdot h} = \frac{10,97 \cdot 10^3}{280 \cdot 0,875 \cdot 45} = 0,995 \text{ Kg/cm}^2$$

$$\tau_b = \sqrt{\tau_{bm}^2 + \tau_{bv}^2} = 1,196 \text{ Kg/cm}^2 < \bar{\tau}_b = 3,5 \bar{\sigma}_b = 26,25 \text{ Kg/cm}^2$$

2.3 Dalle de transition

C'est une dalle en béton armé appuyée à une extrémité sur la culée et à l'autre sur la terre. Elle est prévue pour éviter dénivellement qui se produit entre la chaussée courante et celle du port en cas du tassement du remblai.

Notre dalle de transition a une largeur $L=7\text{ m}$ et une épaisseur $e=0,4\text{ m}$.

L'étude de la dalle de transition se fera suivant les hypothèses de changement exposé dans le bulletin SETRA.

2.3.1 * Charges et surcharges

On considère une bande de 1 m de largeur.

- Charges permanentes :

remblai : $1,8 \times 1 \times 1 = 1,8\text{ t/ml}$
 poids propre : $2,5 \times 0,4 \times 1 = 1\text{ t/ml}$
 $q = 2,8\text{ t/m}$

- Surcharges

Le système Bt est le plus défavorable, les roues sont placées comme il est indiqué sur le schéma ci-dessus. On admet que les roues de rangée P_1 et P_2 sont équivalentes chacune à une charge répartie de $5,5\text{ t}$ assimilation à un rouleau indéfini. La rangée P_1 est affectée d'un coefficient "2" pour tenir compte du choc d'un essieu, la charge équivalente à la rangée P_2 se répartit entre les 2 appuis de la dalle de transition et doit être affectée d'un coefficient de majoration dynamique qu'on peut estimer à "1,2".

$$P_1 = 2 \times 5,5 = 11\text{ t} \quad P_2 = 1,2 \times 5,5 = 6,6\text{ t}$$

2.3.2 Evaluation des effets : on néglige les deux consoles de nos calculs.

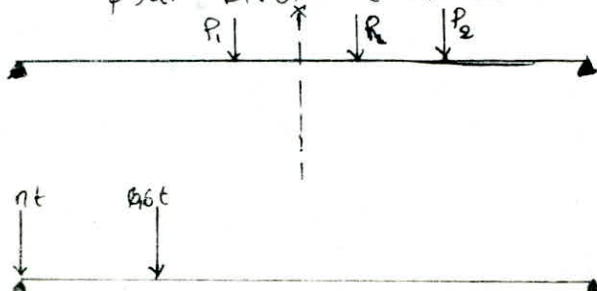
- charges permanentes :

$$M_G = q(L - 0,4)^2 = 15,2\text{ t.m}$$

$$T_G = q \frac{(L - 0,4)^2}{2} = 9,25\text{ t}$$

- Surcharges

Moment Fléchissant : On utilise le théorème de Barré pour avoir le moment maximum.



$$M_S^{\max} = 26,43\text{ t.m}$$

$$T_S^{\max} = 17,56\text{ t}$$

Efforts maximums

$$M = M_G + M_S = 41,68 \text{ t.m}$$

$$T = T_G + T_S = 26,8 \text{ t}$$

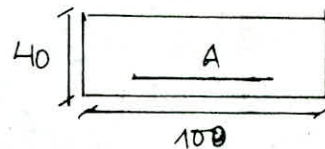
2.3.3 Ferraillage

$$M = 41,68 \text{ t.m}$$

$$\mu = \frac{15 M}{\bar{\sigma}_a \cdot b \cdot h} = 0,1823 \Rightarrow \begin{cases} \varepsilon = 0,8413 \\ K = 16,5 \end{cases}$$

$$A = \frac{M}{\bar{\sigma}_a \cdot \varepsilon \cdot h} = 48,55 \text{ cm}^2$$

$$\bar{\sigma}'_b = \frac{\bar{\sigma}_a}{K} = \frac{2800}{16,5} = 169,6 \text{ kg/cm}^2 < \bar{\sigma}'_b$$

2.3.4. Vérification de non fissuration

$$\bar{\sigma}_1 = 2072 \text{ kg/cm}^2$$

$$\bar{\sigma}_2 = 2037 \text{ kg/cm}^2 \Rightarrow \bar{\sigma}_a = 2072 \text{ kg} \Rightarrow A = 65,50 \text{ cm}^2$$

On prend 24T25

Dans l'autre sens on prend des armatures de répartition

$$A_2 = \frac{48,55}{4} = 12,03 \text{ cm}^2 \Rightarrow 6T16$$

2.3.5 Vérification au cisaillement

$$\bar{\tau}_{cb} = \frac{T}{b \cdot z} = \frac{T}{b \cdot \frac{7}{8} h} \leq \bar{\tau}_b = 1,1 \bar{\sigma}_b = 8,8 \text{ kg/cm}^2$$

$$\bar{\tau}_{cb} = \frac{26,8 \cdot 10^3}{100 \times 0,875 \times 35} = 8,75 < \bar{\tau}_b$$

2.4 Chevetre (Muz de Front)

Le muz de front est un muz sur lequel s'appuie le tablier et assure le soutènement des terres du remblais d'accès au pont.

2.4.1 Principe de calcul

L'étude du muz de front se fera suivant les hypothèses du bulletin

SETRA

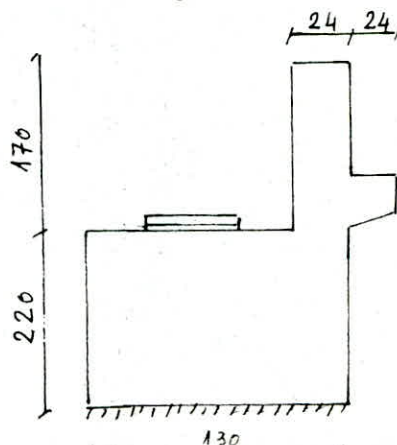
En calculant le rapport a/h

si $\frac{a}{h} \geq 2 \Rightarrow$ muz se comporte comme une console (on prend 1ml)

si $\frac{a}{h} < 2 \Rightarrow$ muz se comporte comme une dalle encastree sur 3 cotés

Pour notre cas $\frac{a}{h} = \frac{13,75}{3,9} = 3,5 > 2$

donc le muz se comporte comme



2.4.2 Evaluation des effets agissant sur le mur

pour l'évaluation des effets on fera l'étude pour la condition normale et la condition sismique

* pooids propre : $q_G = 2 \times 2,5 \times 5 = 55$ S: étant la surface du chevetre y compris le garde greve

$$S = 3,38 \text{ m}^2 \Rightarrow q_G = 16,9 \text{ t/m}$$

* charges et surcharges transmises par le garde greve :

- pousseé des terres : $\frac{1}{2} K_a \gamma h^2$
- pousseé de la charge localiséé : $\frac{12K}{0,75 + 2h}$
- freinage : $\frac{6\gamma}{0,25 + 2h}$

* charges et surcharges transmises par la dalle de transition

- charge permanente : D (1,25 h_D + 0,1 h_c)
- surcharge resultant de B_t

* surcharges transmises par le mur en retour

$$F_H ; F_V$$

En condition normale, le coefficient de pousseé des terres est donné par $K_a = \tan^2\left(\frac{\pi}{4} - \frac{\varphi}{2}\right)$

En condition sismique, le coefficient de pousseé à la base du mur est donné par la formule de MONOBE-OKABE

$$K_{ah} = \frac{\cos^2(\varphi + \alpha - \nu) \cos(\delta - \alpha)}{\cos^2\alpha \cdot \cos(\delta + \alpha + \nu) \left[1 + \sqrt{\frac{\sin(\varphi + \delta) \sin(\varphi - \alpha - \nu)}{\cos(\delta - \alpha + \nu) \cos(\alpha - \beta)}}\right]^2}$$

φ = angle de frottement : $\varphi = 30^\circ$

β = inclinaison de la culee : $\beta = 0$

α = angle de talus avec l'horizontale : $\alpha = 0$

δ = angle de frottement sol-béton : $\delta = 0$

$$V = \text{acc} \tan \frac{E_H}{1 \pm E_V} \quad E_V = \pm 0,07$$

$$E_H = 0,1$$

En condition normale : $K_{ah} = 0,33$

En condition sismique : $K_{ah} = 0,89$

* Culee à vide

Sollicitation	H(t)	V(t)	d	M t/m/ml	
Mur garde-greve	CN	1,24	0,5	-0,62	
	Sh	0,124	/	/	
	Sv		1,32	0,5	-0,66
Dalle de Transition	CN		11,2	0,85	9,52
	Sv	/	11,98	0,85	10,18
	Surch	17,56			/
pousseé des terres	CN	4,52		1,10	4,97
	CS	5,34			5,87
pousseé d'air	CN	2,4		1,95	4,68

	M(t)	V(t)	d	m t.m/ml
Tablier		30,43	0,3	9,13
Variation line	3,33		2,2	7,32
Freinage	2,3		2,2	5,06
total en CN	30,11	50,02	/	40,06
total en CS	34,44	63,54	/	45

A la base du mur de front nous avons comme effet en condition sismique (cas le plus défavorable)

$$H = 34,44 \text{ t}$$

$$V = 63,54 \text{ t}$$

$$M = 45 \text{ t.m}$$

2.4.3 Ferrailage du mur de front

condition sismique la plus défavorable on prend $\bar{\sigma}_a = \bar{\sigma}_{en} = 4200 \text{ kg/cm}^2$

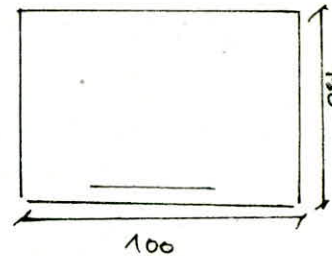
$$e_0 = \frac{M}{V} = 70,8 \text{ cm} > \frac{ht}{2} \Rightarrow \text{Section partiellement comprimée}$$

$$e_1 = e_0 + \frac{ht}{2} - d = 1,3 \text{ m} \Rightarrow M' = V \cdot e_1 = 82,6 \text{ t.m}$$

$$\mu = \frac{16 M'}{\bar{\sigma}_a b h^2} = 0,0189 \Rightarrow \begin{cases} \epsilon = 0,4394 \\ K = 67,5 \end{cases}$$

$$A_1 = \frac{M'}{\bar{\sigma}_a \epsilon h} = 16,75 \text{ cm}^2$$

$$A = A_1 - \frac{V}{\bar{\sigma}_{en}} = 1,62 \text{ cm}^2$$



Le bulletin SETRA nous préconise de prendre $A_{min} = 0,2\%$ de la section

$$A_{min} = 0,002 \times 100 \times 130 = 26 \text{ cm}^2 \Rightarrow \text{on prend } 10T20$$

Il sera par ailleurs disposé un ferrailage constructif de manière à former une cage, il sera donc adopté des T10 tous les 10 cm.

2-5. Ferrailage du Sommier d'appui

La Liaison tablier - appui est assurée par des appareils d'appuis discontinus, il y a risque de fissuration suivant le plan vertical et le plan oblique (à 45°). Pour parer à ce risque nous prévoyons des armatures de chaînage et des armatures de surface et d'éclatement.

2.5.1 Armature de chaînage:

Les documents de SETRA proposent une quantité d'acier pouvant équilibrer 0,25 fois la charge localisée la plus défavorable (Réaction d'appui max)

$$R_{max} = 43,36 \text{ t}$$

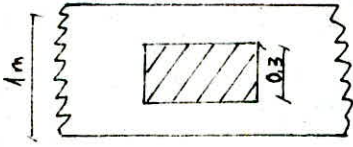
$$A = 0,25 \frac{R_{max}}{\bar{\sigma}_a} = 0,25 \frac{43,36 \cdot 10^3}{2800} = 3,87 \text{ cm}^2$$

on prendra 4T10

La propagation d'éventuelles fissures sera limitée par les armatures de flexion du mur frontal (armatures horizontales).

2.5.2 Armatures de surface et d'éclatement :

Nous disposerons de frettes au droit des appareils d'appui. La section des frettes doit être suffisante pour prendre un effort $N = 0,25 (1 - \delta) R_{max}$.



$$N = 0,25 \left(1 - \frac{0,3}{1,10}\right) 43,36 = 7,59 \text{ t}$$

$$A = \frac{N}{\sigma_a} = 2,71 \text{ cm}^2$$

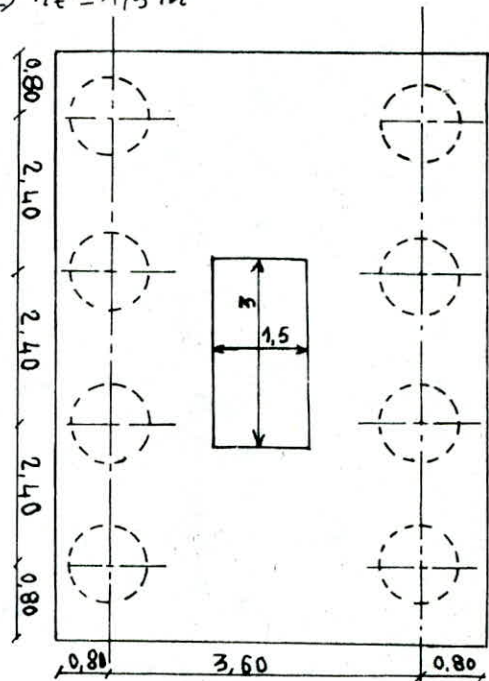
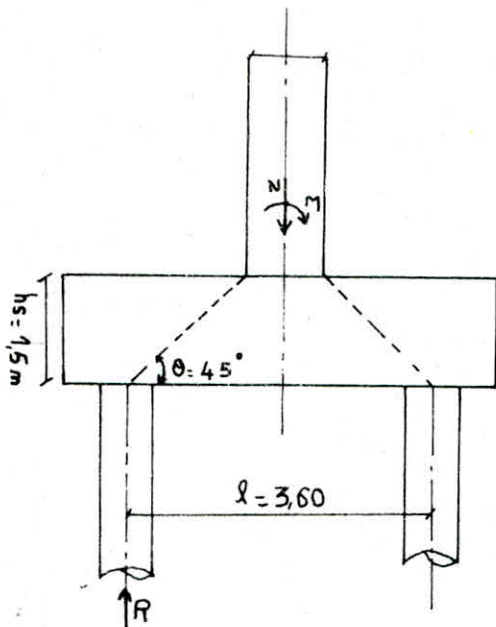
Nous disposerons une nappe de 4T 10 dans les 2 directions sous chaque appareil d'appui avec un enrobage de 2cm.

ETUDE DES FONDATIONS

1/ Semelle de liaison des pieux de la fondation de la pile

- La semelle étant un massif indéformable
- épaisseur de la semelle $h_t = 1,50$
- La bête forme un angle de 45° avec la base de la semelle

$$h_t \gg \frac{l}{2} - \frac{b}{4} = \frac{3,6}{2} - \frac{1,5}{4} = 1,425 \text{ m} \Rightarrow h_t = 1,5 \text{ m}$$



La section d'armatures transversales relatives à un couple de pieux est : $A_t = \frac{R_{\max}}{\sigma_a} \left(\frac{l}{2} - \frac{b}{4} \right) h$

calcul de R_{\max} :

* Poids propre de la semelle : $2,5 \times 5,2 \times 8,80 \times 1,5 = 171,6 \text{ t}$

* Surcharge du remblai sur la semelle : $2 \times (5,2 \times 8,80 - 3 \times 1,5) \times 1,5 = 123,78 \text{ t}$

Calcul de M et N à la base de la semelle

Conditions normales

$$N_{\max} = (1242,78 + 171,6 + 123,78) = 1538,16 \text{ t} \quad \left\{ \frac{N}{4} = 384,54 \text{ t} \right.$$

$$M = \left[7,8 \times (8,48 + 1,5) + 13,3 \left(4,24 + \frac{1,5}{2} \right) \right] = 144,21 \text{ t.m} \Rightarrow \frac{M}{4} = 36,05 \text{ t.m}$$

Conditions sismiques:

$$N_{\max} = \left[1309,9 + 1,07 (171,6 + 123,78) \right] = 1625,95 \text{ t} \Rightarrow \frac{N}{4} = 406,487 \text{ t}$$

$$M = 7,8 \times (8,48 + 1,5) + 95,9 \times \left(6,26 + 1,5 \times \frac{2}{3} \right) = 774,078 \text{ t.m} \Rightarrow \frac{M}{4} = 193,52 \text{ t.m}$$

$$\text{Conditions normales} \quad \left\{ \begin{array}{l} R_{\max} = \frac{N}{2} + \frac{M}{3,6} = 202,28 \text{ t} \\ R_{\min} = \frac{N}{2} - \frac{M}{3,6} = 182,25 \text{ t} \end{array} \right.$$

$$\text{Conditions sismiques} \quad \left\{ \begin{array}{l} R_{\max} = \frac{N}{2} + \frac{M}{3,6} = 257 \text{ t} \\ R_{\min} = \frac{N}{2} - \frac{M}{3,6} = 144,91 \text{ t} \end{array} \right.$$

Ferraillage

Dans le sens transversal

$$R_{\max} = 202,28 \text{ t} \quad ; \quad \sigma_0 = 2667 \text{ kg/cm}^2 \quad (\phi \geq 25 \text{ m})$$

Armatures inférieures.

$$A_i = \frac{202,28 \cdot 10^3}{2664} \left(\frac{3,6}{2} - \frac{1,5}{4} \right) = 77,19 \text{ cm}^2 \Rightarrow 16T25 = 78,56 \text{ répartie au niveau de}$$

chaque couple de pieux sur une bande de largeur égale $\phi + ht = 1,2 + 1,5 = 2,7 \text{ m}$
 (d'après les documents Setra)
 \Rightarrow espacement $e = 17 \text{ cm}$

entre les différentes bandes on disposera de $A'_i = \frac{1}{3} A_i = 26,18 \text{ cm}^2$ soit $6T25 = 29,45 \text{ cm}^2$

Armatures supérieures :

Nous prenons forfaitièrement $\frac{A_i}{8} \leq A_s \leq \frac{A_i}{3} \Rightarrow A_s = \frac{A_i}{5} = 15,71 \text{ cm}^2 \Rightarrow 16T12$
 $A'_s = \frac{A'_i}{5} = 6 \text{ cm}^2$ soit $6T12$

Vérification des contraintes sous l'effet du Seisme

$$R_{\max} = 257 \text{ t}$$

$$\bar{\sigma}_a = \frac{R_{\max} \left(\frac{1}{2} - \frac{b}{4} \right)}{A_i \cdot h} = \frac{257 \cdot 10^3 \left(\frac{3,6}{2} - \frac{1,5}{4} \right)}{78,56 \cdot 140} = 3306,4 \text{ kg/cm}^2 < \bar{\sigma}_a = 4000 \text{ kg/cm}^2$$

Armatures longitudinales

Armatures inférieures : $A_2 = \frac{A_1}{3} = 26,18 \text{ cm}^2/\text{ml}$ (6T25/ml)

Armatures supérieures : $A_{2s} = \frac{A_{s1}}{3} = \frac{15,71}{3} = 5,23 \text{ cm}^2$ (5T12/ml)

Ces armatures vont jouer le rôle des armatures de répartition

Vérification des contraintesVérification des contraintes de compression des billes

* Au niveau du poteau $\sigma'_b = \frac{N}{B \sin^2 \theta} \leq 0,6 \sigma'_b$

$$\theta = 45^\circ, N = 384,54 \text{ t}, B = 45000 \text{ cm}^2 \text{ (section du fût)} \Rightarrow \sigma'_b = 17,1 \text{ kg/cm}^2$$

$$\sigma'_b = 17,1 \text{ kg/cm}^2 \leq 0,6 \sigma'_b = 184 \text{ kg/cm}^2$$

* Au niveau du pieu

$$\sigma'_b = \frac{N}{2B \sin^2 \theta} = 34 \text{ kg/cm}^2 \leq 0,6 \sigma'_b = 184 \text{ kg/cm}^2$$

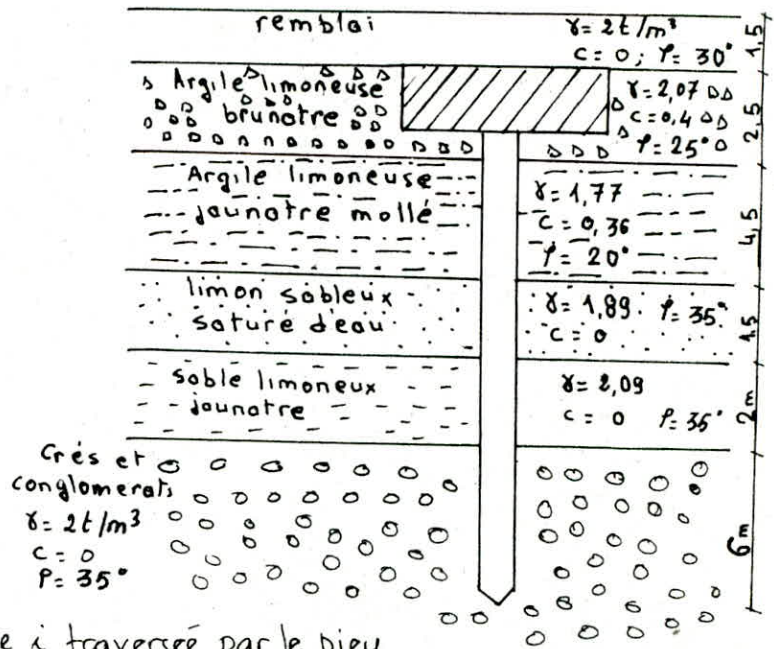
2/ Etude des pieux2.1 Capacité portante des pieux

La force portante admissible d'un pieu est alors $\bar{Q}_p = \frac{Q_p}{F_s}$, F_s : coefficient de sécurité = 2

Q_p : résistance en pointe du pieu.

$$Q_p = \frac{\pi B^2}{4} \left[N_q \sum \gamma_i D_i + 1,3 C_{nc} \right]$$

Profondeur du pieu = 15m



$B = 1,2 \text{ m}$ (ϕ du pieu)

γ_i : masse volumique de la couche i traversée par le pieu

c : la cohésion de la couche où le pieu est ancré $c=0$

N_q, N_c coefficients dépendant des caractéristiques meca de la couche où le pieu est ancré

D'après le tableau de Caquot - Kerisel \rightarrow pour $\phi = 35^\circ \Rightarrow \begin{cases} N_q = 33,3 \\ N_c = 46,1 \end{cases}$

Calcul de hauteur critique h_c

$$h_c = \frac{8}{4} N_q^{2/3} = 3,1 \text{ m} < D_p = 6 \text{ m}$$

$$Q_p = 565 \text{ t} \Rightarrow \bar{Q}_p = \frac{Q_p}{F_s} = 282,5 \text{ t}$$

2-2. Justification des pieux

2-2-1 Pieux sous piles.

Nous avons 8 pieux réparties en 2 files (4 pieux par file)

Condition à vérifier $Q_G + Q_S \leq \bar{Q}_p$

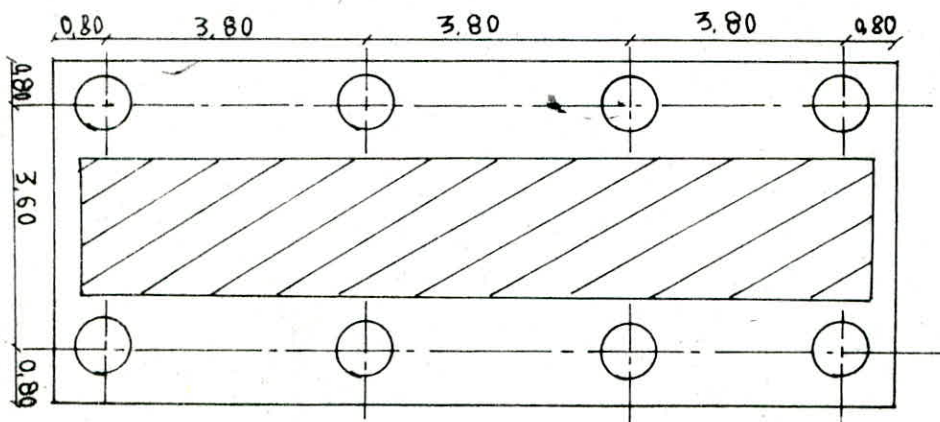
$$Q_G + Q_S = 202,28 \text{ t} \text{ (conditions normales)}$$

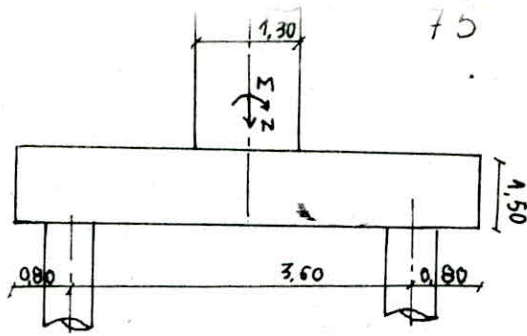
On a bien $Q_G + Q_S = 202,28 \text{ t} < \bar{Q}_p = 282,5 \text{ t}$

Conditions Sismiques

$$Q_G + Q_S = 257 \text{ t} < 1,33 \bar{Q}_p = 375,725 \text{ t} \text{ donc c'est bon}$$

Semelle de liaison des pieux sous culée





Suivant la largeur, on utilisera la méthode RDM.

le moment est calculé dans la section située à la distance $\frac{a}{4}$ de l'axe du voile

Effort à la base de la culée.

$$M_{tot} = 512,768 \text{ t.m} \quad (\text{conditions normales})$$

$$N_{tot} = 1293,75 \text{ t.m}$$

$$Q_{max} = \frac{N_{tot}}{8} + \frac{M}{4d} = \frac{1293,75}{8} + \frac{512,768}{4 \times 3,6} = 197,32 \text{ t}$$

$$M\left(\frac{a}{4}\right) = Q_{max} \left[\frac{d}{2} - \frac{a}{4} \right] = 197,32 \left[\frac{3,6}{2} - \frac{1,3}{4} \right] = 292,06 \text{ t.m}$$

$$A = \frac{M}{3\sigma_a} \quad \text{avec } \gamma = \frac{7}{8} h = \frac{7}{8} \times 1,40 \Rightarrow A = 89,08 \text{ cm}^2$$

$$\cdot (\bar{\sigma}_a = 2667 \text{ kg/cm}^2 \text{ car } \phi \gg 25 \text{ mm}) \Rightarrow 11T32$$

Ces armatures seront disposées sur une largeur de $(\phi + ht) = 2,7 \text{ m}$ axé sur chaque couple de pieux avec $e = 25 \text{ cm}$ et entre chaque couple de pieux on mettra 4T32

Armatures supérieures $\left\{ \begin{array}{l} 11T14 \text{ au niveau des bandes de pieux} \\ 4T14 \text{ entre les différentes bandes} \end{array} \right.$

Suivant la longueur

$$\text{On prendra } A = \frac{A_1}{3} = \frac{89,08}{3} = 29,7 \text{ cm}^2$$

soit 10T20 (armatures inférieures)

9T12 (armatures supérieures)

Vérification au non poinçonnement.

$$\bar{\sigma} = \frac{P}{b \times \gamma} < \bar{\sigma}_b \quad \text{avec } b = b_s + \phi = 1,5 + 1,2 = 2,7 \text{ m}$$

$$P = R_{max} = Q_{max} = 197,32 \text{ t} \Rightarrow \bar{\sigma} = \frac{197,32 \times 10^3}{270 \times \frac{7}{8} \times 140} = 5,96 \text{ kg/cm}^2 < \bar{\sigma}_b = 7,5 \text{ kg/cm}^2$$

donc on a pas de risque au poinçonnement

Calcul des pieux sous culée :

Effort le long du pieu

$$H^* = \frac{H}{\eta} \quad \eta = 8$$

les pieux étant considérés en castrés à la semelle rigide ne subissant pas de rotation en tête ($\varphi = 0$)

Pour cela le sol développe un moment fléchissant (reaction)

$$M^* = -X_{PH^*} H^* \\ X_{PM^*} \lambda$$

le moment fléchissant selon la théorie de HEINRICH WERNER est:

$$M(x) = M^* X_{\omega_{M^*}}(x) + \frac{M^*}{\lambda} X_{\omega_{H^*}}(x)$$

A. P

Sous les sollicitations du 1^{er} genre

$H = 30,11 \times 12,8 = 385,4 \text{ t}$ d'où l'effet horizontal en tête de pieu est $H^* = \frac{H}{8} = 48,17 \text{ t}$

X_{PH^*} , X_{PM^*} et λ ont été déjà définis

$$M^* = - \frac{1,26}{1,54} \cdot 48,17 = -149,3 \text{ t.m}$$

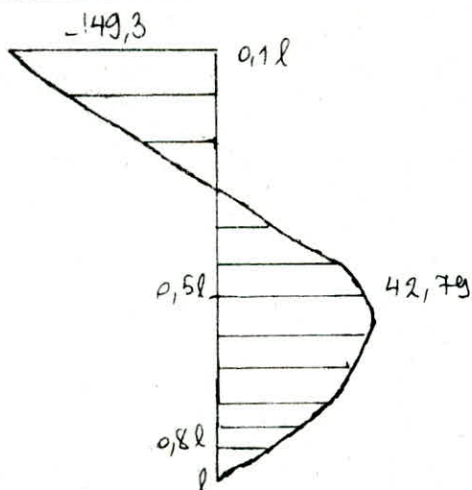
$$M(x) = -149,3 X_{\omega_{M^*}}(x) + 182,46 X_{\omega_{H^*}}(x)$$

Sollicitation du 2^{ème} genre

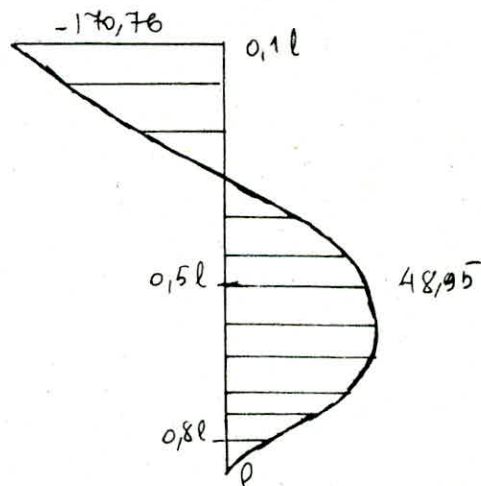
$H = 34,44 \times 12,8 = 440,8 \Rightarrow H^* = 55,1 \text{ t} \rightarrow M^* = -170,76 \text{ t.m}$

$$M(x) = -170,76 X_{\omega_{M^*}}(x) + 208,7 X_{\omega_{H^*}}(x)$$

x	0,1l	0,2l	0,3l	0,4l	0,5l	0,6l	0,7l	0,8l
$X_{\omega_{H^*}}$	0,38	0,60	0,66	0,60	0,48	0,30	0,18	0,07
$X_{\omega_{M^*}}$	0,98	0,88	0,70	0,50	0,30	0,18	0,08	0,02
M^* 1 ^{er} genre	-76,9	-21,9	15,9	34,82	42,79	27,86	20,89	9,78
M^* 2 ^{ème} genre	-88,03	-25,05	18,21	39,84	48,95	31,87	23,9	11,19



Sollicitation du 1^{er} genre



Sollicitation du 2^{ème} genre

Ferraillage du pieu

* Armatures longitudinales

La section en tête de pieu est nettement plus sollicitée que les autres

$$M = 149,3 \text{ t.m} \quad , \quad N_{\min} = \frac{1293,75}{8} - \frac{512,768}{4 \cdot 3,6} = 126,1$$

$$r = \text{rayon du pieu} = \frac{1,20}{2} = 0,6 \text{ m} \quad d = 0,06 \text{ m}$$

$$e = \frac{M}{N} = 1,18 > \frac{R}{4} = 0,15 \Rightarrow \text{Section partiellement comprimée (d'après aide mémoire DAVIDOVICCI)}$$

$$K_e = \frac{N \cdot r}{M} = \frac{126,1 \times 0,6}{149,3} = 0,506$$

$$K_a = \frac{M}{r^3 \bar{\sigma}_a} = \frac{149,3 \cdot 10^5}{60^3 \times 2667} = 0,026 \rightarrow \bar{\omega} = 1,11\%$$

$$A = \frac{\pi r^2 \bar{\omega}}{100} = \frac{60^2 \times 1,11 \times 3,14}{100} = 125,5 \text{ cm}^2 \Rightarrow 16 \text{ T32}$$

Vérification des contraintes

$$K_e = \frac{N \cdot r}{M} = 0,506$$

$$\bar{\omega} \% = 1,11\% \Rightarrow \begin{cases} K_b = 0,56 \\ K = 21,23 \end{cases}$$

$$\Rightarrow \begin{cases} \sigma'_b = \frac{M}{K_b \cdot r} = \frac{149,3 \cdot 10^5}{0,56 \cdot 60} = 123,4 \text{ kg/cm}^2 < \bar{\sigma}'_b = 151 \text{ kg/cm}^2 \\ \sigma_a = K \cdot \sigma'_b = 21,23 \times 123,4 = 2620,4 \text{ kg/cm}^2 < \bar{\sigma}_a = 2667 \text{ kg/cm}^2 \end{cases}$$

Vérification du 2^{ème} genre

$$\begin{cases} N' = 142,8 \\ M^* = 170,76 \end{cases} \Rightarrow \begin{cases} K_e = 0,50 \\ \bar{\omega} = 1,11\% \end{cases} \Rightarrow \begin{cases} K_b = 0,56 \\ K = 21,23 \end{cases}$$

$$\Rightarrow \begin{cases} \sigma'_b = 123,4 \text{ kg/cm}^2 < 1,5 \times 151 = 226,5 \text{ kg/cm}^2 \\ \sigma_a = 2620,4 \text{ kg/cm}^2 < 4000 \text{ kg/cm}^2 \end{cases}$$

Armatures transversales

Spires $\phi 12$ comme armatures transversales (Cercles hélicoïdales)

- Zone de recouvrement une spire $\phi 12$ tous les 10 cm
- Zone courante une spire $\phi 12$ tous les 15 cm

Une cerce $\phi 20$ tous les 2m

Les pieux des piles sont moins sollicités que ceux des culées, ils seront ferrillés comme les pieux des culées

BIBLIOGRAPHIE

- BARES-MASSONNET

"Calcul des grillages de poutres et dalles orthotropes"

- P. CHARRON

"Calcul et la vérification des ouvrages en béton armé"

- Règles techniques de C.C.B.A 68

- DAVIDOVICI :

"Béton armé, collection aide-mémoire" édition Dunod

- DREUX G.

"Pratique du béton précontraint"

- Ministère de travaux publics

"Cahier des prescriptions communes"

- Ministère des transports

"Instructions provisoires N° 1 et 2 Sur l'emploi du béton précontraint"

- TABLES DE WERNER:

"Beton und Stahlbetonbau"

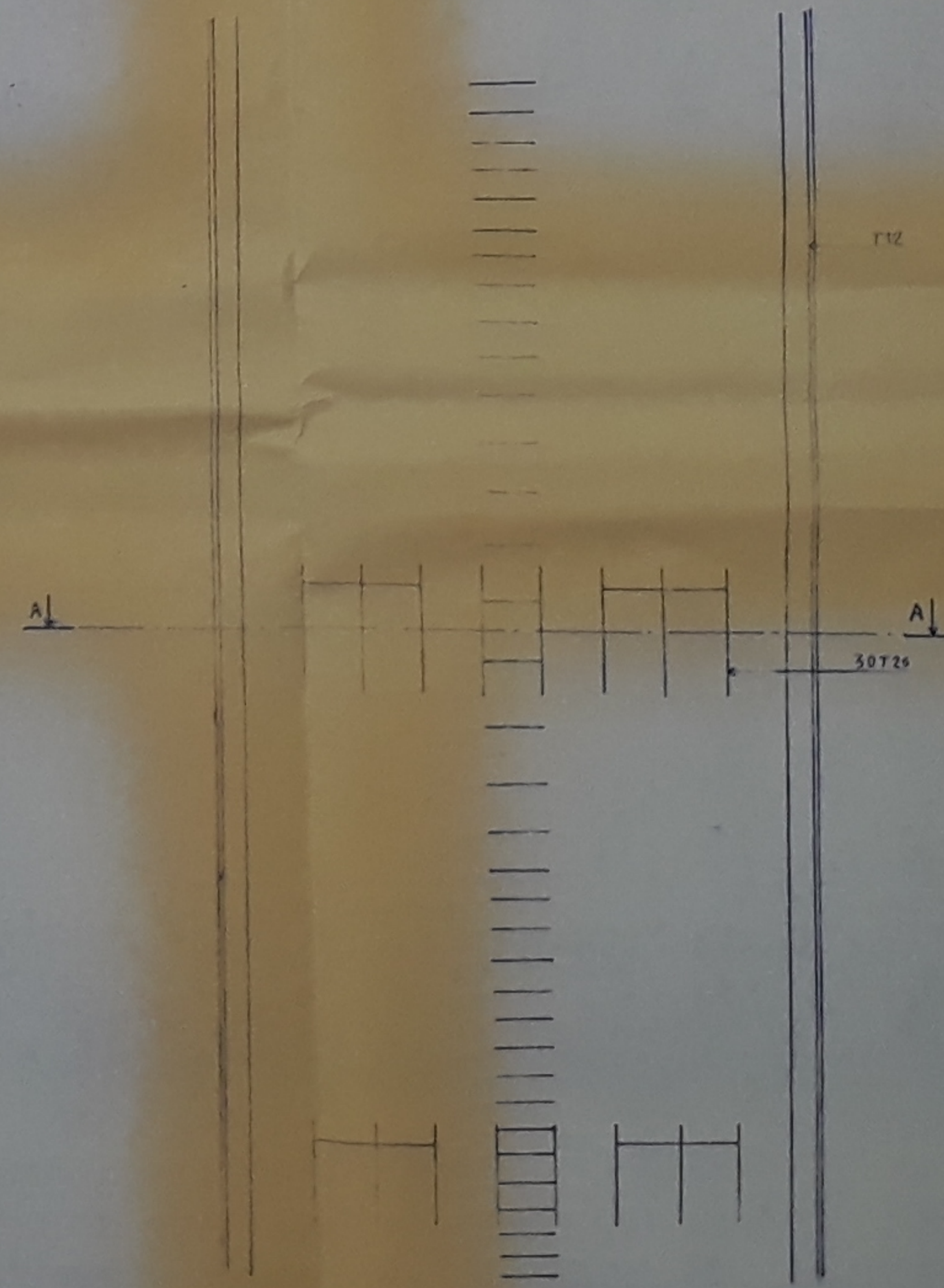
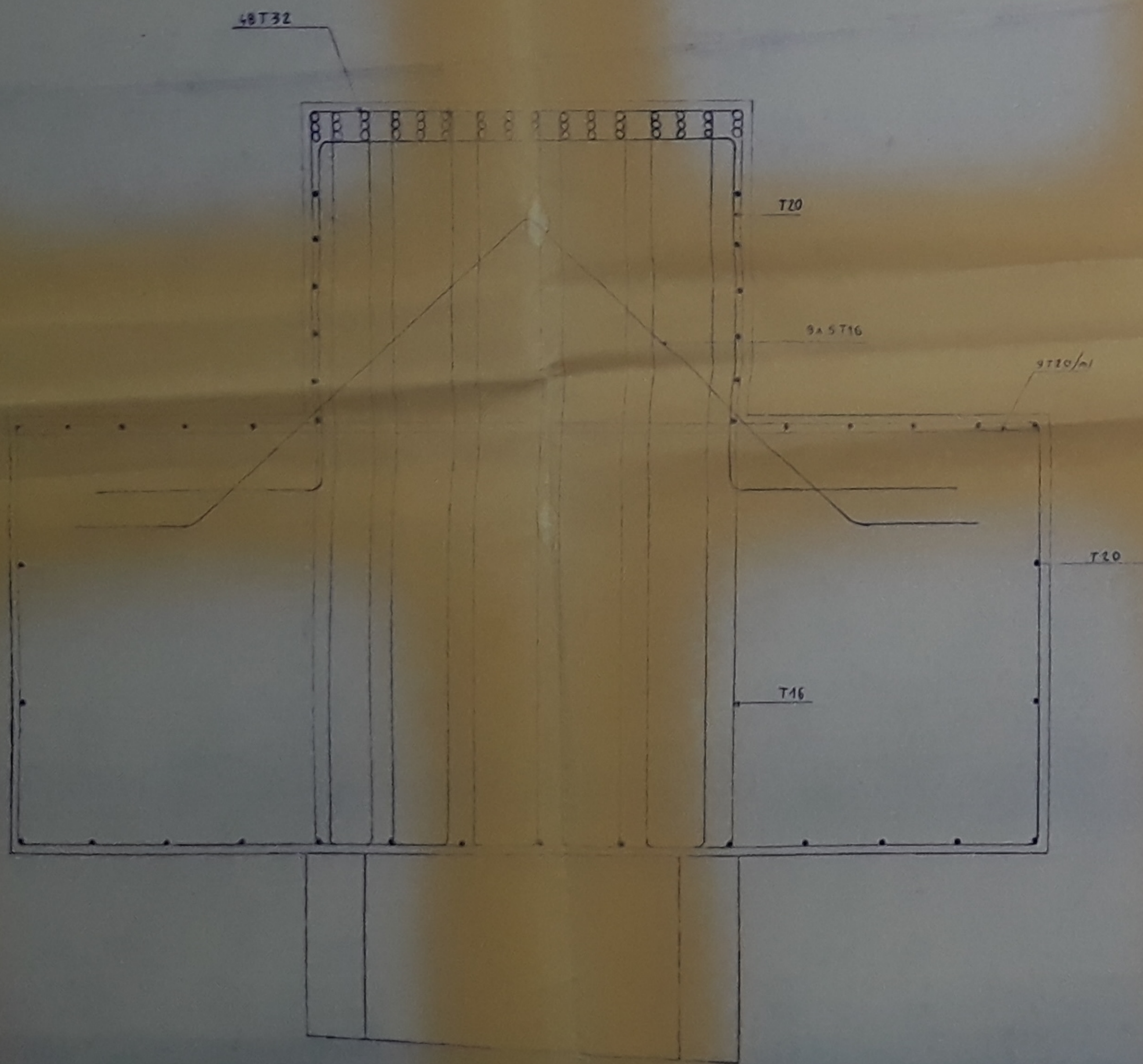
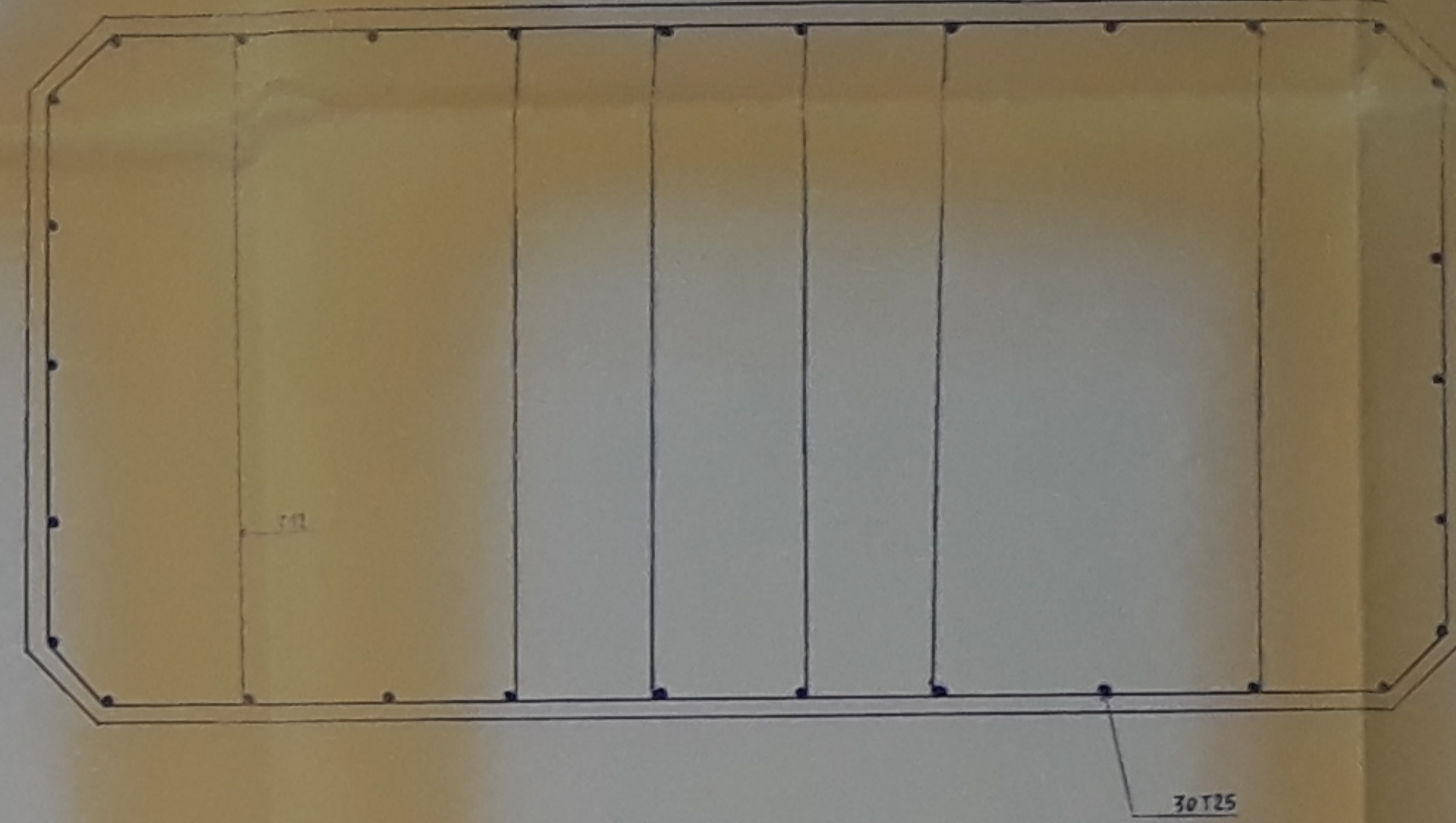
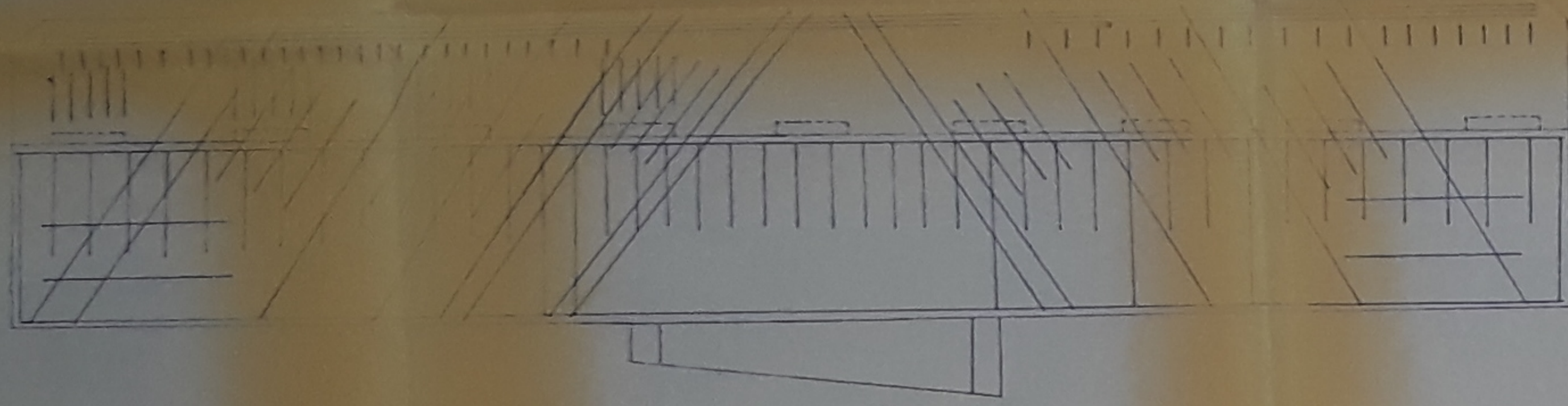
- Bulletins SETRA (Service d'études techniques des routes et autoroutes)

"Appuis des tabliers, calcul complémentaire; Fermeture-type; etc..."

CHEVETRE

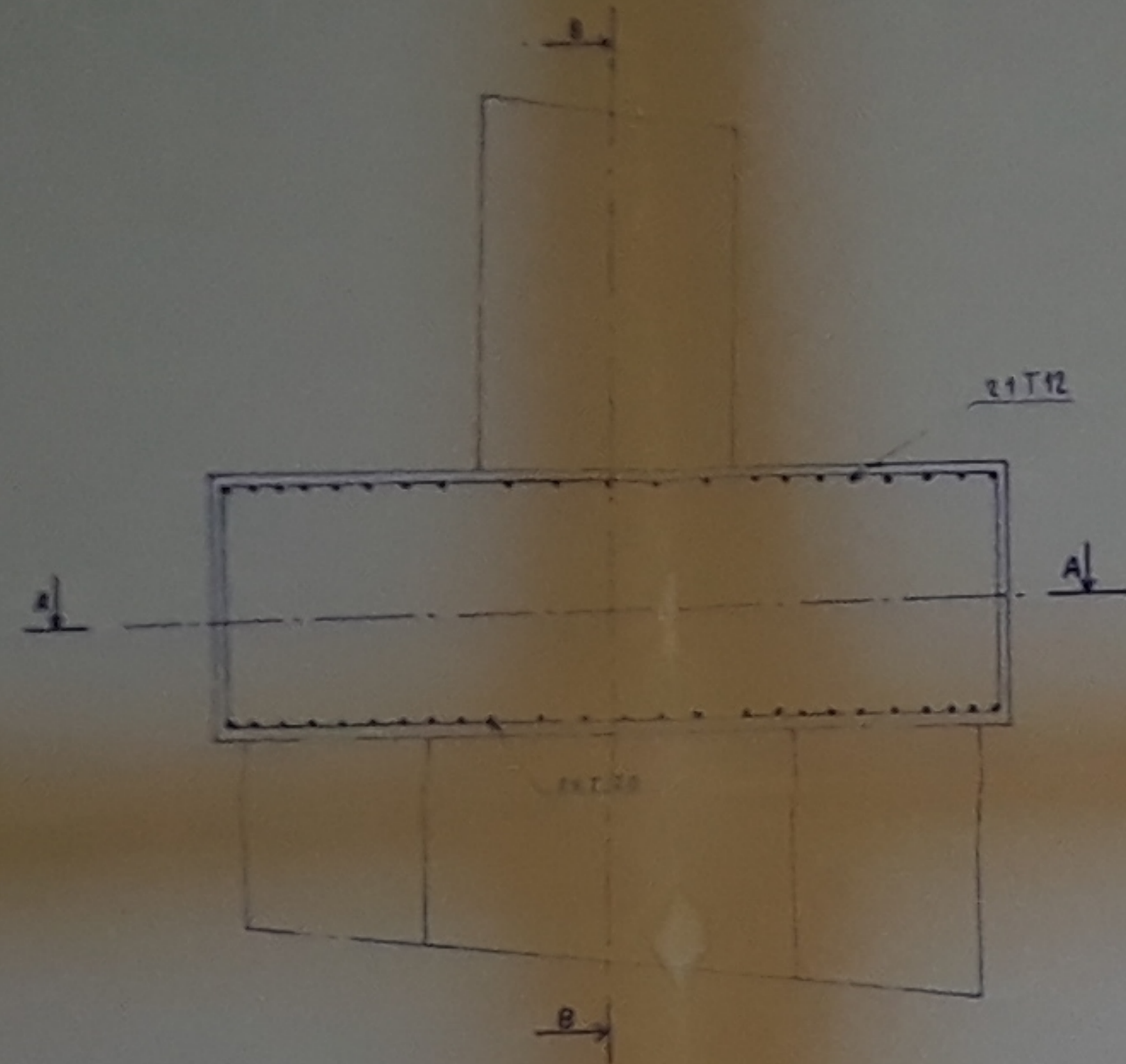
FUT

COLPE AA.

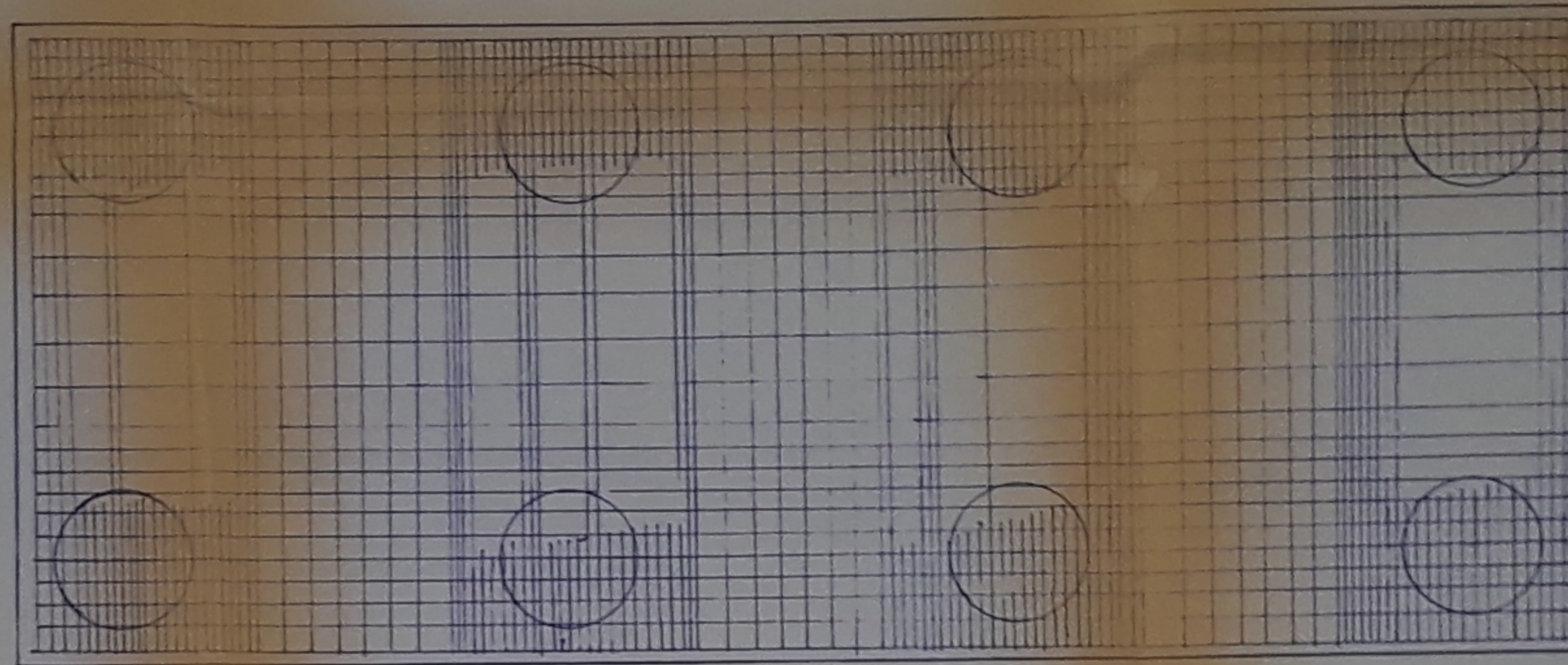


PB04486
-1-

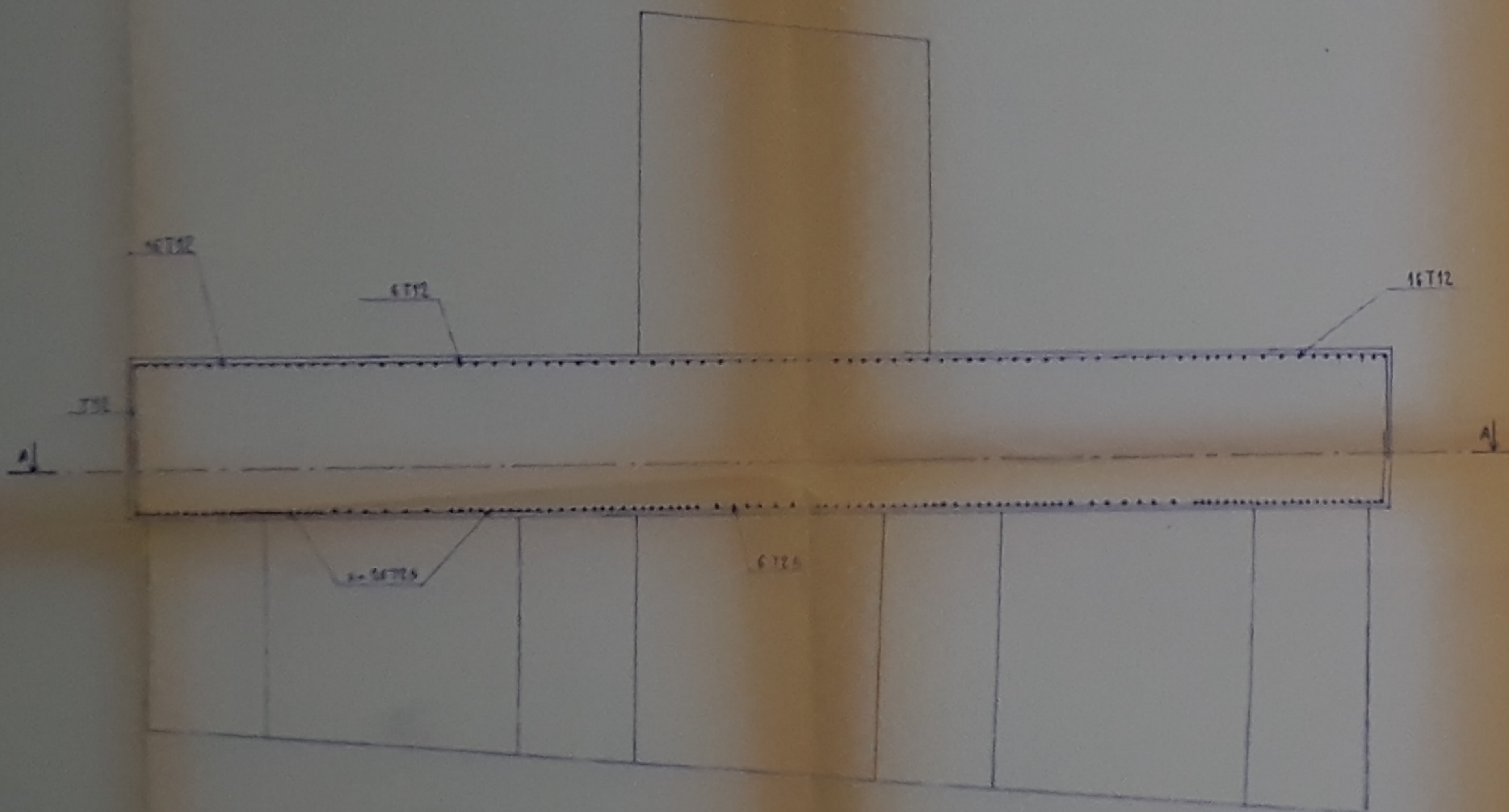
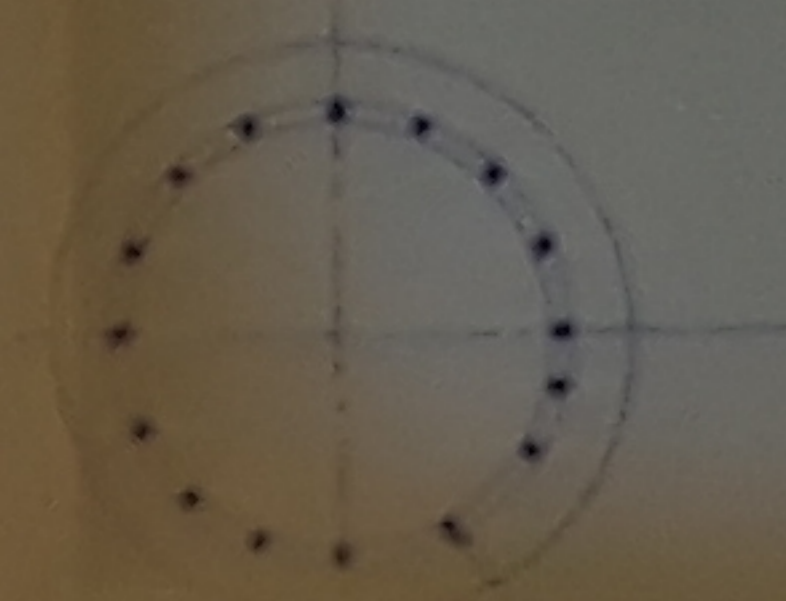
SOCIÉTÉ ALGÉRIENNE DE RECHERCHES ET DE REALISATION D'OUVRAGES D'ARTS	
ÉCOLE NATIONALE POLYTECHNIQUE	
DÉPARTEMENT DE GÉNIE CIVIL	
PROMOTION JUIN 86	
PONT A POUTRES MULTIPLES EN BETON PRECONTRAIT	
PROJET DE FIN D'ÉTUDES	
CHEVETRE DES PILES	
FERRAILLAGE	
ÉTUDE PAR	D. BELHADJI A. DJELLOULI
DIRIGÉ PAR	M. BRANCI
ÉCHELLE 1/40	PLAN N°1



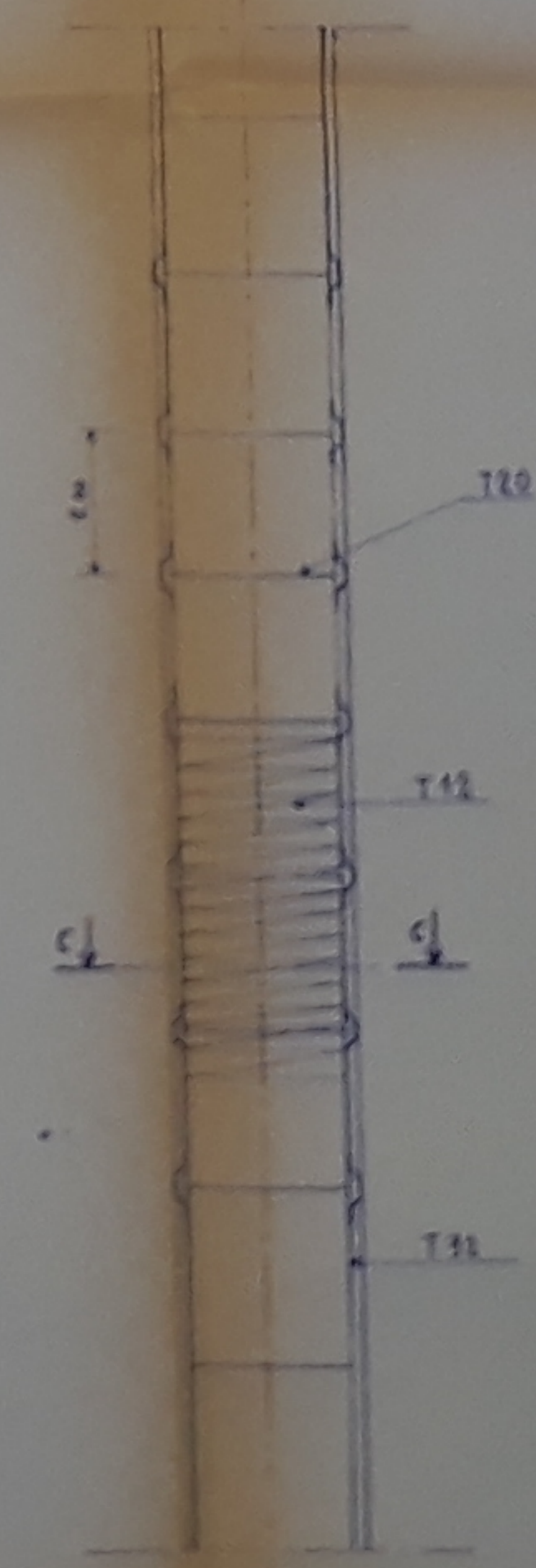
COUPE .AA



COUPE .CC



COUPE .BB



PIEU

DB 04/86
- 2 -

REPUBLIQUE ALGERIENNE DEMOCRATIQUE ET POPULAIRE
SOCIETE ALGERIENNE D'ETUDE ET DE REALISATION D'OUVRAGES D'ARTS
Ecole Nationale Polytechnique
DEPARTEMENT DE GENIE CIVIL

PROMOTION JUIN 86

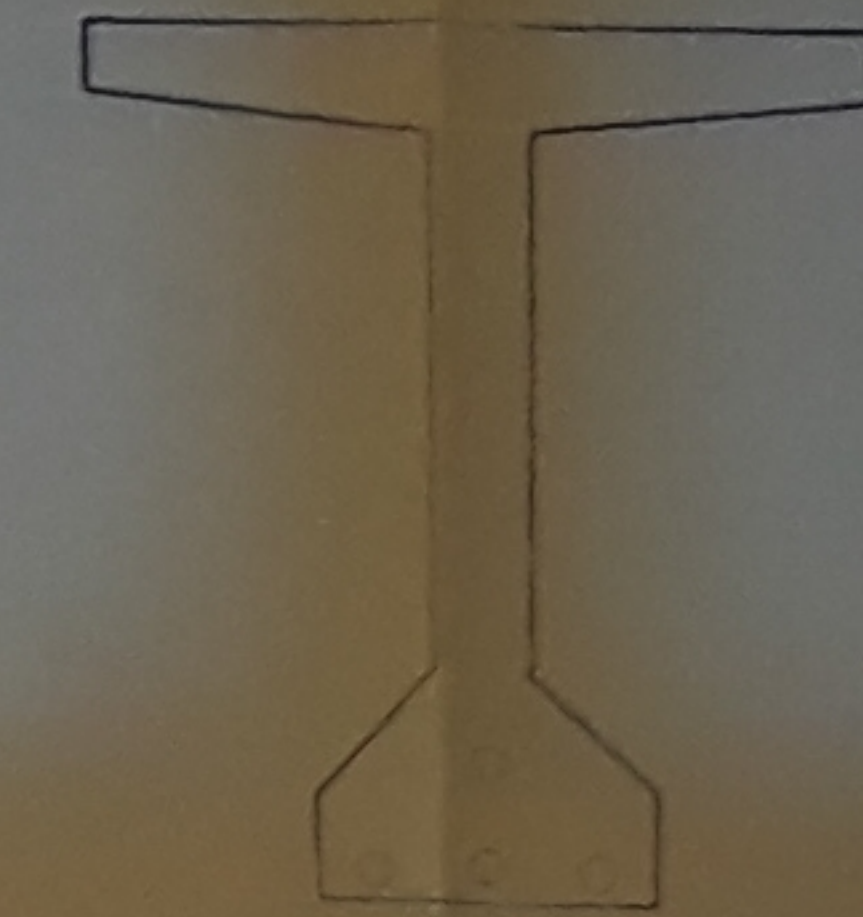
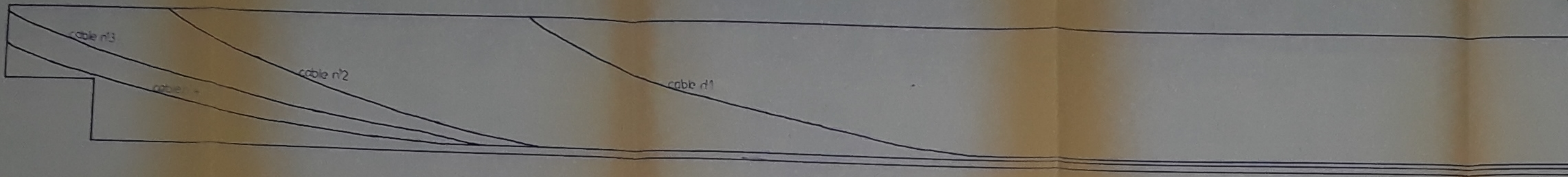
PROJET DE FIN D'ETUDES

SEMELLE ET PIEU SOUS PILE
FERRAILLAGE

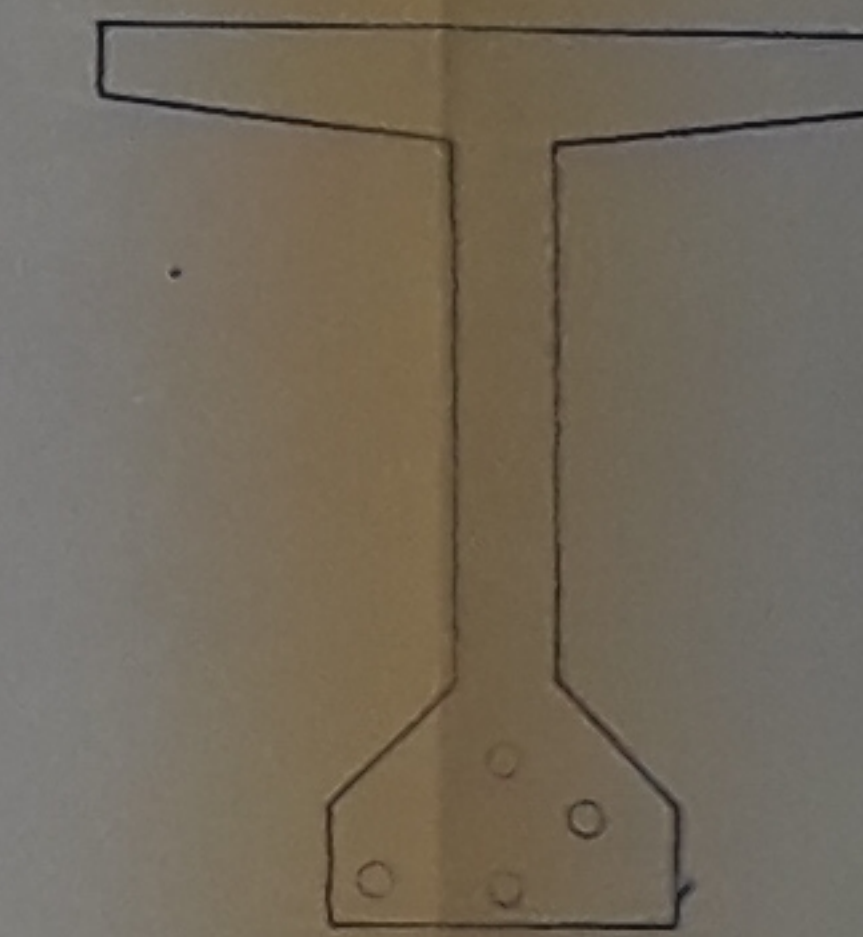
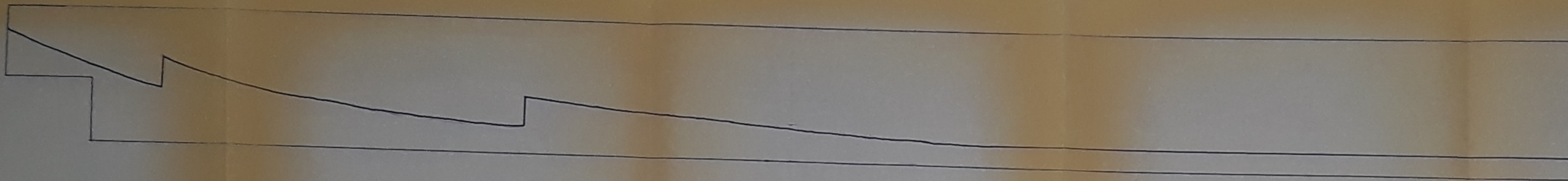
ETUDE PAR A. DJELLOULI

ORIGINE PAR M. BRANCI

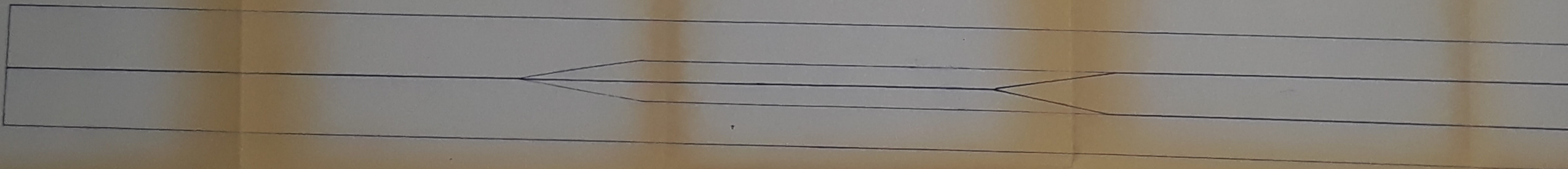
RELEVAGE DES CABLES



CABLE EQUIVALENT

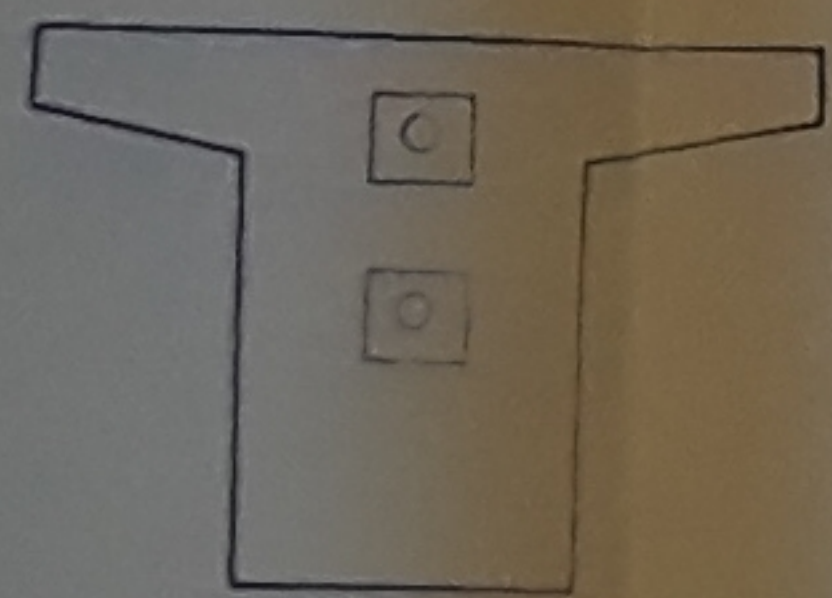


VUE EN PLAN

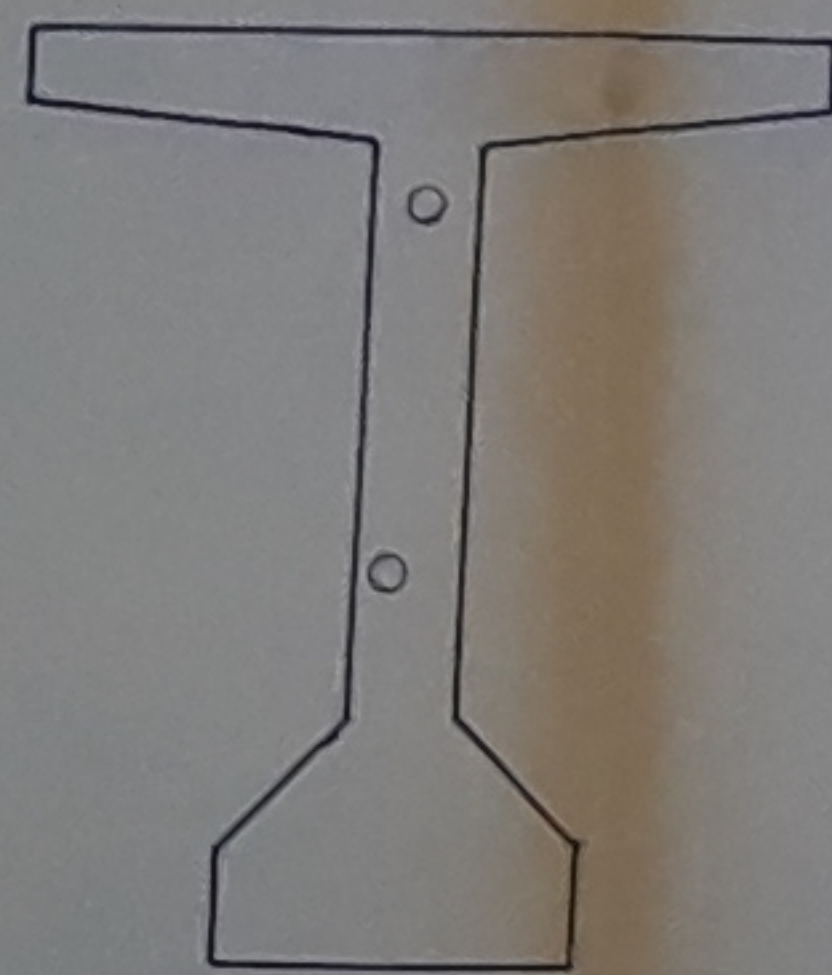


SECTION L4

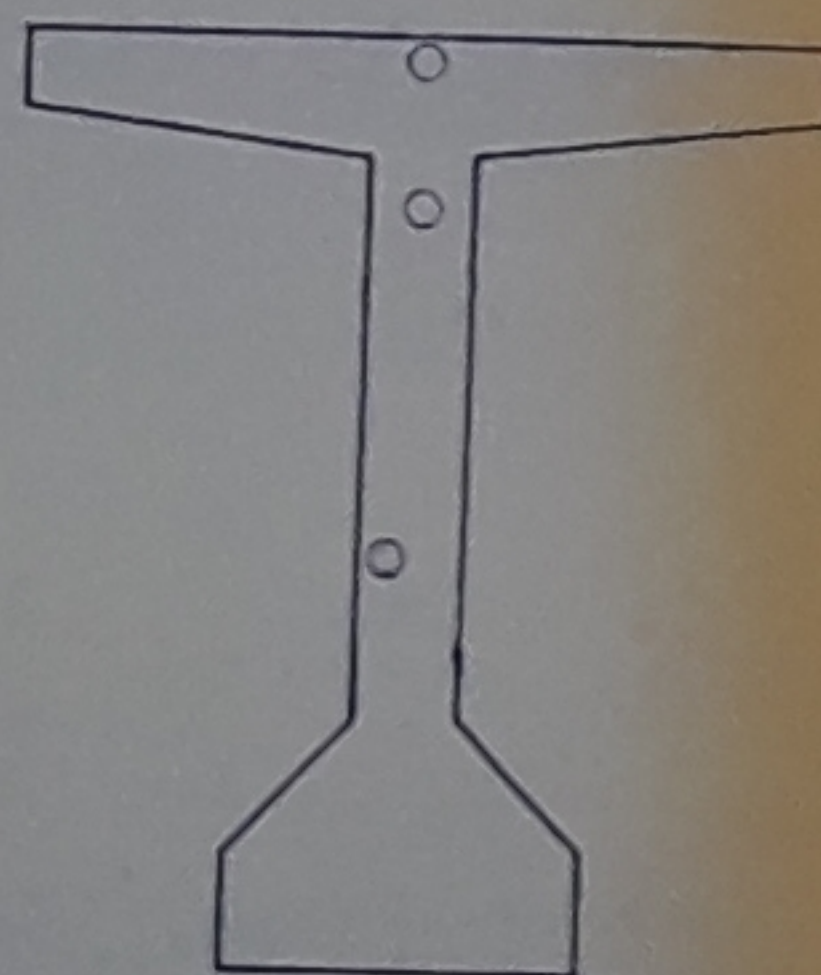
PBO 24 86
-3-



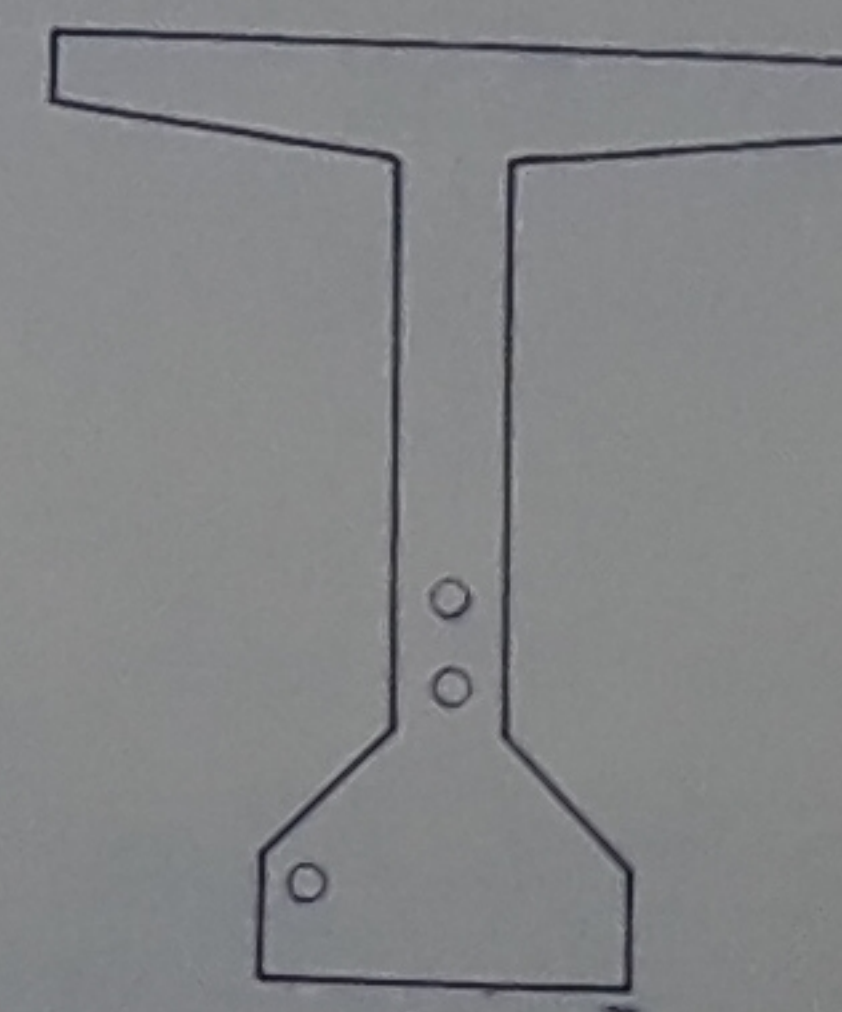
section d'essai



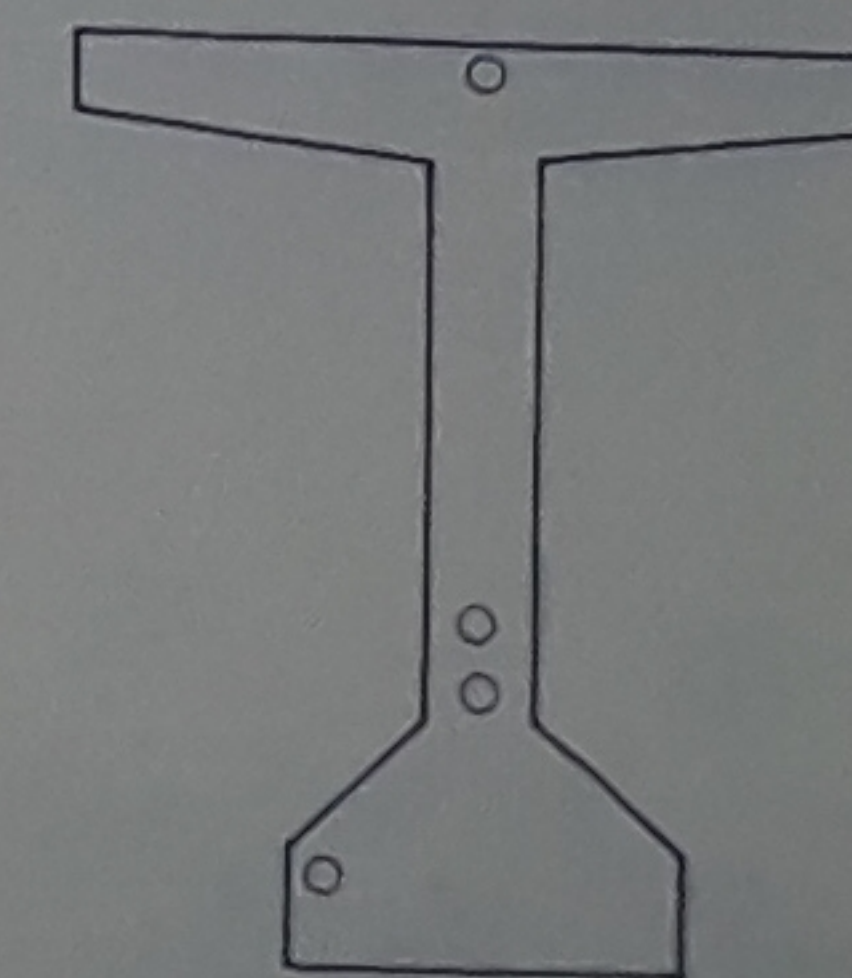
section juste apres l'emergence
du cable n°2



section juste avant l'emergence
du cable n°2



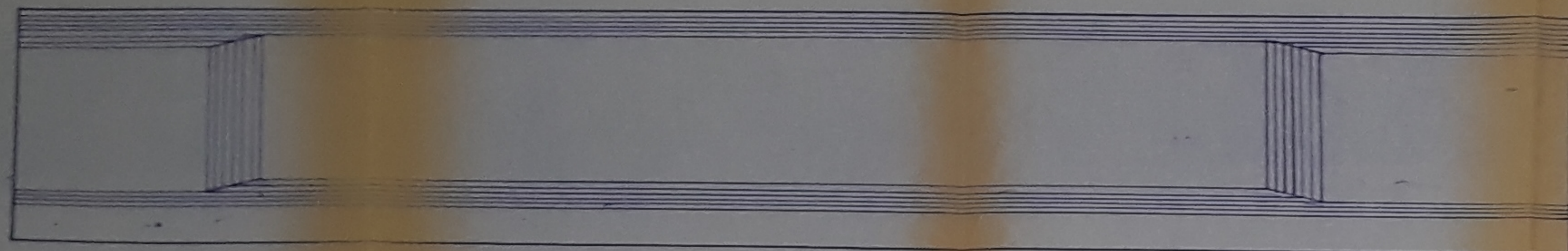
section juste apres l'emergence
du cable n°1



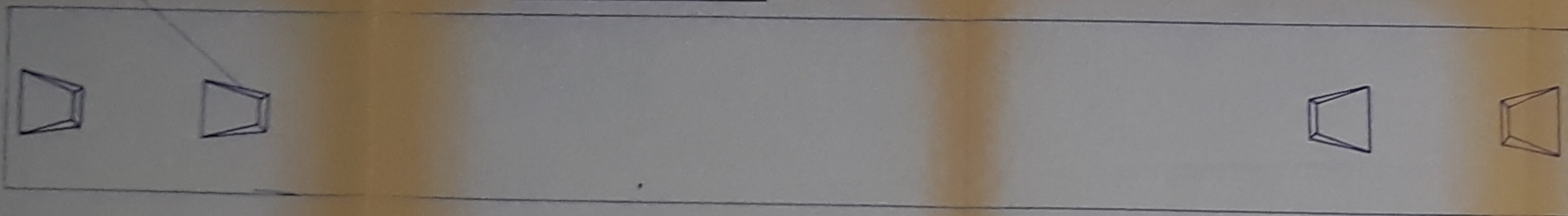
section juste avant l'emergence
du cable n°1

REPUBLIQUE ALGERIENNE DEMOCRATIQUE ET POPULAIRE
SOCIETE ALGERIENNE D'ETUDES ET DE REALISATION, DOUVRAGES, D'ARTS
Ecole Nationale Polytechnique
DEPARTEMENT DE GENIE CIVIL
PROMOTION JUIN 86
PONT A POUTRES MULTIPLES EN BETON PRECONTRAIN
PROJET DE FIN D'ETUDES
LES CABLES DE LA POUTRE PREFABRIQUEE
D. BELHADJI
ETUDE PAR: A. QUELLOU
DIRIGE PAR: M. BRANCI
PLAN N°3

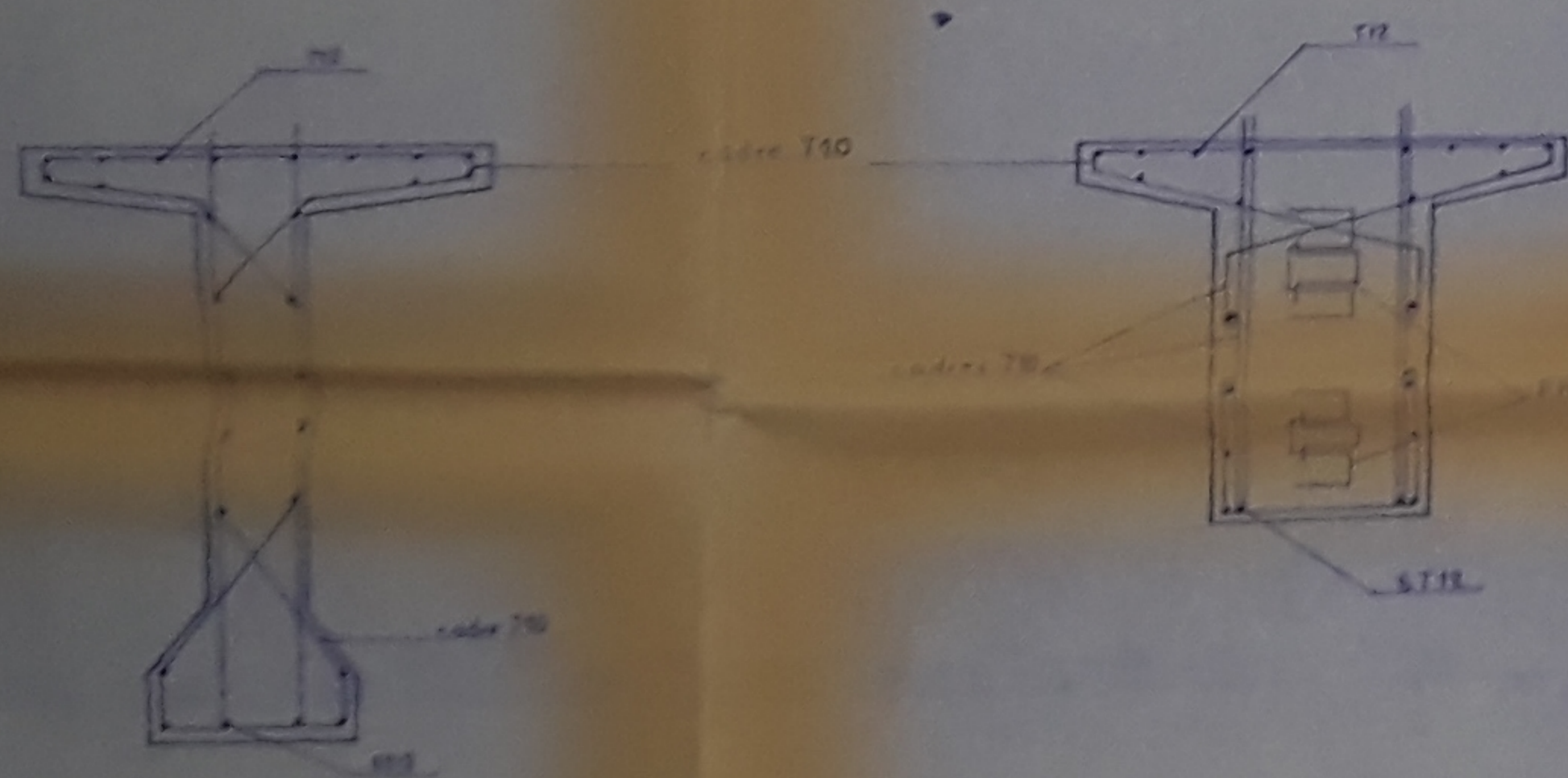
COFFRE DE LA POUTRE



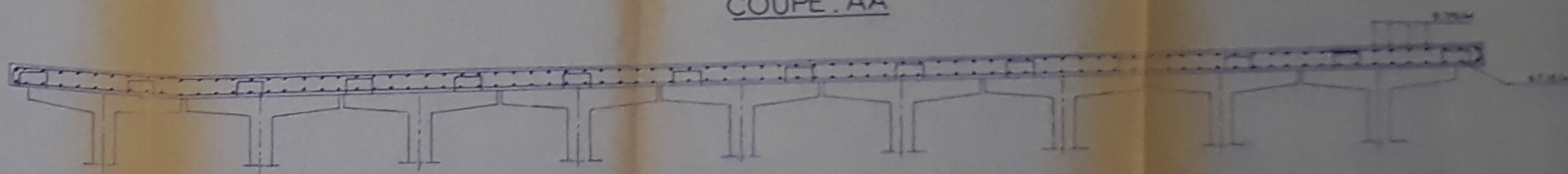
VUE EN PLAN



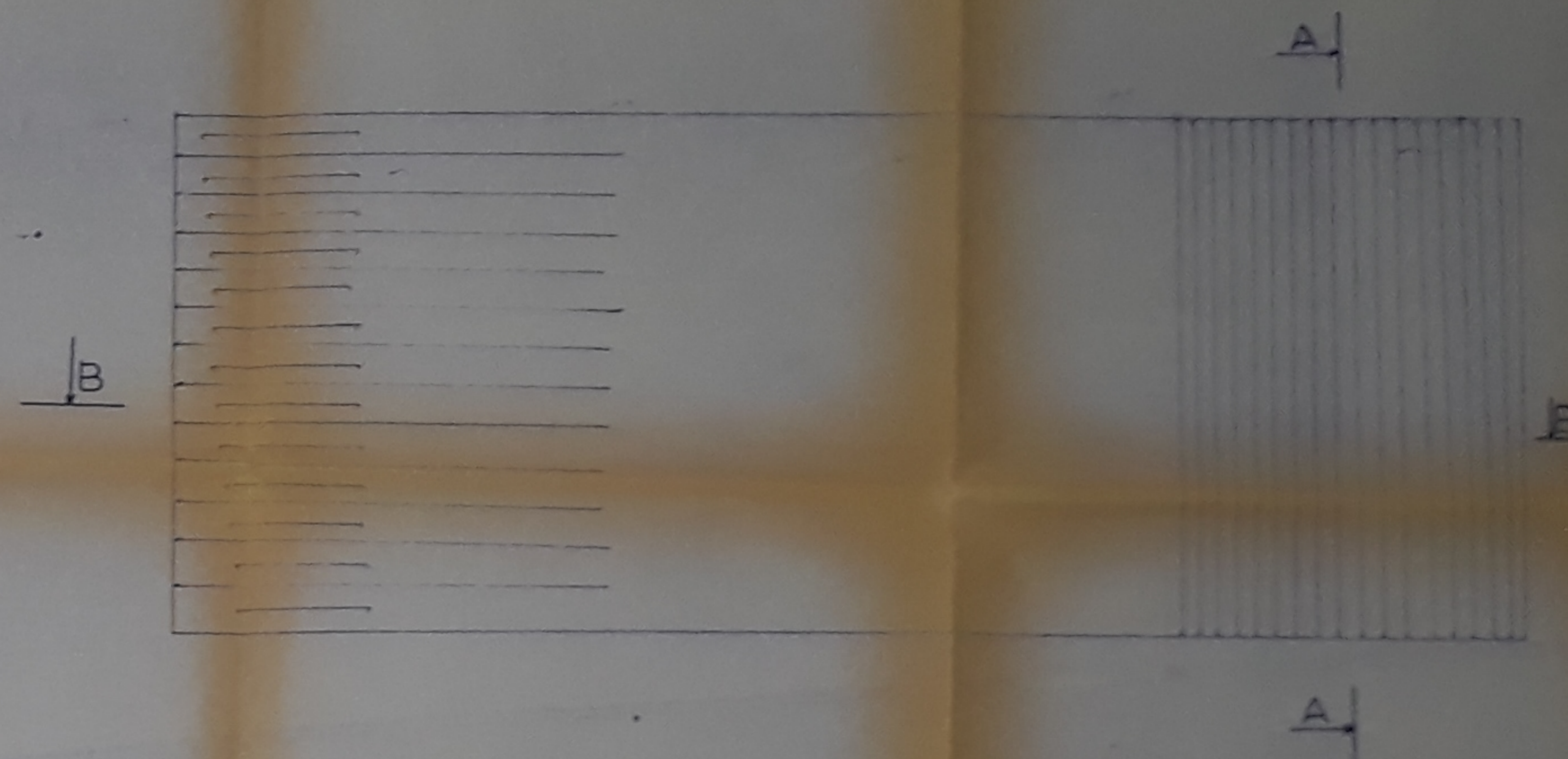
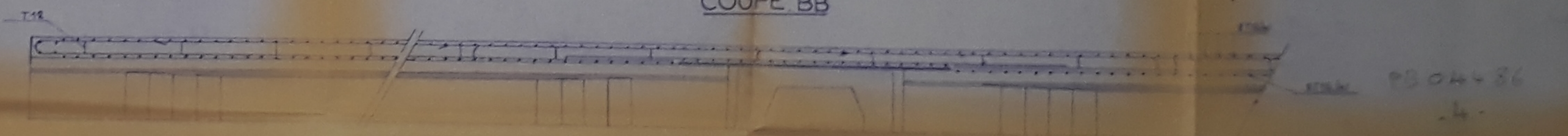
FERRAILLAGE PASSIF DE LA POUTRE



COUPE AA



COUPE BB

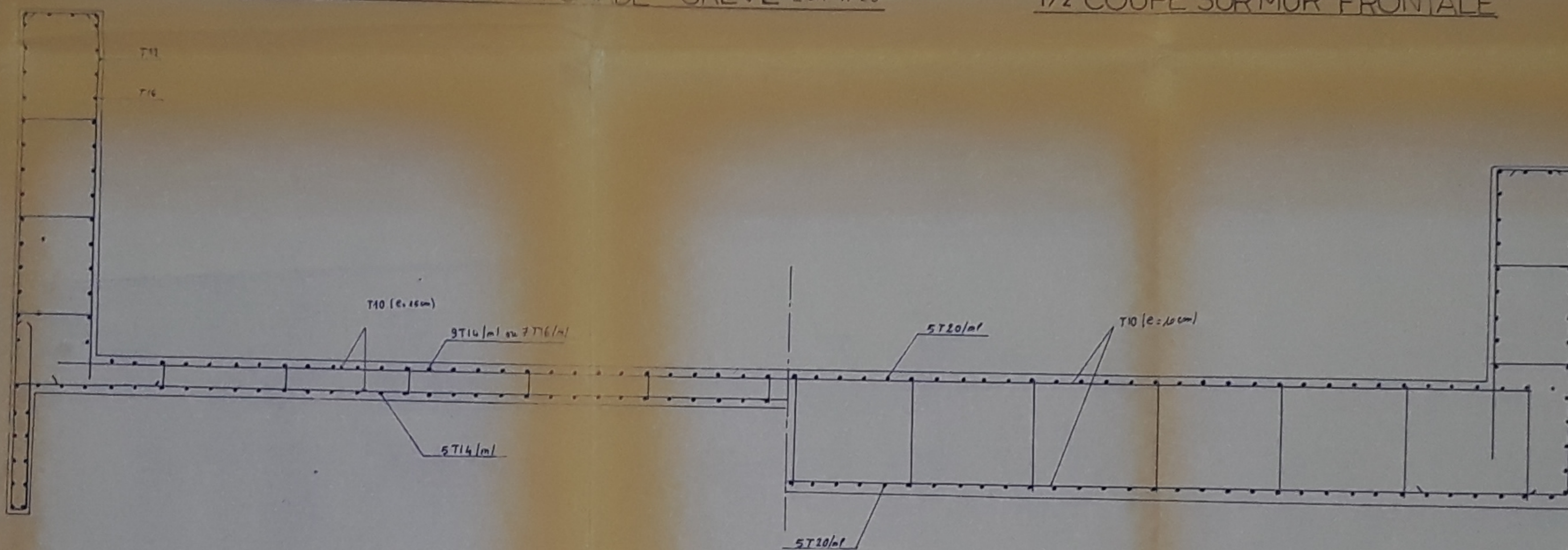


SOCIÉTÉ ALGÉRIENNE D'ÉTUDES, DE CONCEPTION, DE PROJET ET DE
 SOCIÉTÉ ALGÉRIENNE DES TRAVAUX DE RÉALISATION D'OUVRAGES D'ARTS
 ÉCOLE NATIONALE POLYTECHNIQUE
 DÉPARTEMENT DE GÉNIE CIVIL
 PROMOTION JUN 86
 PORTA POUTRES MULTIPLES EN BÉTON PRÉCONTRAINT
 PROJET DE FIN D'ÉTUDES
 COFFRAGE DE LA POUTRE
 FERRAILLAGE DE LA DALLE
 ÉTUDE PAR O BELHADI A DUELLOU
 DIRIGÉ PAR M. BHANI
 PLAN 1/4

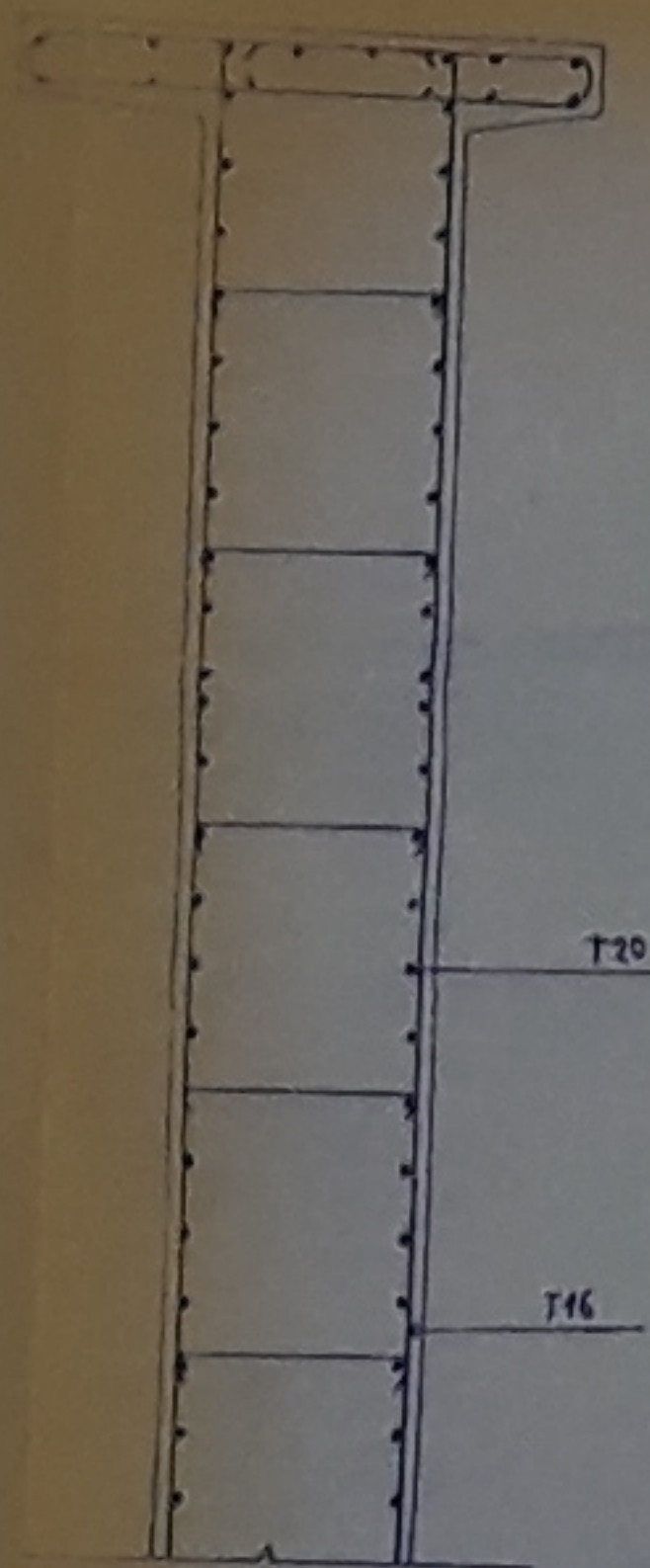
COUPE A A

1/2 COUPE SUR MUR GARDE GREVE Ech 1/25

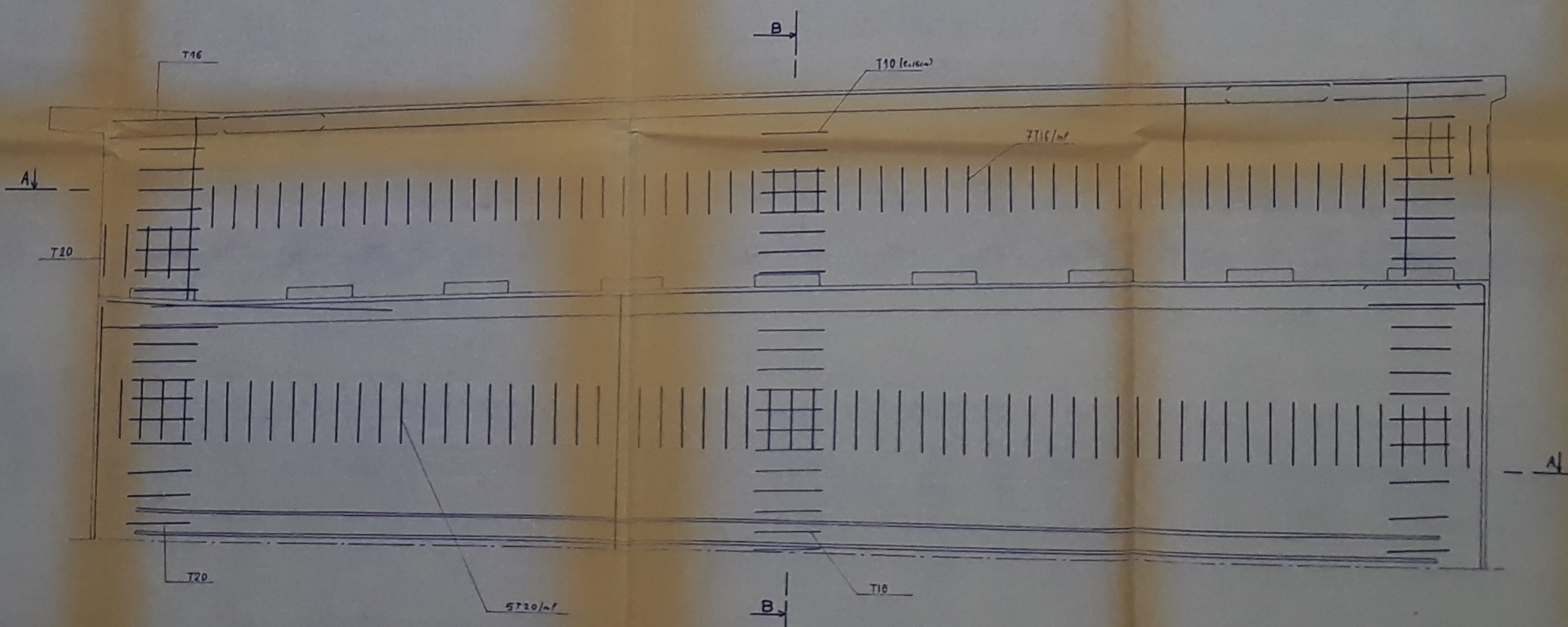
1/2 COUPE SUR MUR FRONTALE



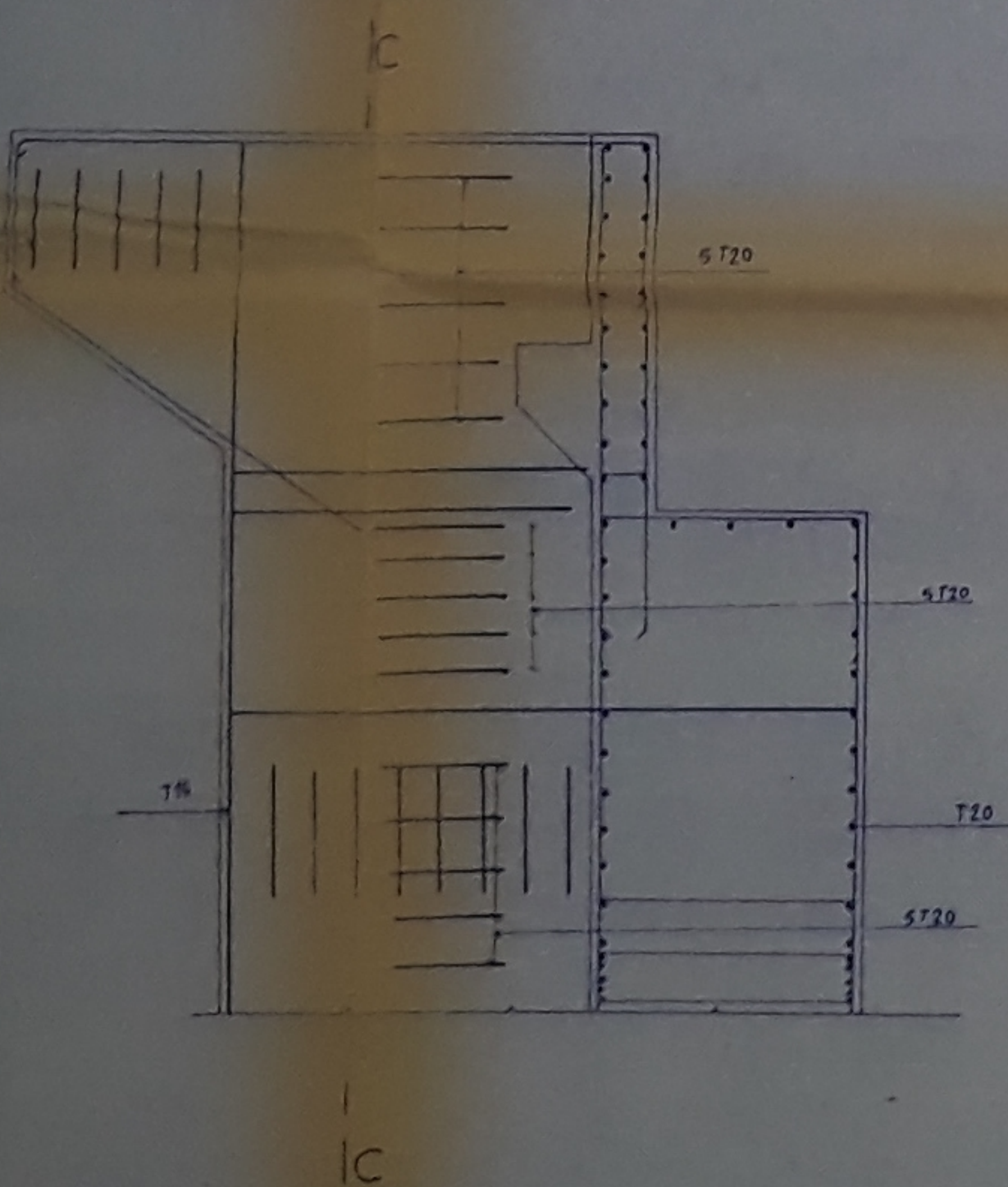
COUPE C.C Ech 1/25



ELEVATION DE LA CULEE Ech 1/25



COUPE B.B Ech 1/25

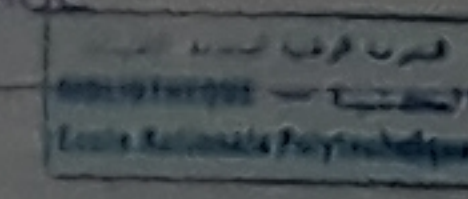


PB04486
-5-

REPUBLIQUE ALGERIENNE DEMOCRATIQUE ET POPULAIRE

SOCIETE ALGERIENNE D'ETUDES ET DE REALISATION D'OUVRAGES D'ARTS

ECOLE NATIONALE POLYTECHNIQUE



DEPARTEMENT DE GENIE CIVIL

PROMOTION JUIN 86

PONT A POUTRES MULTIPLES EN
BETON PRECONTRAINTE

PROJET DE FIN D'ETUDES

FERRAILLAGE DE LA CULEE

ETUDE PAR D BELHADJ
A DJELLOULI

DIRIGE PAR M BRANCI

Echelle 1/25 PLAN N°

